

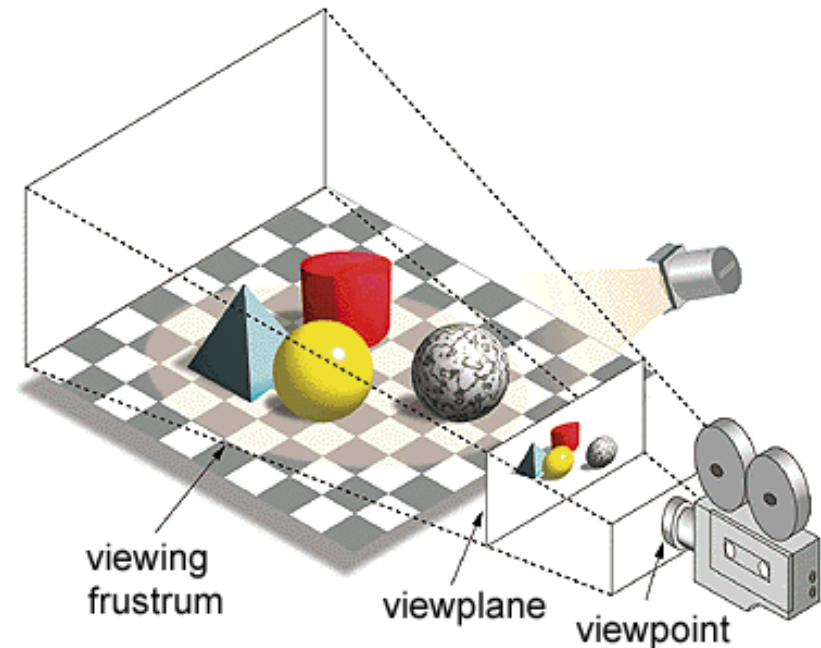


1. A SZÁMÍTÓGÉPES GRAFIKA TÁRGYA, ALKALMAZÁSAI

Számítógépes grafika vs. digitális képfeldolgozás

- Számítógépes grafika
 - Valós és képzeletbeli objektumok (pl. tárgyak képei, függvények) *szintézise* számítógépes modelljeikből (pl. pontok, élek, lapok)

From Computer Desktop Encyclopedia
Reprinted with permission.
© 1998 Intergraph Computer Systems



Grafika példák





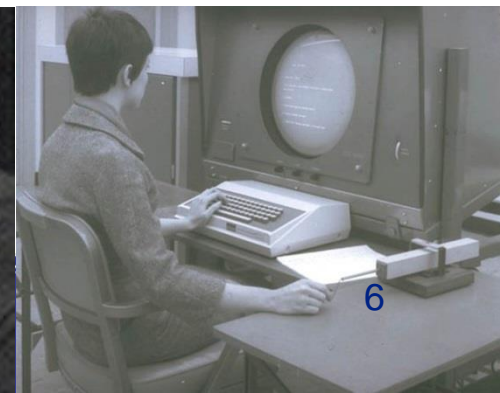
- Tapasztalat, hogy képek formájában az adatok gyorsabban és hatásosabban feldolgozhatók az ember számára
- Fejlődés:
fotózás → televízió → számítógépes grafika

Alkalmazási területek

- felhasználói programokhoz grafikus előtét
- üzlet, tudomány, technika (pl. dokumentum készítés)
- számítógéppel segített tervezés (CAD)
- szimuláció, animáció (pl. tudomány, szórakozás)
- művészet, kereskedelem
- folyamatirányítás
- térképészet

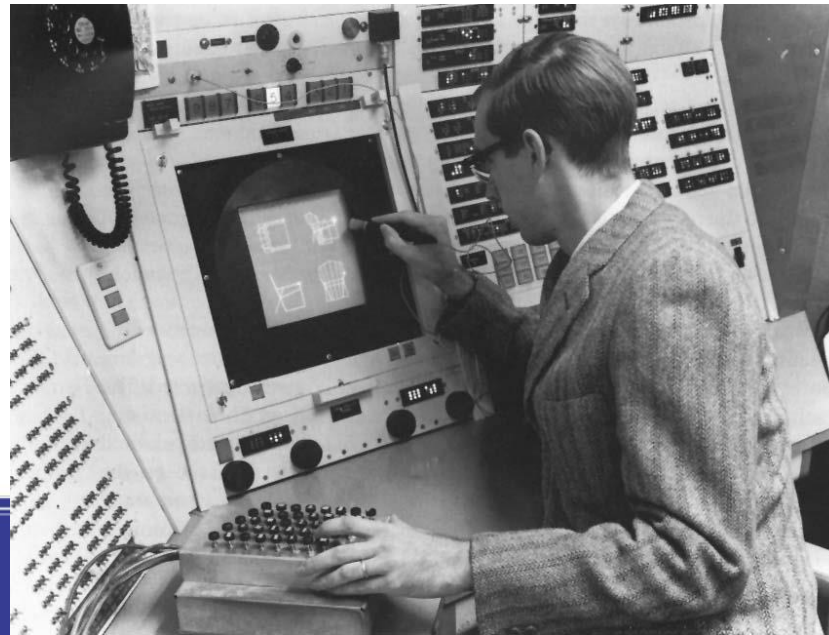
Történeti áttekintés

- Kezdetben:
 - képek megjelenítése teletype-on, nyomtatókon
- 1950:
 - MIT: számítógéppel vezérelt képernyő
 - SAGE légvédelmi rendszer (a programok képernyőről történő vezérlése fényceruzával)



Történeti áttekintés

- 1963:
 - A modern interaktív grafika megjelenése
 - I. Sutherland: Sketchpad
 - Adatstruktúrák szimbolikus struktúrák tárolására
 - Interaktív megjelenítés, választás, rajzolás



Történeti áttekintés

- 1964:
 - CAD – DAC-1 (IBM)
 - Autók tervezésére (General Motors)



Történeti áttekintés

- Lassú fejlődés, mert
 - Drága a hardver
 - Drága számítógépes erőforrások (nagy adatbázis, interaktív manipuláció, intenzív adatfeldolgozás)
 - Nehéz volt nagy programokat írni
 - A szoftver nem volt hordozható

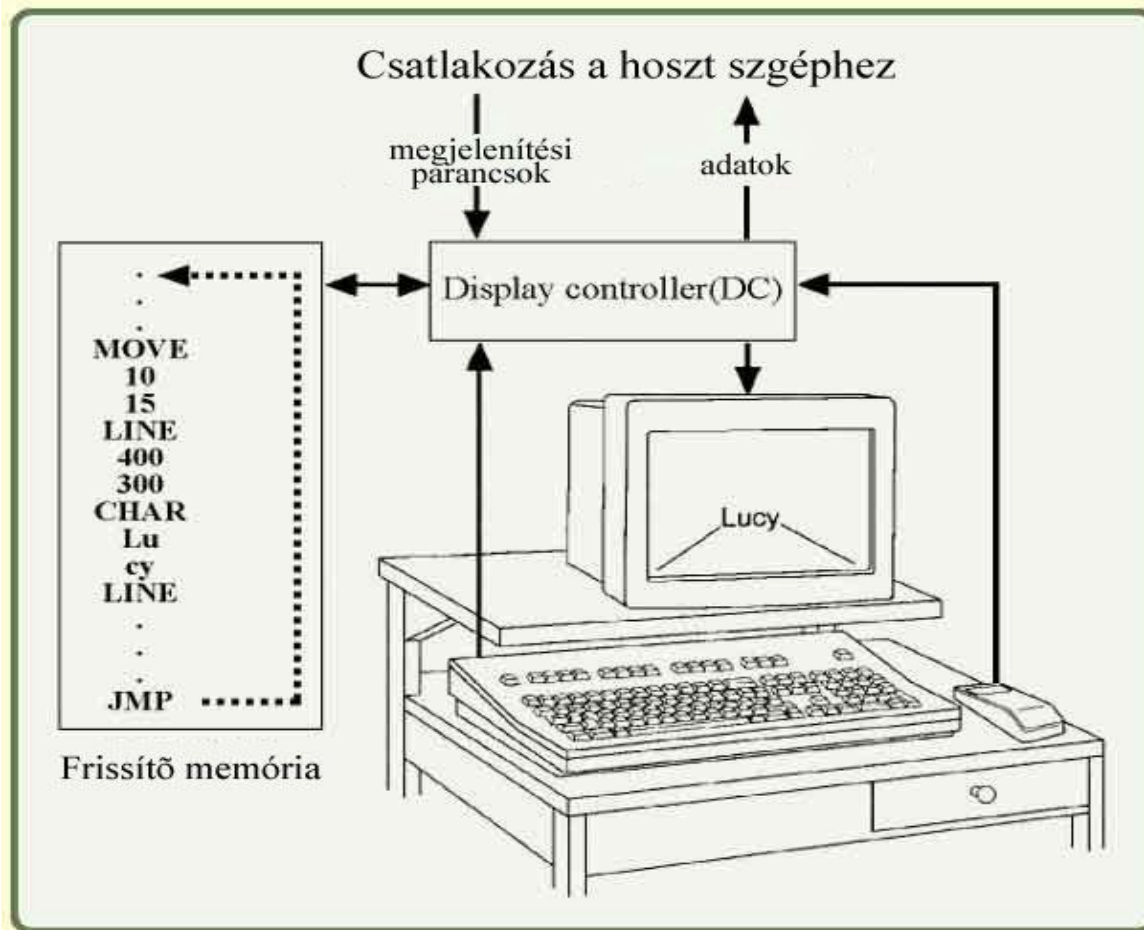


Történeti áttekintés

- 1960-as évek:
 - Jellemző output-eszköz az ún. vektor-képernyő (szakaszokat rajzol -tól -ig)
- Részei:
 - Képernyő processzor (DP) - mint I/O periféria kapcsolódik a központi egységhez
 - Képernyő tároló memória - a megjelenítéshez szükséges program és adat tárolására
 - Képernyő - katódsugárcső



Történeti áttekintés



Történeti áttekintés



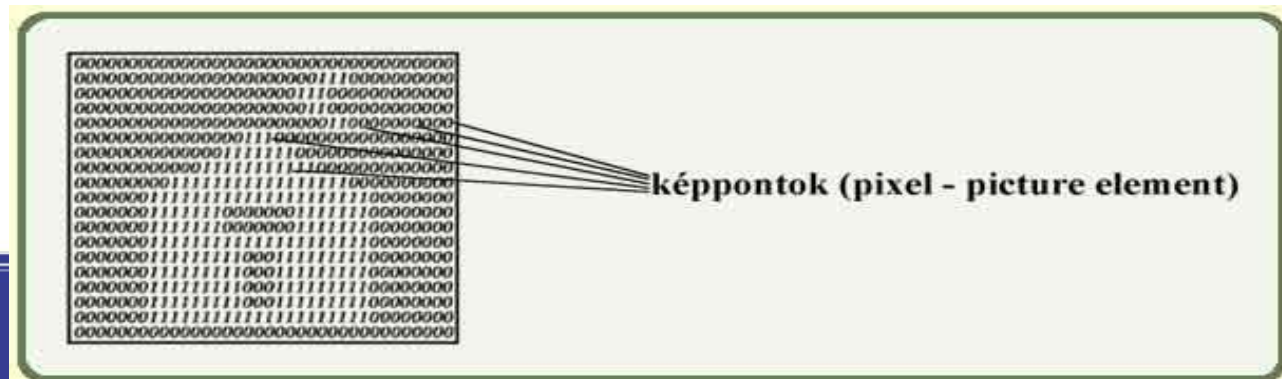
- 30 Hz-es frissítés (foszforeszkáló ernyő - nem villog annyira)
- 1960-as évek vége:
 - DVST (direct-view storage tube) - a látványt közvetlenül tároló cső olcsóbb

képernyő ↔ kisszámítógép
felszabadul a központi gép



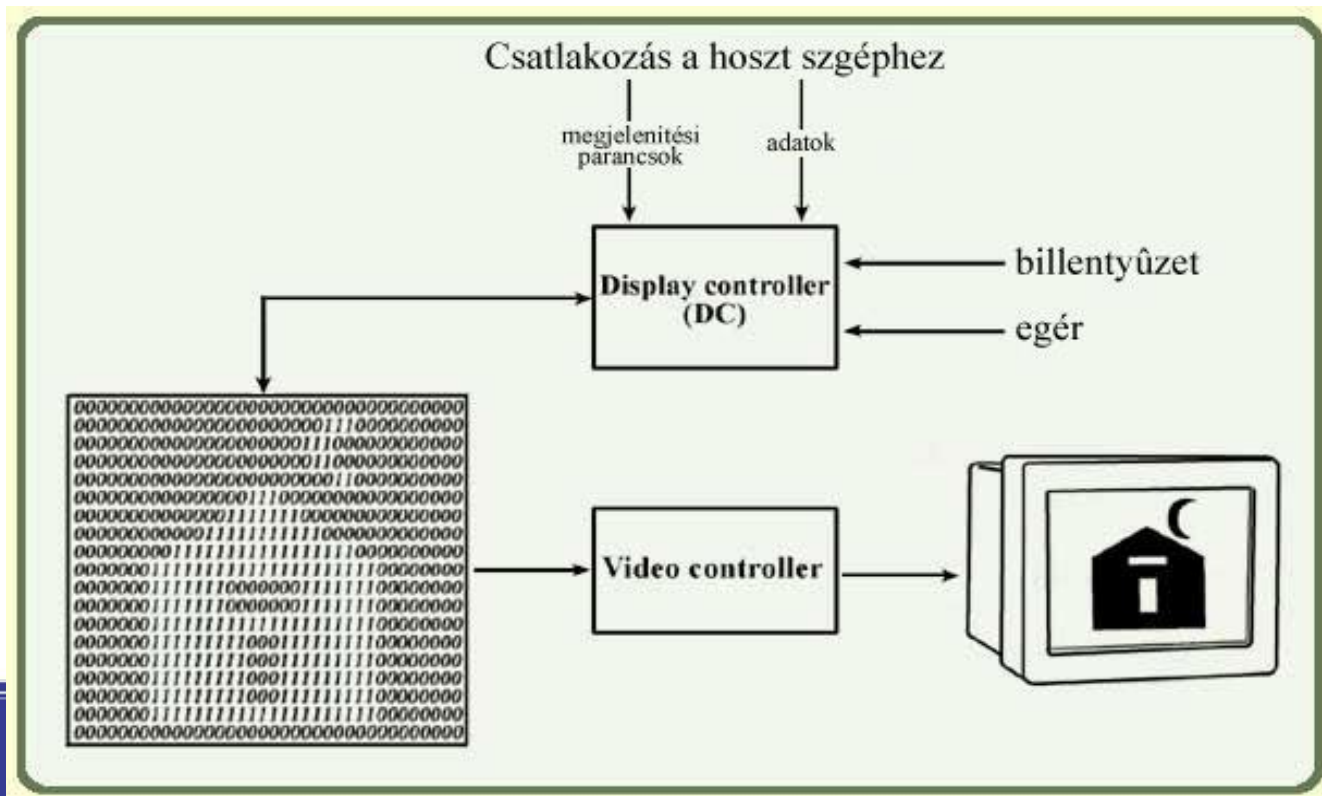
Történeti áttekintés

- 1968:
 - A hardver képes a skálát változtatni, a képet mozgatni, vetületeket előállítani valós időben
- 1970-es évek:
 - Jellemző output eszköz az ún. raszter-képernyő (TV - technika), bit-térképes grafika
 - Bit-térkép (bitmap):
képek reprezentálása bináris mátrixszal



Történeti áttekintés

- A raszteres képernyők a grafikus primitíveket (pixel - képpont) az ún. frissítő tárolóban tartják

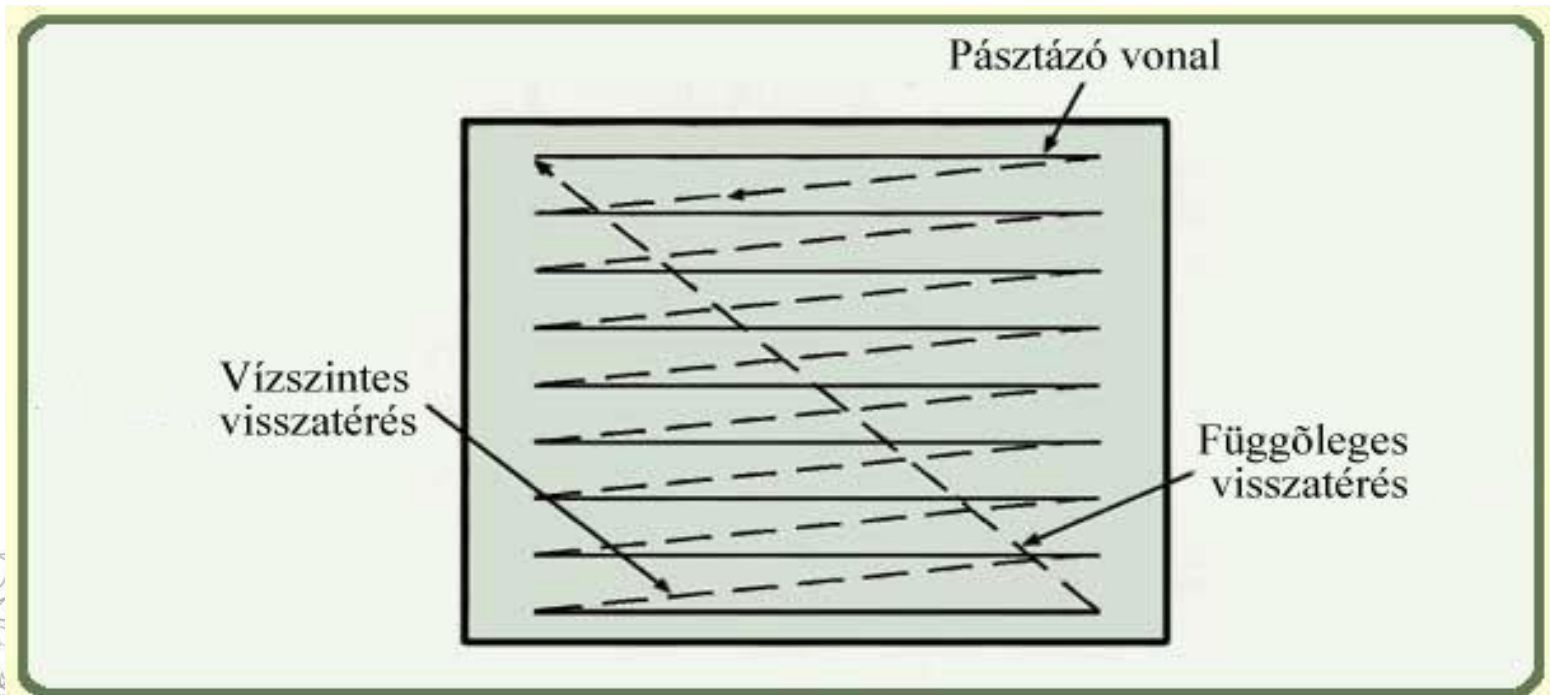


Történeti áttekintés

- Előnyei:
 - Olcsó logikájú processzor (soronként olvas)
 - A területek színekkel kitölthetők
 - Az ábra bonyolultsága nem befolyásolja a megjelenítés sebességét
- Hátrányai:
 - A grafikus elemeket (pl. vonal, poligon) át kell konvertálni (RIP - raster image processor)
 - A geometriai transzformációk számításigényesek



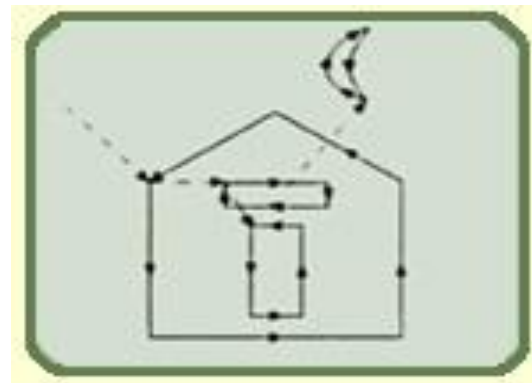
Történeti áttekintés



Megjelenítés raszteres képernyőn



Ideális vonalas rajz



Vektoros kép



Raszteres kép
vonallal



Raszteres kép
területkitöltéssel



Történeti áttekintés

- 1980-as évekig:
 - A számítógépes grafika szűk, speciális terület a drága hardver miatt
- Újdonságok:
 - Személyi számítógépek (Apple Macintosh, IBM PC)
 - Raszteres képernyők
 - Ablak technika (window manager)
- Eredmény:
 - Sok alkalmazás
 - Sok I/O eszköz (pl. egér, tábla, ...)
 - Kevesebbet használjuk a billentyűzetet (menük, ikonok, ...)



„Hordozható” szoftverek, szabványok

- Eszköz-függő → eszköz független
- Így lehet "hordozható" a felhasználói szoftver
- 1977:
 - 3D Core Graphics System
- 1985:
 - GKS (Graphical Kernel System) 2D



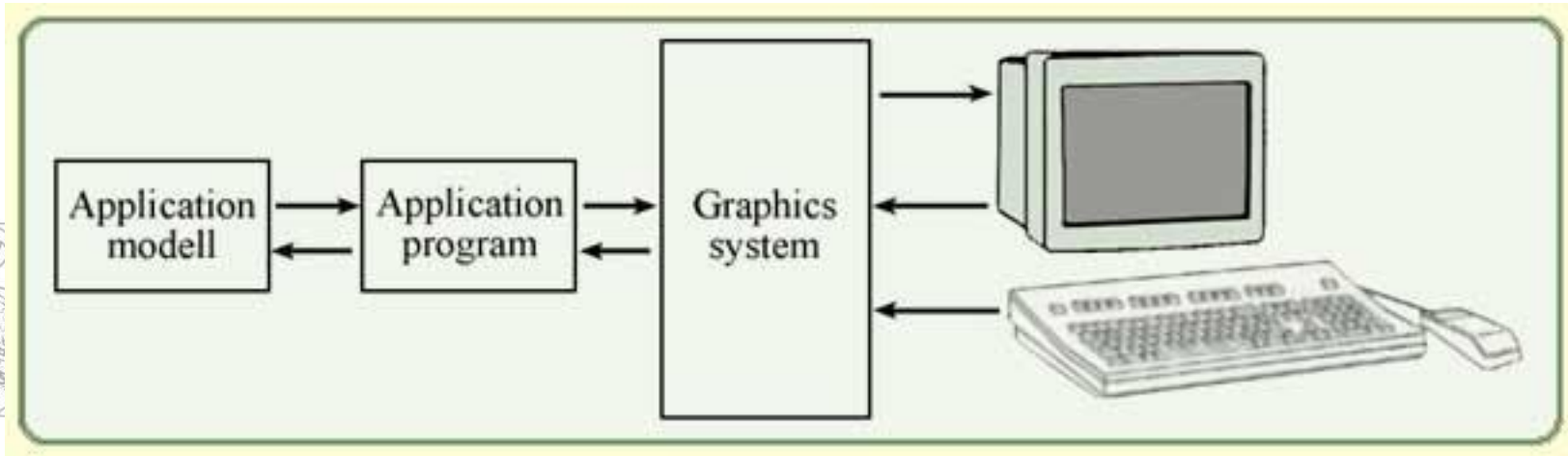
„Hordozható” szoftverek, szabványok

- 1988:
 - GKS - 3D
 - PHIGS (Programmer's Hierarchical Interactive Graphics System)
 - Logikailag kapcsolódó primitívek csoportosítása szegmensekbe
 - 3D primitívek egymásba ágyazott hierarchiája
 - Geometriai transzformációk
 - Képernyő automatikus frissítése, ha az adatbázis változik
- 1992:
 - OpenGL (SGI)
- 2011:
 - WebGL (Khronos Group)



Interaktív grafikai rendszerek

- Interaktivitás:
 - A felhasználó vezérli az objektumok kiválasztását, megjelenítését billentyűzetről, vagy egérrel...



Interaktív grafikai rendszerek

- Felhasználói modell (adatbázis):
 - Adatok, objektumok, kapcsolatok (adattömb, hálózati adatok listája, relációs adatbázis)
 - Primitívek (pontok, vonalak, felületek)
 - Attribútumok (vonal stílus, szín, textúra)



Az interaktivitás kezelése

- Tipikus az esemény-vezérelt programhurok:

```
init() ;  
render() ;  
while(true) {  
    processInput() ;  
    update() ;  
    render() ;  
}
```



A számítógépes grafika osztályozása

- Dimenzió szerint
 - 2-D
 - 3-D
- Képfajta szerint
 - vonalas
 - szürke
 - színes (árnyékolt)
- Kép szerepe szerint
 - Végtermék
 - Közbülső termék
- Interaktivitás szerint
 - Off-line rajzolás
 - Interaktív rajzolás (változó paraméterek)
 - Objektum előre meghatározása és körüljárása
 - Interaktív tervezés





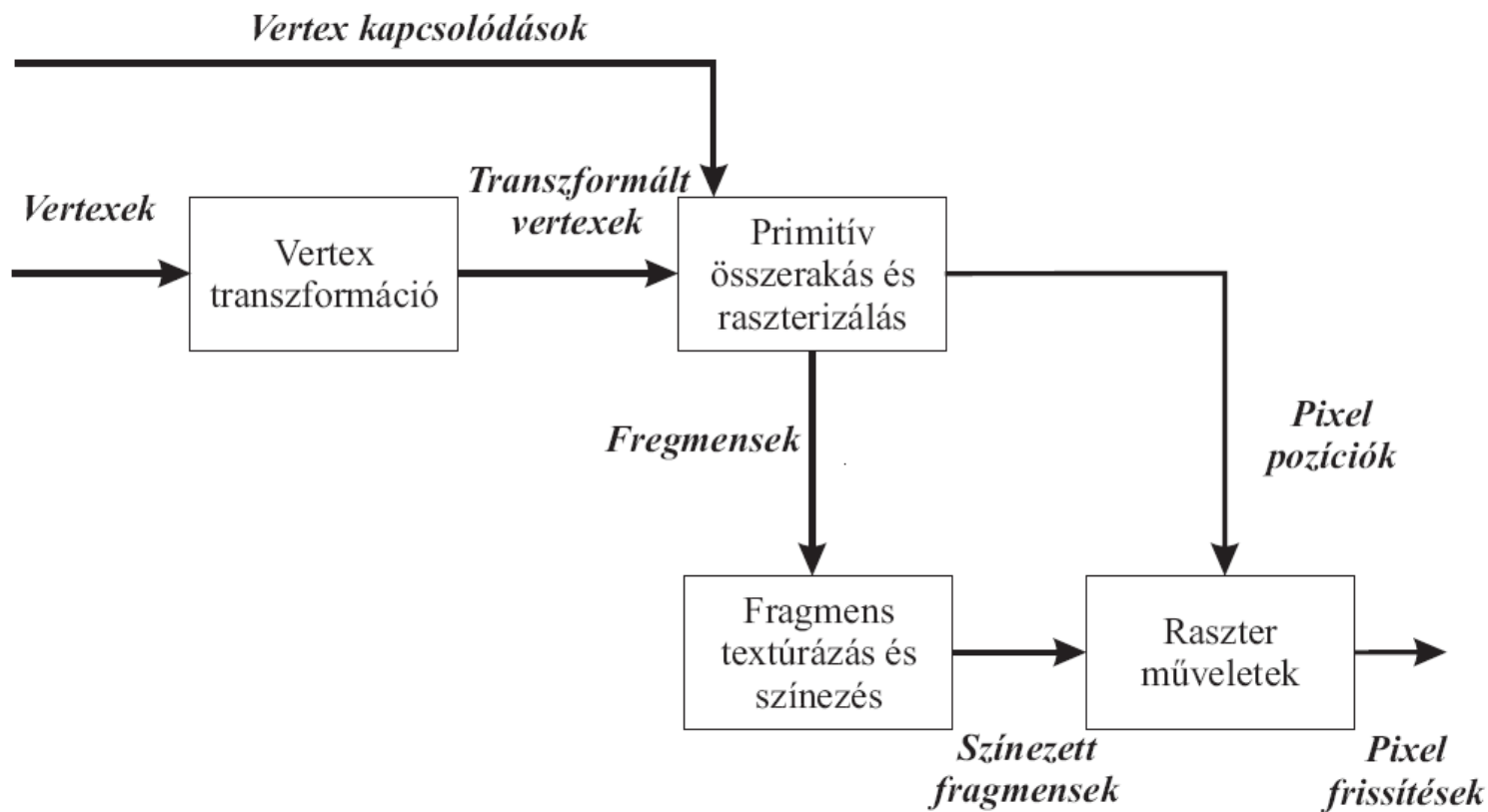
2. A 3D MODELLEZÉS ALAPJAI, GRAFIKUS CSŐVEZETÉK

A 3D számítógépes grafikai modellezés „szereplői”

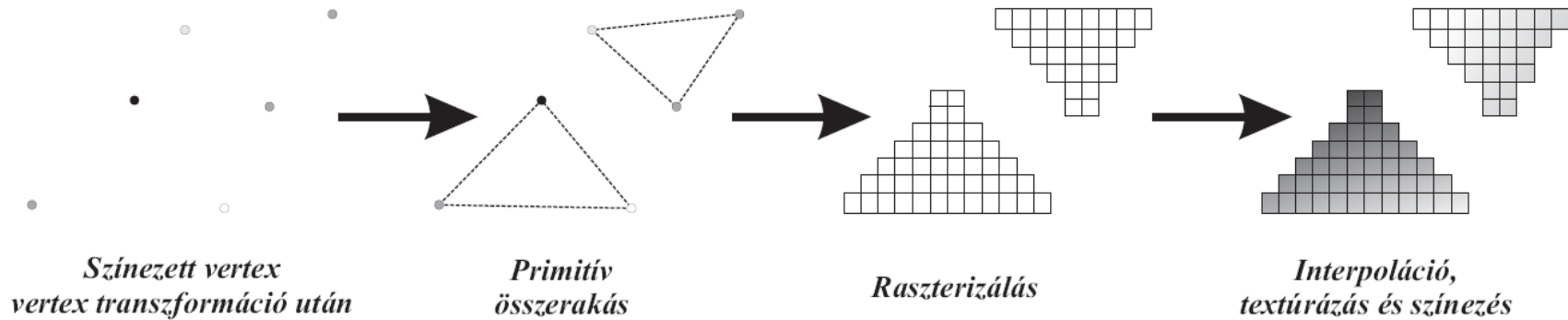
- Tárgy(ak) – (geometria, anyag)
- Fényforrás(ok) – (megvilágítás)
- Kamera – (vetítés)
- Képernyő – (raszterizálás)
- Felhasználó – (interakció)



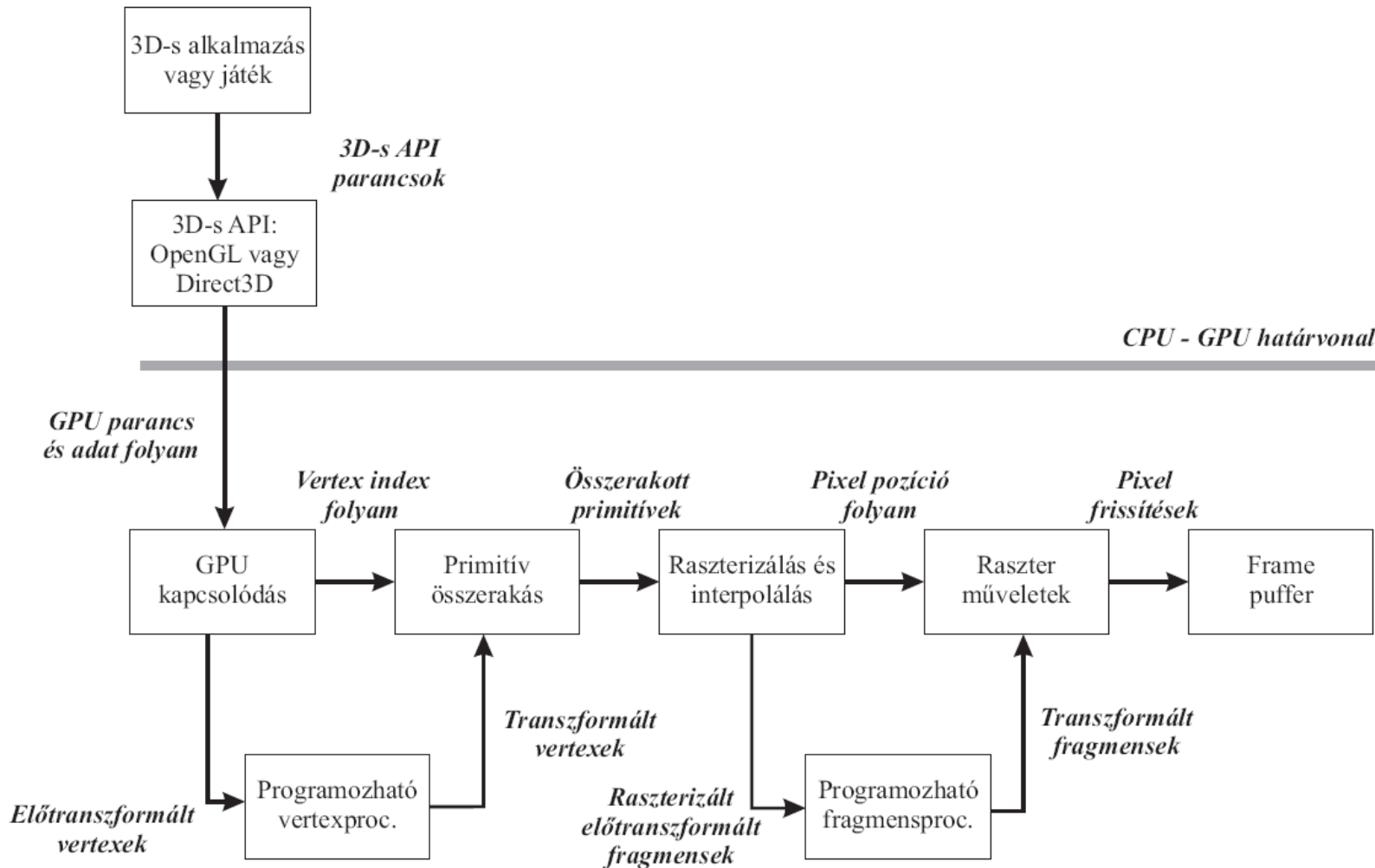
A grafikus csővezeték



A grafikus csővezeték



A programozható grafikus csővezeték



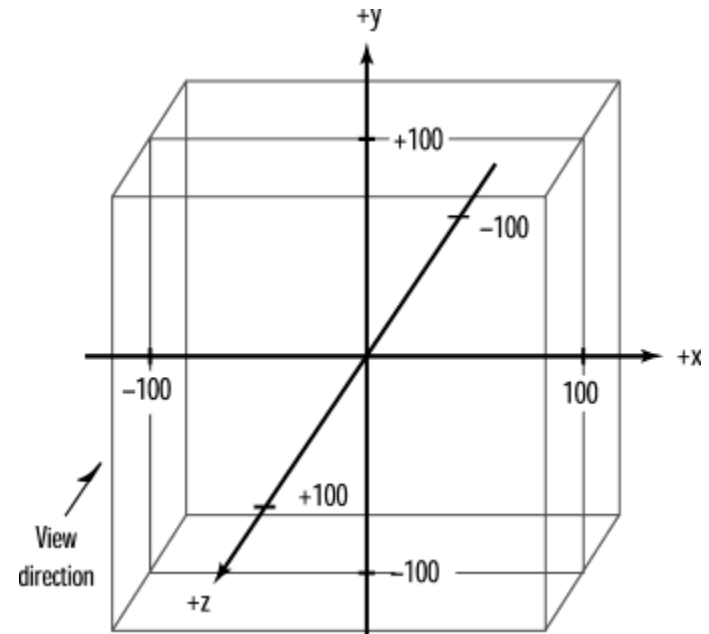


GRAFIKAI PRIMITÍVEK

(OpenGL illusztrációkkal)

Pontok, vonalak, poligonok

- Az objektumok és a látvány egyszerű, kicsi alakzatokból épülnek fel
- Primitívek
 - 1 vagy 2 dimenziós objektumok
- 3D-s festővászon



Vertex

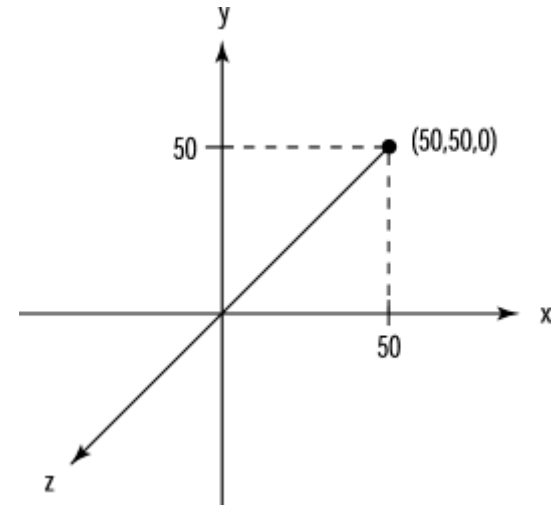
- glVertex()
 - 2, 3 vagy 4 paraméter
 - Különböző típusok

glVertex3f(50.0f, 50.0f, 0.0f)

glVertex2f(50.0f, 50.0f)

glVertex4f(50.0f, 50.0f, 0.0f, 1.0f)

nagyítás 

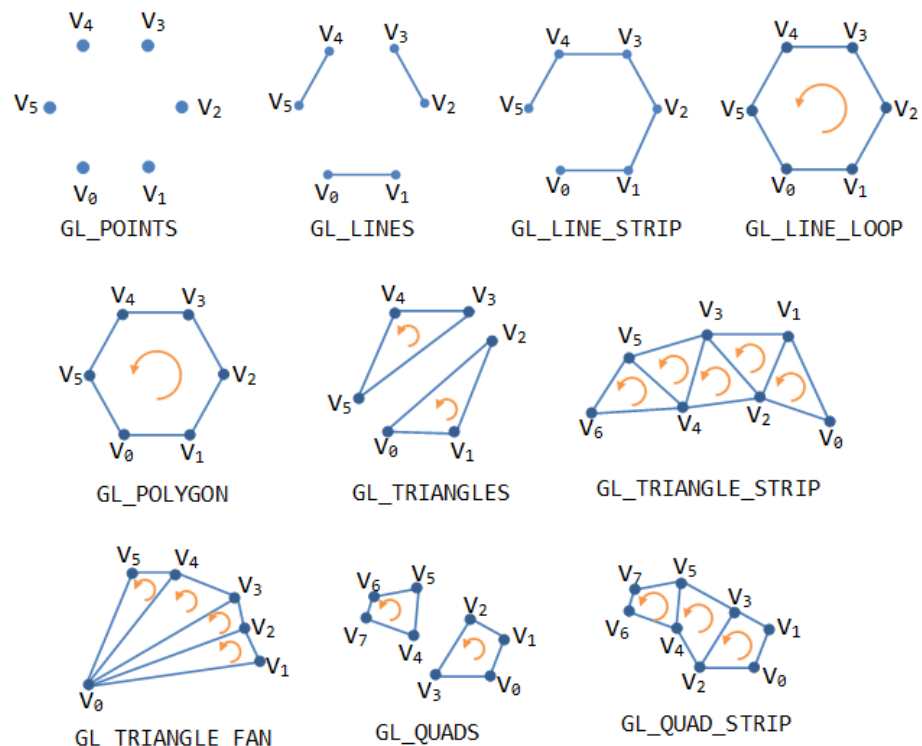


Grafikai primitívek

- Milyen primitívet kell létrehozni

– Pl.: az OpenGL-ben:

- GL_POINTS
- GL_LINES
- GL_LINE_STRIP
- GL_LINE_LOOP
- GL_TRIANGLES
- GL_TRIANGLE_STRIP
- GL_TRIANGLE_FAN
- GL_QUADS
- GL_QUAD_STRIP
- GL_POLYGON

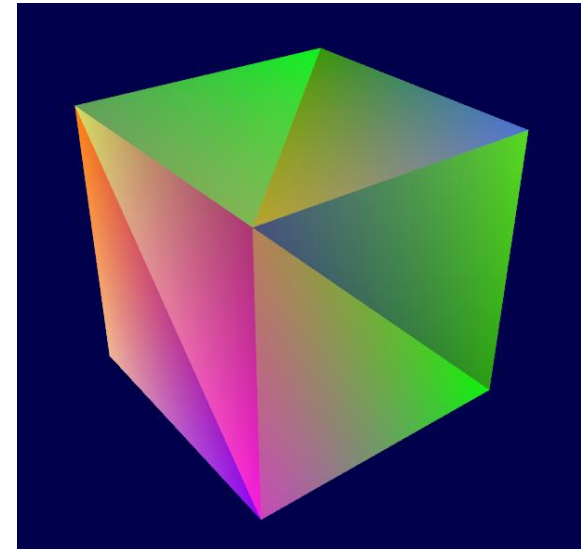


OpenGL Primitives



Grafikai primitívek

- A primitívek csúcspontjaihoz tulajdonságokat rendelünk.
 - glVertex
 - glColor
 - glIndex
 - glNormal
 - glTexCoord
 - glPointSize
 - Stb.
- A poligonoknak is vannak tulajdonságai:
 - glMaterial



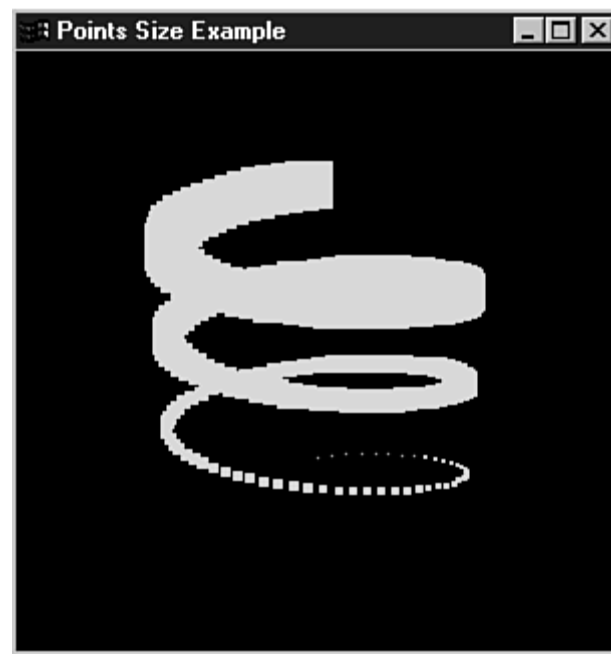


Pont méret

- `void glPointSize(GLfloat size)`

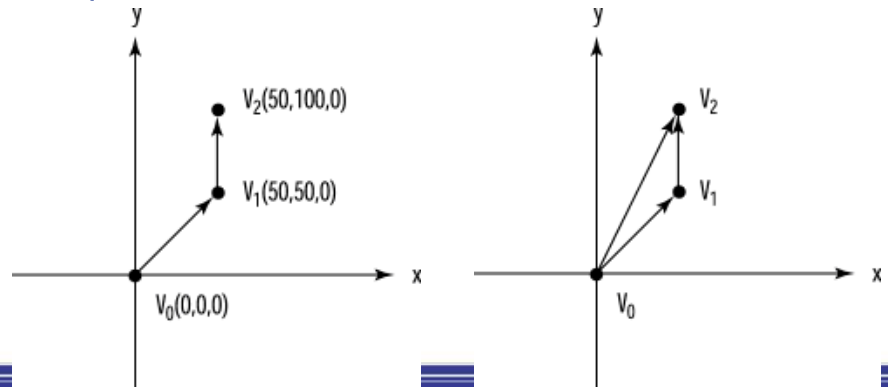
Pl.:

```
glPointSize(4);
```



Vonal rajzolás

- `glBegin(GL_LINES)`
`glVertex3f(0.0f, 0.0f, 0.0f);`
`glVertex3f(50.0f, 50.0f, 50.0f);`
`glEnd();`
 - Páratlan számú vertex esetén az utolsót nem veszi figyelembe
- `glBegin(GL_LINE_STRIP) /* GL_LINE_LOOP */`
`glVertex3f(0.0f, 0.0f, 0.0f); /*v1*/`
`glVertex3f(50.0f, 50.0f, 50.0f); /*v2*/`
`glVertex3f(50.0f, 100.0f, 0.0f); /*v3*/`
`glEnd();`



Vonal vastagság

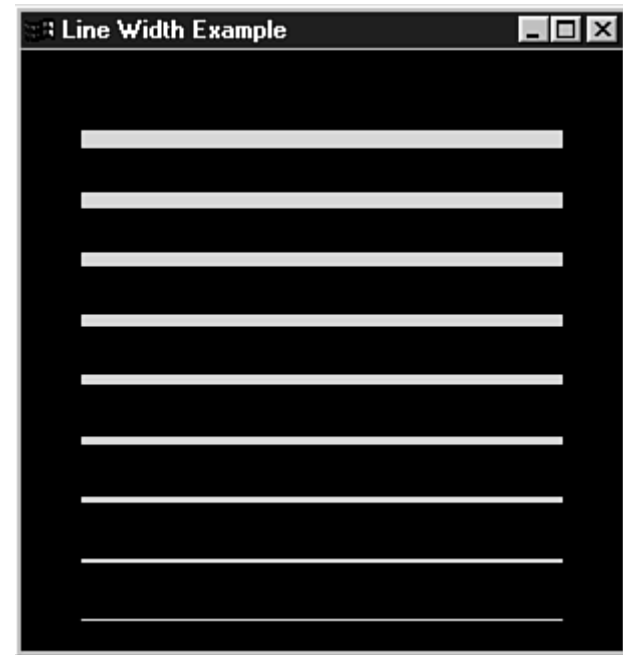
- `glLineWidth(GLfloat width)`

`GLfloat sizes[2];`

`GLfloat step;`

`glGetFloatv(GL_LINE_WIDTH
_RANGE, sizes);`

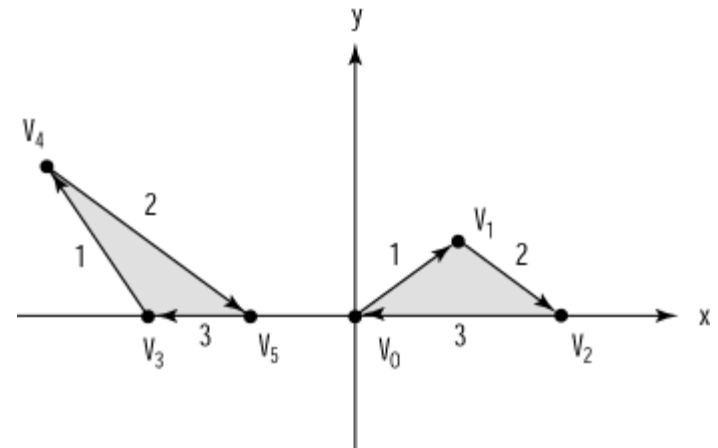
`glGetFloatv(GL_LINE_WIDTH_G
RANULARITY,
&step);`



Háromszög

- `glBegin(GL_TRIANGLES);`
`glVertex2f(0.0f, 0.0f); /*V0*/`
`glVertex2f(25.0f, 25.0f); /*V1*/`
`glVertex2f(50.0f, 0.0f); /*V2*/`

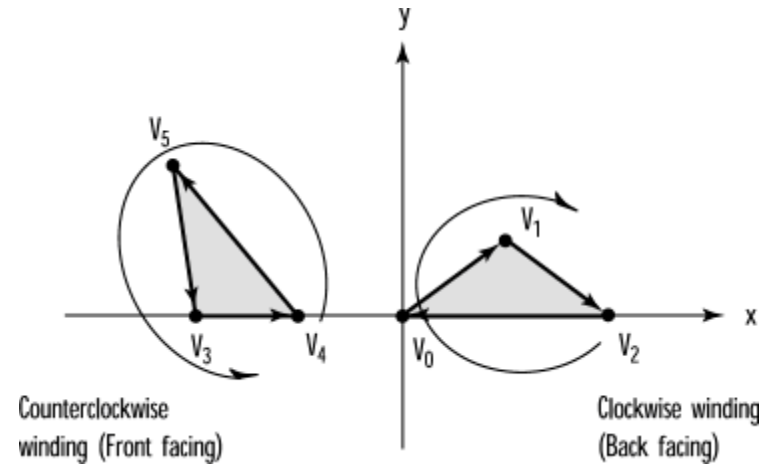
```
glVertex2f(-50.0f, 0.0f); /*V3*/
glVertex2f(-75.0f, 50.0f); /*V4*/
glVertex2f(-25.0f, 0.0f); /*V5*/
glEnd();
```



- Mindegyik poligon előállítható háromszögekből
- A videokártyák optimalizálva vannak a háromszögek kirajzolására

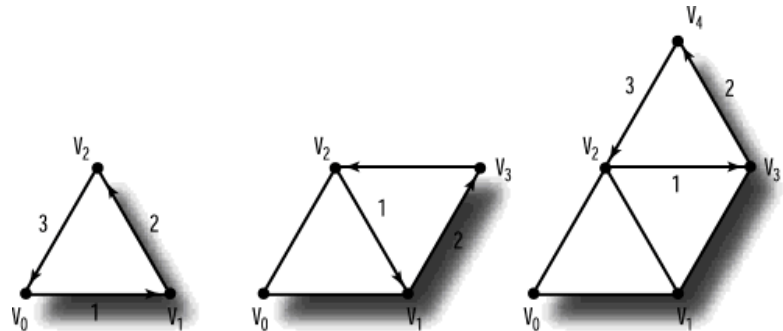
„Írányítottság”

- OpenGL-ben alapértelmezésben órajárással ellentétes irányítottságú előnézet
- Jobb-sodrású
- Fontos pl. a színezésnél, hátsó terület elrejtésénél
- `glFrontFace(GL_CW)`
`GL_CW`
`GL_CCW`



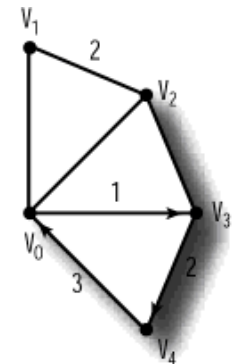
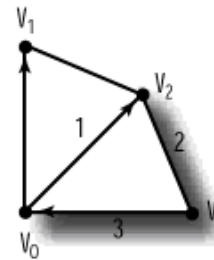
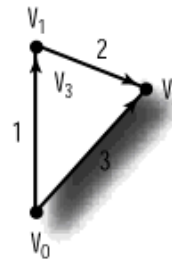
Háromszögsáv

- `GL_TRIANGLE_STRIP`
 - Megőrzi az irányítottságot mindegyik háromszögre
- Előnyök
 - Az első három pont megadása után egy új háromszöghöz csak egy pontot kell megadni
 - Kevesebb vertex, gyorsabb végrehajtás a transzformációknál



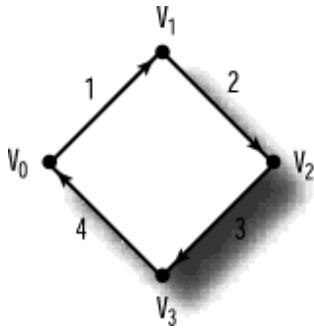
Háromszög-legyező

- TRIANGLE_FAN
 - Egy középpontnál kapcsolódó háromszögek csoportja
- Az első vertex a középpont
- Órajárással megegyező

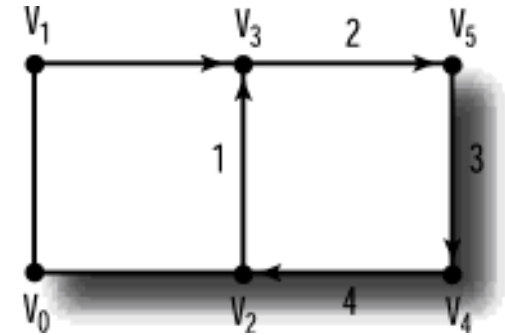
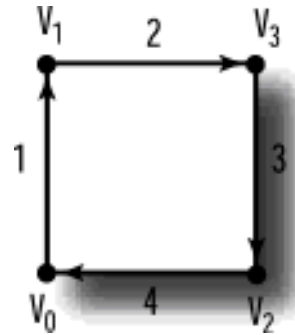


Egyéb primitívek

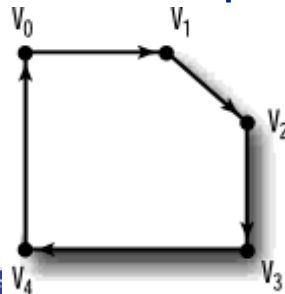
- **GL_QUADS**
 - Négy oldalú poligon



- **GL_QUAD_STRIP**
 - Négy oldalú csík



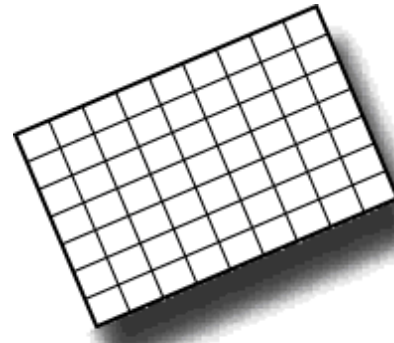
- **GL_POLYGON**
 - Általános poligon



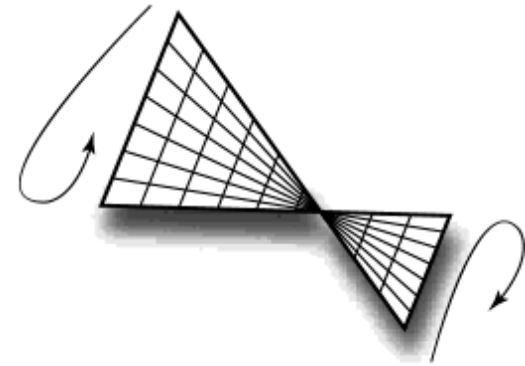
- `glRectf(GLfloat x1, GLfloat y1, GLfloat x2, GLfloat y2)`
 - Téglalap

Poligonokra vonatkozó szabályok

- Minden pont egy síkon van
- A poligonok élei nem metszhetik egymást
- Konvex-ek



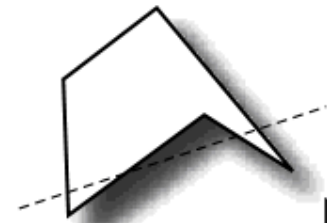
Planar polygon



Nonplanar polygon

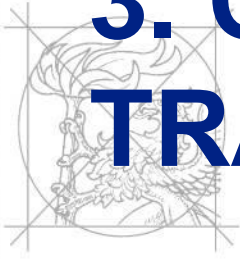


Valid polygons



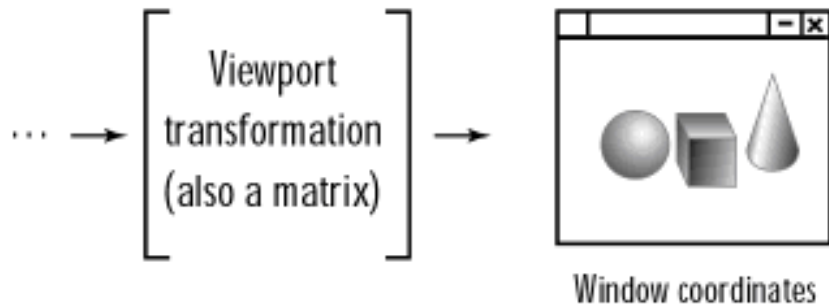
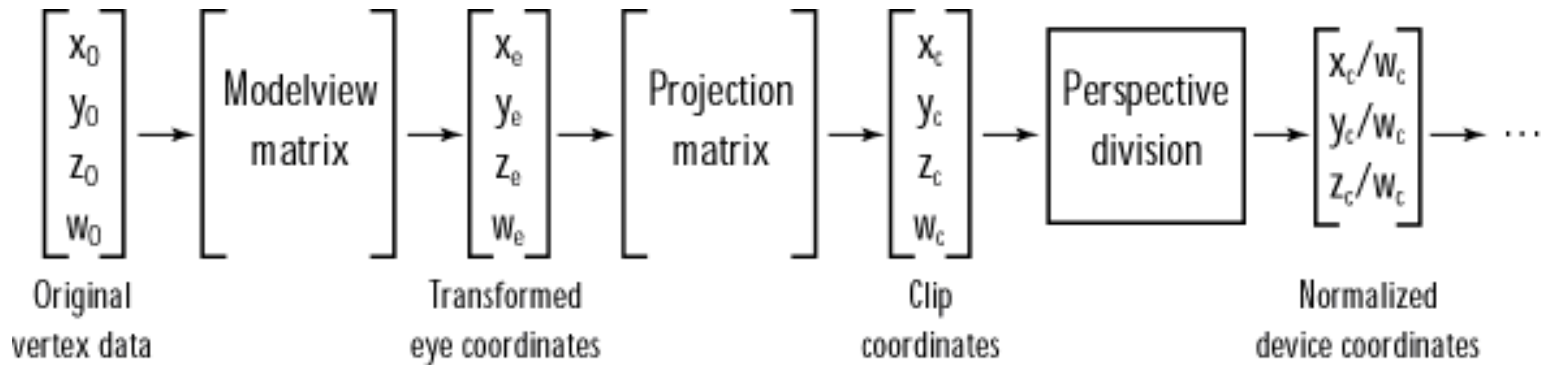
Invalid polygons





3. GEOMETRIAI TRANSZFORMÁCIÓK

Transzformációs sor

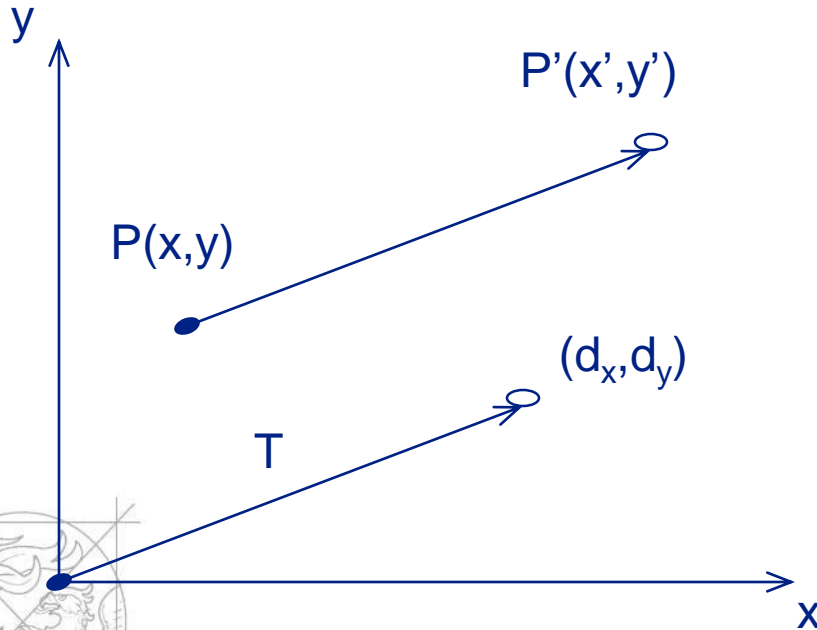




- Számítógépes grafikában gyakran használt 2D és 3D transzformációk
 - eltolás
 - nagyítás, kicsinyítés (skálázás)
 - forgatás

Pont 2D eltolása

- A hosszak és a szögek változatlanok



$$x' = x + d_x$$

$$y' = y + d_y$$

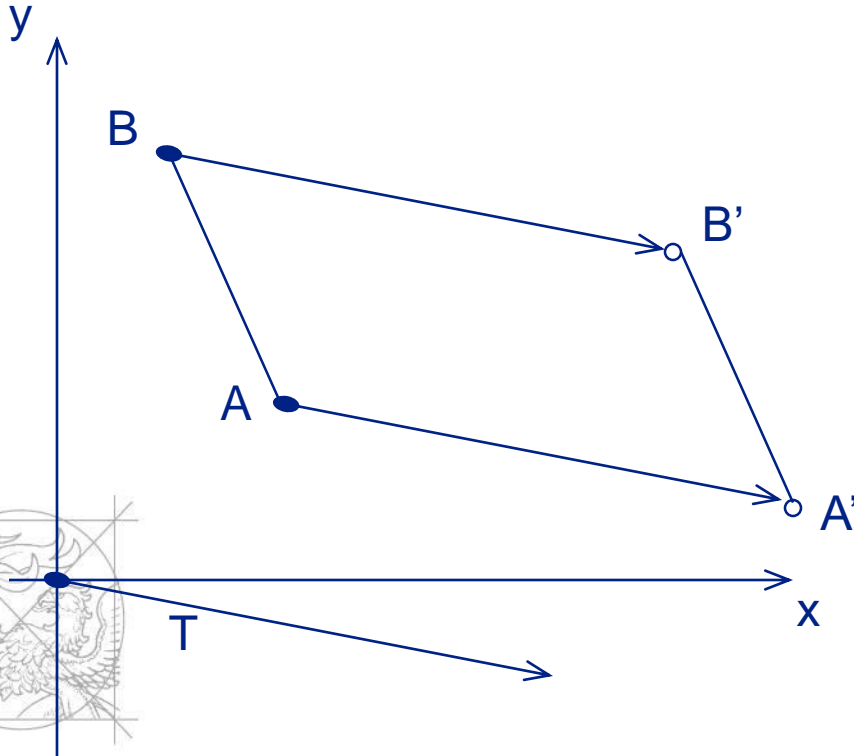
(oszlop-)vektorokkal:

$$P = \begin{pmatrix} x \\ y \end{pmatrix} \quad P' = \begin{pmatrix} x' \\ y' \end{pmatrix} \quad T = \begin{pmatrix} dx \\ dy \end{pmatrix}$$

$$P' = P + T$$

Szakasz 2D eltolása

- Elegendő az új végpontokat számolni



$$A' = A + T$$
$$B' = B + T$$

2D nagyítás/kicsinyítés

- A szögek változatlanok
- Szokták a kettőt együtt skálázásnak említeni
- Origóból történő nagyítás

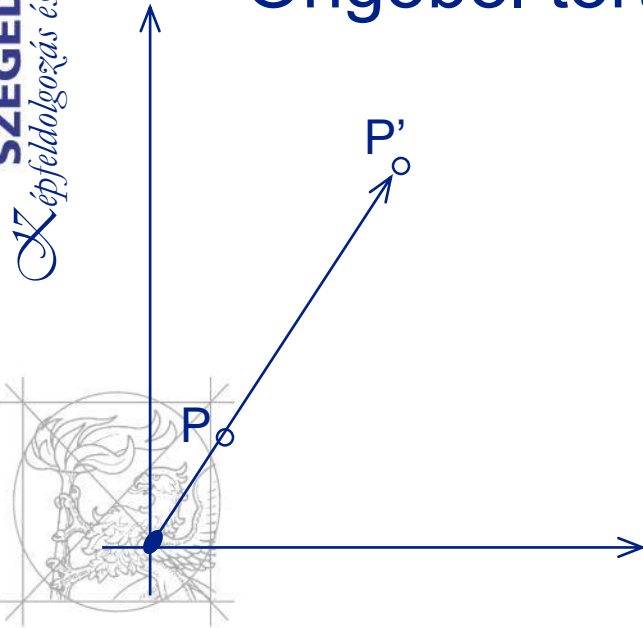
$$x' = x \cdot s_x$$

$$y' = y \cdot s_y$$

(oszlop-)vektorokkal:

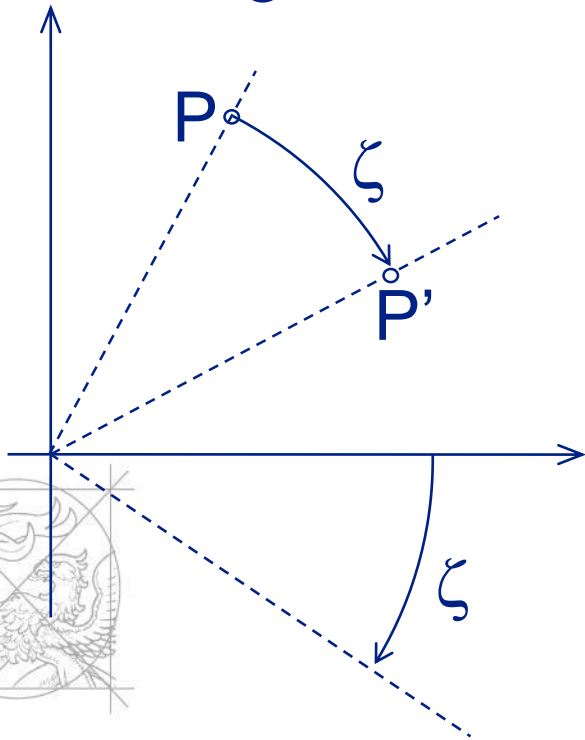
$$P = \begin{pmatrix} x \\ y \end{pmatrix} \quad P' = \begin{pmatrix} x' \\ y' \end{pmatrix} \quad S = \begin{pmatrix} s_x & 0 \\ 0 & s_y \end{pmatrix}$$

$$P' = S \cdot P$$



2D forgatás

- A hosszak és a szögek változatlanok
- Origó körüli forgatás



$$\begin{aligned}
 x' &= x \cdot \cos \zeta - y \cdot \sin \zeta \\
 y' &= x \cdot \sin \zeta + y \cdot \cos \zeta
 \end{aligned}$$

$$P = \begin{pmatrix} x \\ y \end{pmatrix} \quad P' = \begin{pmatrix} x' \\ y' \end{pmatrix} \quad R = \begin{pmatrix} \cos \zeta & -\sin \zeta \\ \sin \zeta & \cos \zeta \end{pmatrix}$$

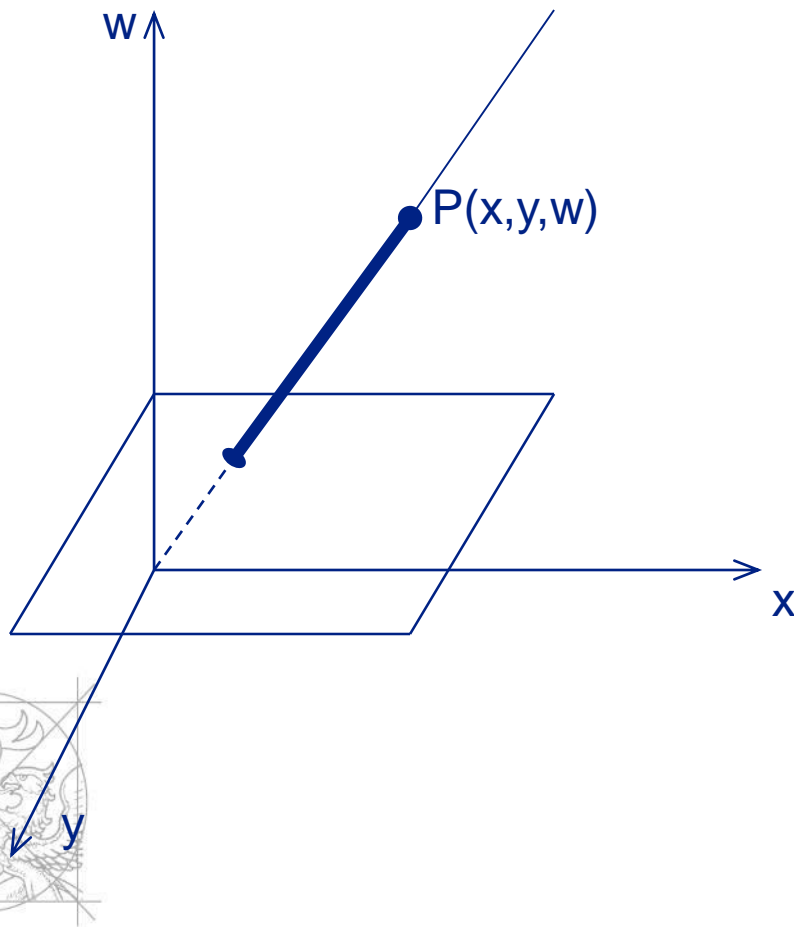
$$P' = R \cdot P$$

Homogén koordináták

- (x, y) jelölése homogén koordinátákkal: (x, y, w)
- Egyenlőség: $(x, y, w) = (x', y', w')$, ha van olyan α , hogy $x' = \alpha \cdot x$, $y' = \alpha \cdot y$, $w' = \alpha \cdot w$
- pl: $(2, 3, 6) = (4, 6, 12)$
- Egy ponthoz végtelen sok (x, y, w) tartozik
- Ha $w \neq 0$, akkor (x, y) szokásos jelölése $(x/w, y/w, 1)$
- Ha $w = 0$, akkor (x, y, w) végtelen távoli pont
- $(0, 0, 0)$ nem megengedett!



Kapcsolat 2D és 3D közt



- $(t \cdot x, t \cdot y, t \cdot w)$
- egyenes a 3D térben
- végtelen távoli pontok nincsenek a síkon

$$\left(\frac{x}{w}, \frac{y}{w}, 1 \right)$$

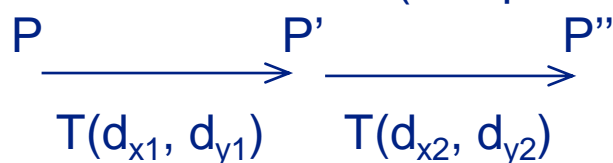
P vetülete a $w=1$ síkon

2D eltolás

$$P' = T(d_x, d_y) P$$

$$\begin{pmatrix} x' \\ y' \\ 1 \end{pmatrix} = \begin{pmatrix} 1 & 0 & d_x \\ 0 & 1 & d_y \\ 0 & 0 & 1 \end{pmatrix} \begin{pmatrix} x \\ y \\ 1 \end{pmatrix}$$

Ismételt eltolások (kompozíció):



$$P' = T(d_{x1}, d_{y1}) P,$$

$$P'' = T(d_{x2}, d_{y2}) P' = T(d_{x2}, d_{y2}) (T(d_{x1}, d_{y1}) P)$$

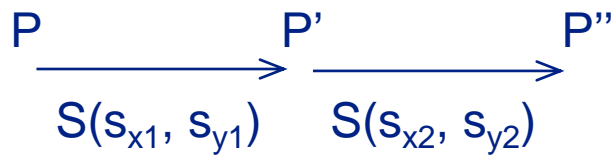
$$T(d_{x1} + d_{x2}, d_{y1} + d_{y2}) = \begin{pmatrix} 1 & 0 & d_{x1} \\ 0 & 1 & d_{y1} \\ 0 & 0 & 1 \end{pmatrix} \begin{pmatrix} 1 & 0 & d_{x2} \\ 0 & 1 & d_{y2} \\ 0 & 0 & 1 \end{pmatrix} = \begin{pmatrix} 1 & 0 & d_{x1} + d_{x2} \\ 0 & 1 & d_{y1} + d_{y2} \\ 0 & 0 & 1 \end{pmatrix}$$

2D skálázás

$$P' = S(s_x, s_y) P$$

$$\begin{pmatrix} x' \\ y' \\ 1 \end{pmatrix} = \begin{pmatrix} s_x & 0 & 0 \\ 0 & s_y & 0 \\ 0 & 0 & 1 \end{pmatrix} \begin{pmatrix} x \\ y \\ 1 \end{pmatrix}$$

Ismételt skálázások (kompozíció):



$$P' = S(s_{x1}, s_{y1}) P ,$$

$$P'' = S(s_{x2}, s_{y2}) P' = S(s_{x2}, s_{y2}) (S(s_{x1}, s_{y1}) P)$$



$$S(s_{x1} s_{x2}, s_{y1} s_{y2}) = \begin{pmatrix} s_{x2} & 0 & 0 \\ 0 & s_{y2} & 0 \\ 0 & 0 & 1 \end{pmatrix} \begin{pmatrix} s_{x1} & 0 & 0 \\ 0 & s_{y1} & 0 \\ 0 & 0 & 1 \end{pmatrix} = \begin{pmatrix} s_{x2} s_{x1} & 0 & 0 \\ 0 & s_{y2} s_{y1} & 0 \\ 0 & 0 & 1 \end{pmatrix}$$

2D forgatás

$$\begin{pmatrix} x' \\ y' \\ 1 \end{pmatrix} = \begin{pmatrix} \cos \zeta & -\sin \zeta & 0 \\ \sin \zeta & \cos \zeta & 0 \\ 0 & 0 & 1 \end{pmatrix} \begin{pmatrix} x \\ y \\ 1 \end{pmatrix}$$

$$P' = R(\zeta) P$$

($R(\zeta)$ ortogonális)

Ismételt forgatások:

$$P' = R(\zeta_1) P,$$

$$P'' = R(\zeta_2) P' = R(\zeta_2) (R(\zeta_1) P) = R(\zeta_1 + \zeta_2) P$$



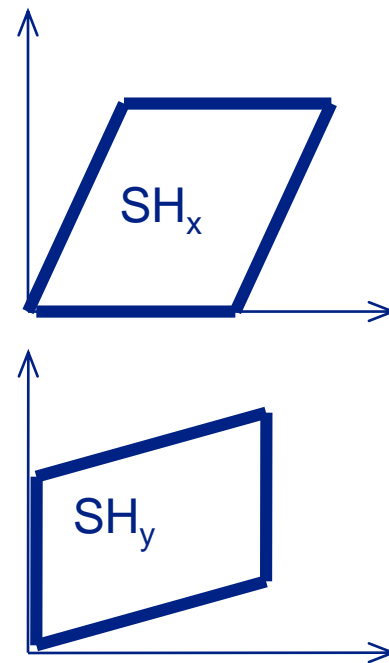
2D nyírás

- A hosszak és a szögek változhatnak
- Párhuzamos egyenesek képe párhuzamos

$$SH_x = \begin{pmatrix} 1 & a & 0 \\ 0 & 1 & 0 \\ 0 & 0 & 1 \end{pmatrix}$$

$$SH_y = \begin{pmatrix} 1 & 0 & 0 \\ b & 1 & 0 \\ 0 & 0 & 1 \end{pmatrix}$$

$$\begin{pmatrix} x' \\ y' \\ 1 \end{pmatrix} = \begin{pmatrix} 1 & a & 0 \\ 0 & 1 & 0 \\ 0 & 0 & 1 \end{pmatrix} \begin{pmatrix} x \\ y \\ 1 \end{pmatrix} = \begin{pmatrix} x + ay \\ y \\ 1 \end{pmatrix}$$



Affin transzformációk

- Eltolások, skálázások, forgatások és nyírások tetszőleges számú és sorrendű egymás utáni alkalmazásával kapott transzformáció



Általános kompozíció mátrix

- Skálázás/forgatás utáni eltolás
- r: skálázás/forgatás, t: eltolás

$$M = \begin{pmatrix} 1 & 0 & t_x \\ 0 & 1 & t_y \\ 0 & 0 & 1 \end{pmatrix} \begin{pmatrix} r_{11} & r_{12} & 0 \\ r_{21} & r_{22} & 0 \\ 0 & 0 & 1 \end{pmatrix} = \begin{pmatrix} r_{11} & r_{12} & t_x \\ r_{21} & r_{22} & t_y \\ 0 & 0 & 1 \end{pmatrix}$$

- Az M alakú mátrixokat kompozíció mátrixoknak nevezzük

2D transzformációk kompozíciója 1. példa

Forgatás ζ -val egy tetszőleges $P(x,y)$ pont körül.

- eltolás P -ből O -ba $T(-x,-y)$
- forgatás az origó körül $R(\zeta)$
- eltolás O -ból P -be $T(x,y)$

$$\begin{pmatrix} 1 & 0 & x \\ 0 & 1 & y \\ 0 & 0 & 1 \end{pmatrix} \begin{pmatrix} \cos \zeta & -\sin \zeta & 0 \\ \sin \zeta & \cos \zeta & 0 \\ 0 & 0 & 1 \end{pmatrix} \begin{pmatrix} 1 & 0 & -x \\ 0 & 1 & -y \\ 0 & 0 & 1 \end{pmatrix} = \\ = \begin{pmatrix} \cos \zeta & -\sin \zeta & x(1 - \cos \zeta) + y \sin \zeta \\ \sin \zeta & \cos \zeta & y(1 - \cos \zeta) - x \sin \zeta \\ 0 & 0 & 1 \end{pmatrix}$$



2D transzformációk kompozíciója 2. példa

Nagyítás egy tetszőleges P(x,y) pontból

$$T(x,y) \cdot S(s_x,s_y) \cdot T(-x,-y) =$$

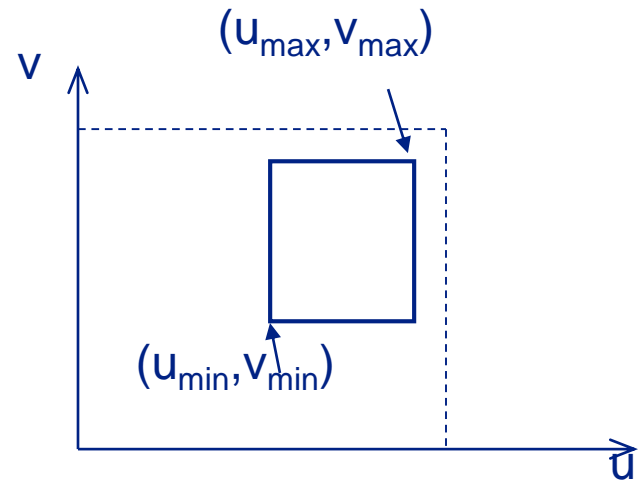
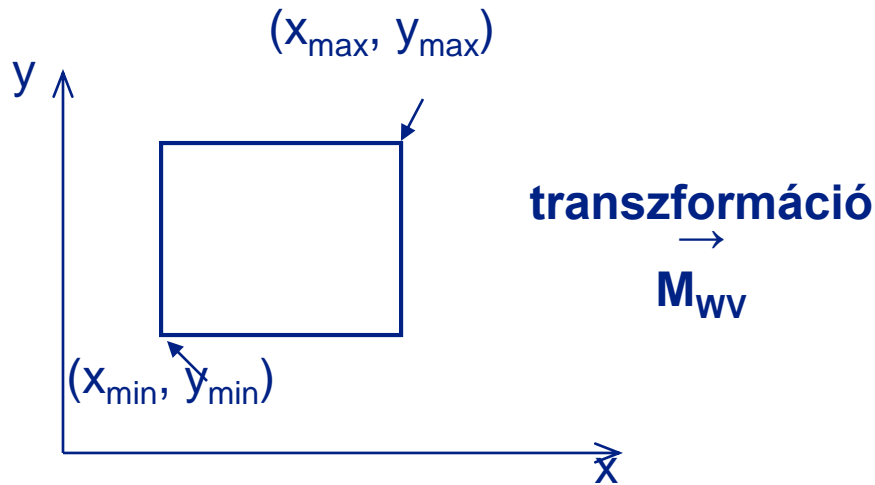
$$\begin{pmatrix} 1 & 0 & x \\ 0 & 1 & y \\ 0 & 0 & 1 \end{pmatrix} \begin{pmatrix} s_x & 0 & 0 \\ 0 & s_y & 0 \\ 0 & 0 & 1 \end{pmatrix} \begin{pmatrix} 1 & 0 & -x \\ 0 & 1 & -y \\ 0 & 0 & 1 \end{pmatrix} = \begin{pmatrix} s_x & 0 & x(1-s_x) \\ 0 & s_y & y(1-s_y) \\ 0 & 0 & 1 \end{pmatrix}$$



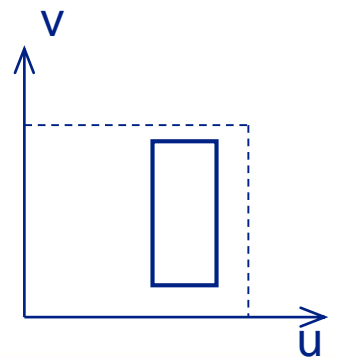
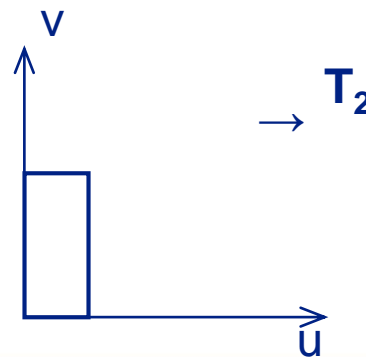
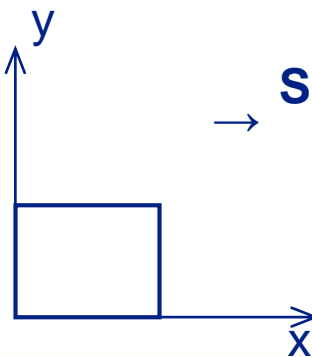
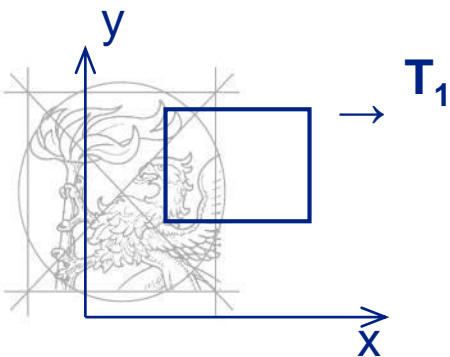
2D transzformációk kompozíciója 3. példa / 1

Világ koordináta rendszer

Képernyő koordináta rendszer



transzformáció
 \rightarrow
 M_{wv}



2D transzformációk kompozíciója 3. példa /2

$$\begin{aligned}
 M_{wv} &= T(u_{\min}, v_{\min}) S \left(\frac{u_{\max} - u_{\min}}{x_{\max} - x_{\min}}, \frac{v_{\max} - v_{\min}}{y_{\max} - y_{\min}} \right) T(-x_{\min}, -y_{\min}) = \\
 &= \begin{pmatrix} 1 & 0 & u_{\min} \\ 0 & 1 & v_{\min} \\ 0 & 0 & 1 \end{pmatrix} \begin{pmatrix} \frac{u_{\max} - u_{\min}}{x_{\max} - x_{\min}} & 0 & 0 \\ 0 & \frac{v_{\max} - v_{\min}}{y_{\max} - y_{\min}} & 0 \\ 0 & 0 & 1 \end{pmatrix} \begin{pmatrix} 1 & 0 & -x_{\min} \\ 0 & 1 & -y_{\min} \\ 0 & 0 & 1 \end{pmatrix} = \\
 &= \begin{pmatrix} \frac{u_{\max} - u_{\min}}{x_{\max} - x_{\min}} & 0 & -x_{\min} \frac{u_{\max} - u_{\min}}{x_{\max} - x_{\min}} + u_{\min} \\ 0 & \frac{v_{\max} - v_{\min}}{y_{\max} - y_{\min}} & -y_{\min} \frac{v_{\max} - v_{\min}}{y_{\max} - y_{\min}} + v_{\min} \\ 0 & 0 & 1 \end{pmatrix}
 \end{aligned}$$



2D transzformációk kompozíciója 3. példa /3

$$M_{wv} = \begin{pmatrix} \frac{u_{\max} - u_{\min}}{x_{\max} - x_{\min}} & 0 & -x_{\min} \frac{u_{\max} - u_{\min}}{x_{\max} - x_{\min}} + u_{\min} \\ 0 & \frac{v_{\max} - v_{\min}}{y_{\max} - y_{\min}} & -y_{\min} \frac{v_{\max} - v_{\min}}{y_{\max} - y_{\min}} + v_{\min} \\ 0 & 0 & 1 \end{pmatrix}$$

tehát

$$P' = M_{wv} P(x, y) = \begin{pmatrix} (x - x_{\min}) \frac{u_{\max} - u_{\min}}{x_{\max} - x_{\min}} + u_{\min} \\ (y - y_{\min}) \frac{v_{\max} - v_{\min}}{y_{\max} - y_{\min}} + v_{\min} \end{pmatrix}$$



Gyorsítások

M·P számításakor:

9 szorzás és 6 összeadás helyett elegendő

$$x' = x \cdot r_{11} + y \cdot r_{12} + t_x$$

$$y' = x \cdot r_{21} + y \cdot r_{22} + t_y$$

kiszámítása, ami csak 4 szorzás
és 4 összeadás

$$M = \begin{pmatrix} r_{11} & r_{12} & t_x \\ r_{21} & r_{22} & t_y \\ 0 & 0 & 1 \end{pmatrix}$$

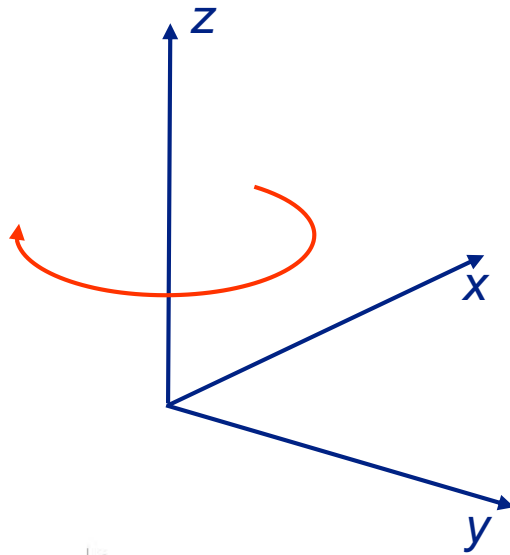
Ha kicsi ζ szöggel forgatunk, akkor $\cos \zeta \simeq 1$, így

$$x' = x \cdot \cos \zeta - y \cdot \sin \zeta \simeq x - y \cdot \sin \zeta$$

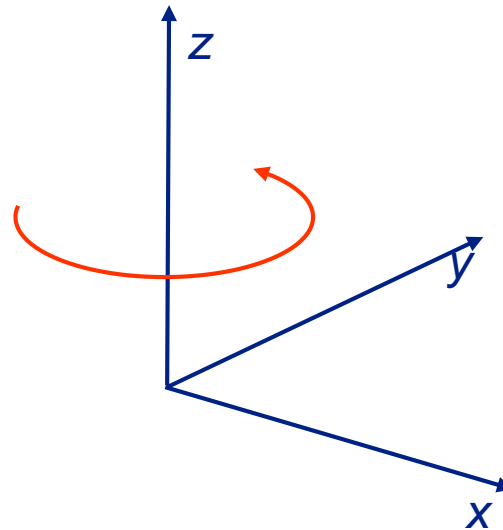
$$y' = x \cdot \sin \zeta + y \cdot \cos \zeta \simeq x \cdot \sin \zeta + y,$$

ami csak 2 szorzás és két összeadás (+ sin
kiszámítása)

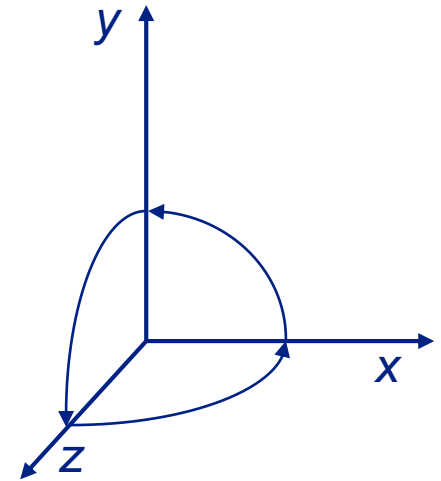
3D koordináta-rendszerek



balkezes
bal-sodrású



jobbkezes
jobb-sodrású



3D transzformációk - homogén koordináták

- (x,y,z) megadása homogén koordinátákkal:
 $(x,y,z,1)$
- $(x,y,z,w) = (x',y',z',w')$, ha van olyan α , hogy
 $x' = \alpha \cdot x$, $y' = \alpha \cdot y$, $z' = \alpha \cdot z$ és $w' = \alpha \cdot w$
- Ha $w \neq 0$: $(x/w, y/w, z/w, 1)$ a szokásos jelölés
- Ha $w = 0$: $(x,y,z,0)$ végtelen távoli pont
- Kapcsolat: (x,y,z) - egyenes a 4-dimenziós térben aminek a $w=1$ -re való vetülete a homogén koordináta



3D eltolás

$$T(d_x, d_y, d_z) = \begin{pmatrix} 1 & 0 & 0 & d_x \\ 0 & 1 & 0 & d_y \\ 0 & 0 & 1 & d_z \\ 0 & 0 & 0 & 1 \end{pmatrix}$$

mert

$$T(d_x, d_y, d_z) \begin{pmatrix} x \\ y \\ z \\ 1 \end{pmatrix} = \begin{pmatrix} x + d_x \\ y + d_y \\ z + d_z \\ 1 \end{pmatrix}$$

$$T^{-1}(d_x, d_y, d_z) = T(-d_x, -d_y, -d_z)$$

3D skálázás (nagyítás/kicsinyítés)

$$S(s_x, s_y, s_z) = \begin{pmatrix} s_x & 0 & 0 & 0 \\ 0 & s_y & 0 & 0 \\ 0 & 0 & s_z & 0 \\ 0 & 0 & 0 & 1 \end{pmatrix}$$

mert

$$S(s_x, s_y, s_z) \begin{pmatrix} x \\ y \\ z \\ 1 \end{pmatrix} = \begin{pmatrix} x \cdot s_x \\ y \cdot s_y \\ z \cdot s_z \\ 1 \end{pmatrix}$$

$$S^{-1}(s_x, s_y, s_z) = \begin{pmatrix} 1/s_x & 0 & 0 & 0 \\ 0 & 1/s_y & 0 & 0 \\ 0 & 0 & 1/s_z & 0 \\ 0 & 0 & 0 & 1 \end{pmatrix}$$

3D forgatások

A z-tengely körül

$$R_z(\xi) = \begin{pmatrix} \cos \xi & -\sin \xi & 0 & 0 \\ \sin \xi & \cos \xi & 0 & 0 \\ 0 & 0 & 1 & 0 \\ 0 & 0 & 0 & 1 \end{pmatrix}$$

Az x-tengely körül

$$R_x(\xi) = \begin{pmatrix} 1 & 0 & 0 & 0 \\ 0 & \cos \xi & -\sin \xi & 0 \\ 0 & \sin \xi & \cos \xi & 0 \\ 0 & 0 & 0 & 1 \end{pmatrix}$$

Az y-tengely körül

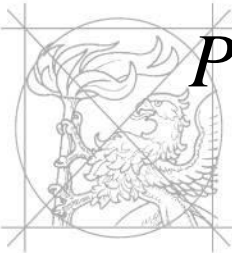
$$R_y(\xi) = \begin{pmatrix} \cos \xi & 0 & \sin \xi & 0 \\ 0 & 1 & 0 & 0 \\ -\sin \xi & 0 & \cos \xi & 0 \\ 0 & 0 & 0 & 1 \end{pmatrix}$$



3D kompozíció-mátrix

Skálázás/forgatás utáni eltolás

$$M = \begin{pmatrix} r_{11} & r_{12} & r_{13} & t_1 \\ r_{21} & r_{22} & r_{23} & t_2 \\ r_{31} & r_{32} & r_{33} & t_3 \\ 0 & 0 & 0 & 1 \end{pmatrix} = \begin{pmatrix} & R & & T \\ 0 & 0 & 0 & 1 \end{pmatrix}$$


$$P = \begin{pmatrix} p_1 \\ p_2 \\ p_3 \\ 1 \end{pmatrix}$$

$$M P = R \begin{pmatrix} p_1 \\ p_2 \\ p_3 \end{pmatrix} + T$$

Ilyen módon
hatékonyabban
számítható!

3D nyírás (Z mentén)

$$SH_{xy}(sh_x, sh_y) = \begin{pmatrix} 1 & 0 & sh_x & 0 \\ 0 & 1 & sh_y & 0 \\ 0 & 0 & 1 & 0 \\ 0 & 0 & 0 & 1 \end{pmatrix}$$

mert

$$SH_{xy}(sh_x, sh_y) \begin{pmatrix} x \\ y \\ z \\ 1 \end{pmatrix} = \begin{pmatrix} x + sh_x z \\ y + sh_y z \\ z \\ 1 \end{pmatrix}$$

3D síkok transzformációi

- A sík egyenlete: $Ax + By + Cz + D = 0$
- Legyen P a sík tetszőleges pontja!

- Ha $P = \begin{pmatrix} x \\ y \\ z \\ 1 \end{pmatrix}$, akkor $N = \begin{pmatrix} A \\ B \\ C \\ D \end{pmatrix}$ a sík normálisa,

hiszen $N^T P = 0$

- Ha a sík pontjait M -el transzformáljuk, akkor hogy transzformálódik a sík normálisa?

3D síkok transzformációi

- Legyen P tetszőleges pont a síkban! Ekkor

$$N^T P = 0.$$
- Melyik az a Q mátrix, amelyre $(QN)^T(MP) = 0$?
- Ha M^{-1} létezik, akkor

$$((M^{-1})^T N)^T (MP) = N^T ((M^{-1})^T)^T M P = N^T P = 0$$



$$Q = (M^{-1})^T$$

$$N' = (M^{-1})^T N$$

• (NEM BIZTOS, hogy M inverze létezik! Pl: vetítés)

3D koordináta-rendszerek váltása /1

$P^{(j)}$: a P pont az j koordináta-rendszerben

$M_{i \leftarrow j}$: transzformáció, amely
a j koordináta-rendszerbeli pontokat
az i koordináta-rendszerbe viszi át

Ekkor

$$P^{(i)} = M_{i \leftarrow j} P^{(j)}$$

Ha $P^{(j)} = M_{j \leftarrow k} P^{(k)}$, akkor

$$P^{(i)} = M_{i \leftarrow j} P^{(j)} = M_{i \leftarrow j} (M_{j \leftarrow k} P^{(k)}) = M_{i \leftarrow k} P^{(k)}$$

ahol

$$M_{i \leftarrow k} = M_{i \leftarrow j} M_{j \leftarrow k}$$



3D koordináta-rendszerek váltása /2

Továbbá

$$M_{i \leftarrow j} = M_{j \leftarrow i}^{-1}$$

pl:

a) Ha $M_{i \leftarrow j} = T(t_x, t_y)$, akkor $M_{j \leftarrow i} = T(-t_x, -t_y)$.

b) Ha R: jobb-kezes koordináta-rendszer
L: bal-kezes koordináta-rendszer, akkor

$$M_{R \leftarrow L} = M_{L \leftarrow R}^{-1} = \begin{pmatrix} 1 & 0 & 0 & 0 \\ 0 & 1 & 0 & 0 \\ 0 & 0 & -1 & 0 \\ 0 & 0 & 0 & 1 \end{pmatrix}$$



3D transzformációk alakja különböző koordináta-rendszerekben

$P^{(j)}$: pont a j koordináta-rendszerben

$Q^{(j)}$: transzformáció a j koordináta-rendszerben

Melyik az a $Q^{(i)}$, amelyre

$$Q^{(i)} P^{(i)} = M_{i \leftarrow j} Q^{(j)} P^{(j)} \quad ?$$

Mivel $P^{(i)} = M_{i \leftarrow j} P^{(j)}$, ezért

$$Q^{(i)} M_{i \leftarrow j} P^{(j)} = M_{i \leftarrow j} Q^{(j)} P^{(j)}$$



$$Q^{(i)} M_{i \leftarrow j} = M_{i \leftarrow j} Q^{(j)}$$

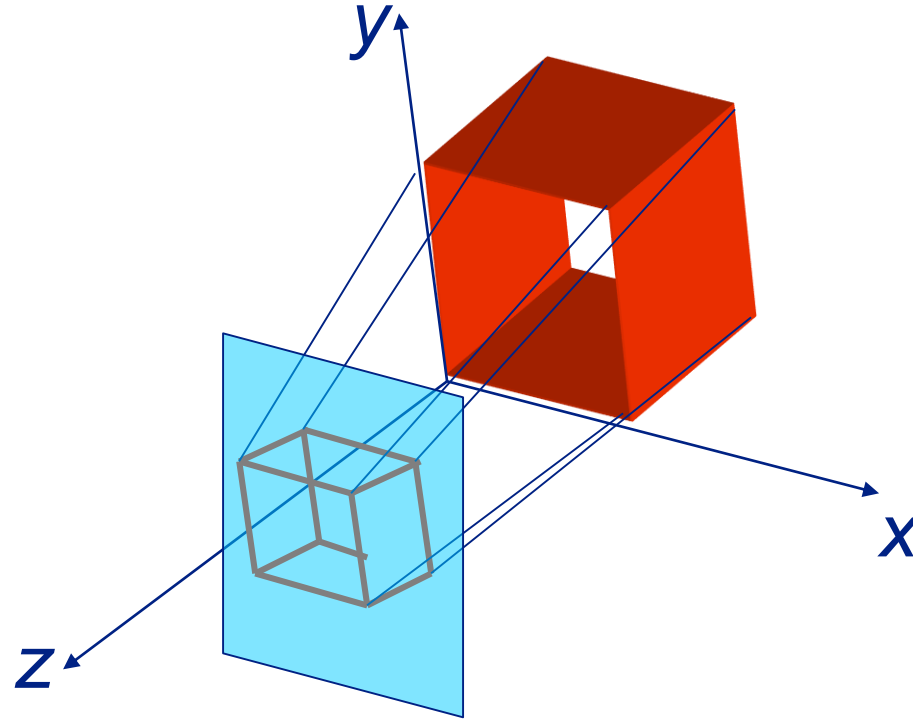
$$Q^{(i)} = M_{i \leftarrow j} Q^{(j)} M_{i \leftarrow j}^{-1}$$





4. VETÍTÉSEK

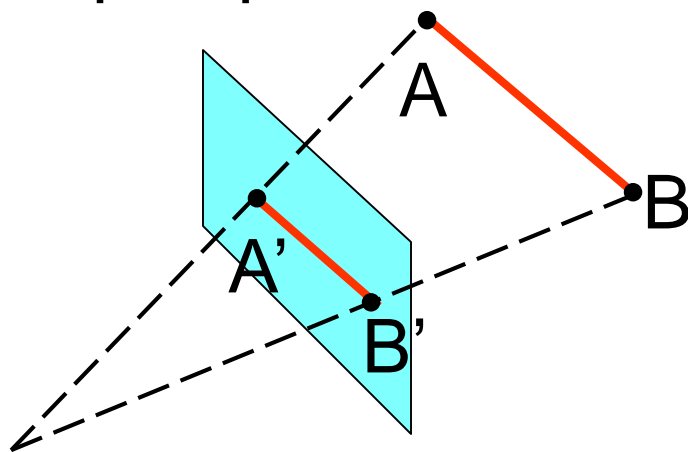
VETÍTÉSEK



- Transzformációk, amelyek n -dimenziós objektumokat kisebb dimenziós terekbe visznek át. Pl. $3D \rightarrow 2D$

Vetítések fajtái /1

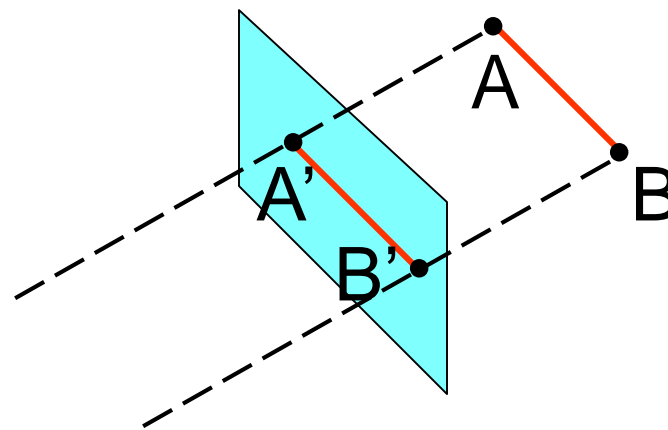
perspektívikus



Vetítés
középpontja

Vetítési sík

párhuzamos



Vetítés
középpontja
a
végtelenben

Vetítési
sík

Vetítések fajtái /2

Perspektívikus

Vetítési középpont

- közel áll látásunkhoz
- általában: nem mérhetők a távolságok (rövidülés) és a szögek

Párhuzamos

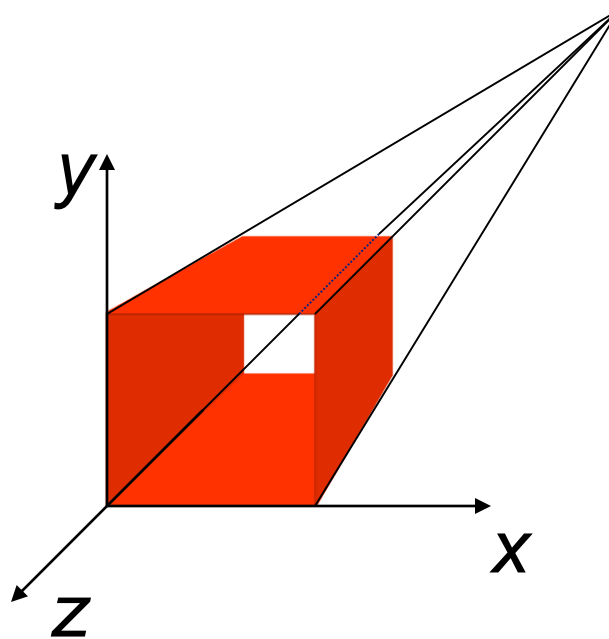
Vetítési irány

- kevésbé realiztikus
- mérhető távolságok, szögek változnak

Perspektív vetítések /1

A vetítési síkkal nem, de egymással párhuzamos egyenesek vetületei egy pontban metszik egymást = távlatpont

Elsődleges távlatpont:
valamelyik fő(tengely)
irányhoz tartozó
távlatpont



Perspektív vetítések /2

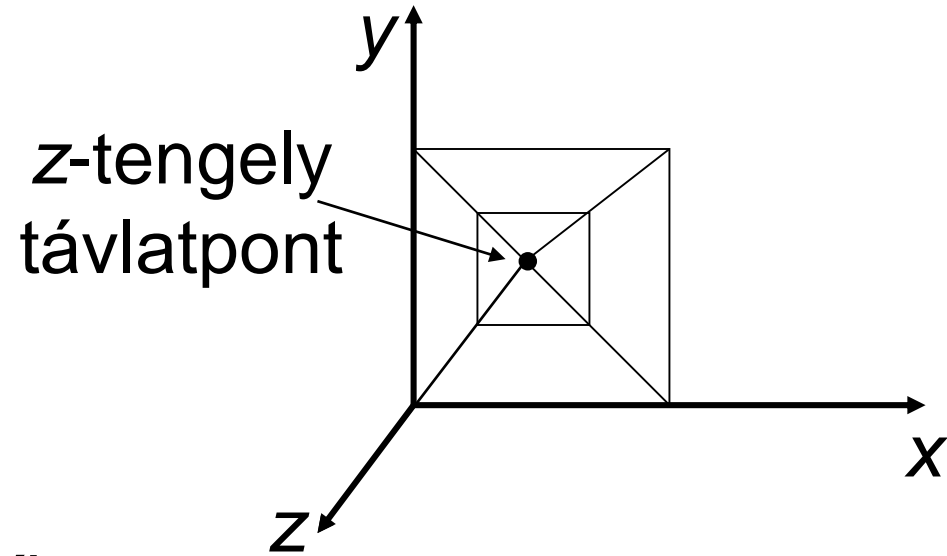
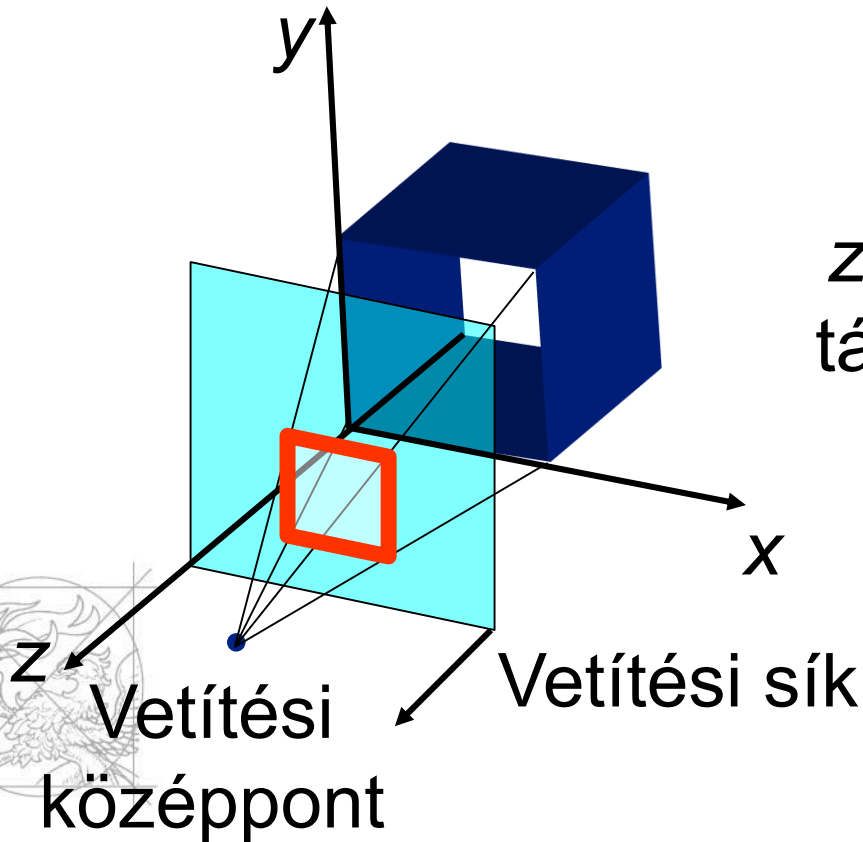
Perspektív vetítések osztályozása:

az elsődleges távlatpontok száma szerint (1, 2, 3).



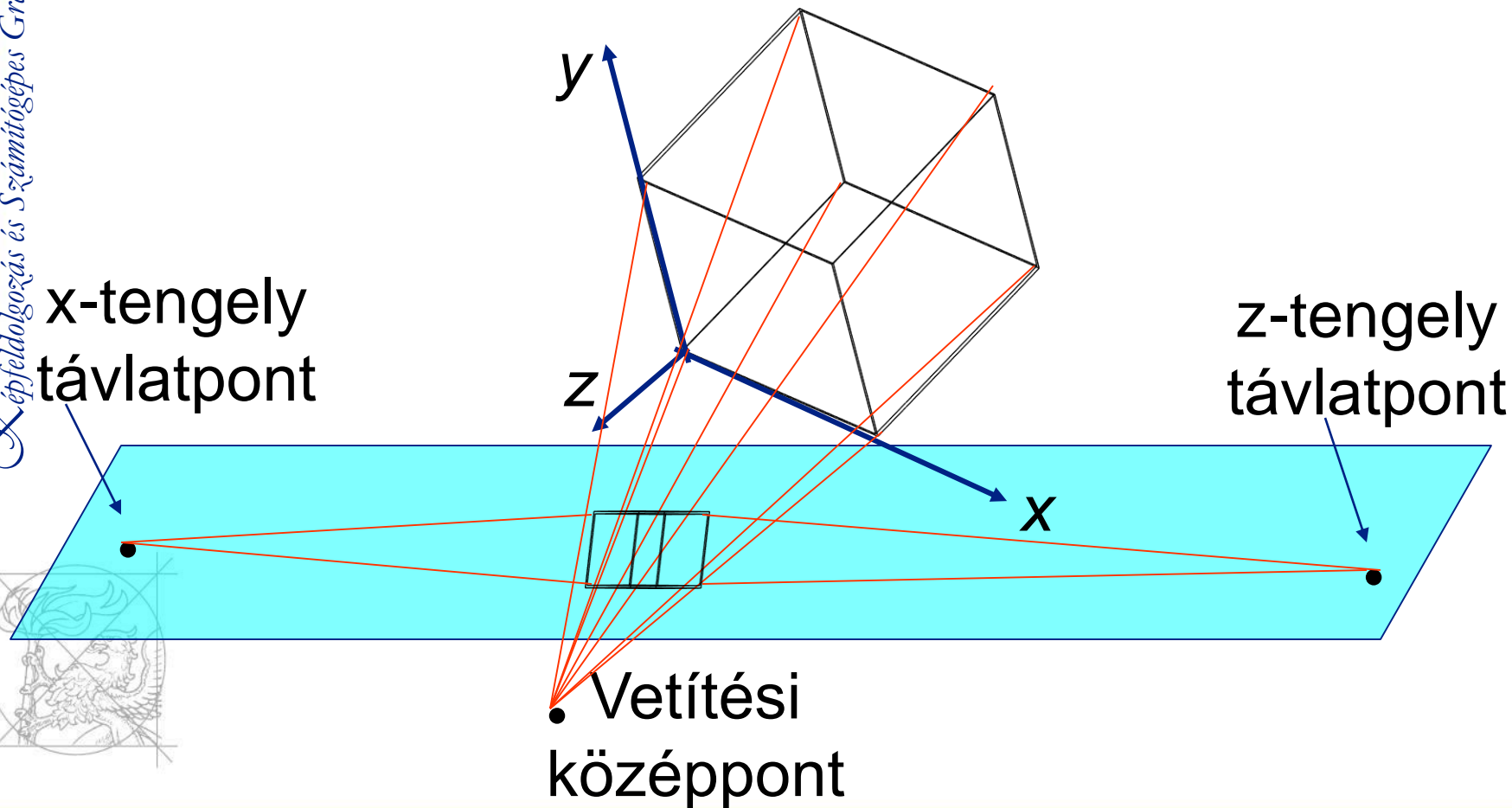
Perspektív vetítések /3

1. Egy pontos perspektív vetítés



Perspektív vetítések /4

2. Kétpontos perspektív vetítés





Párhuzamos vetítések

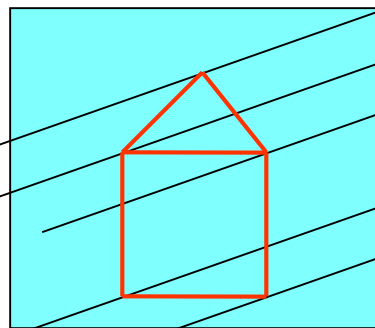
A párhuzamosság megmarad

Osztályozásuk a vetítési irány és a vetítési sík egymáshoz viszonyított helyzete szerint:

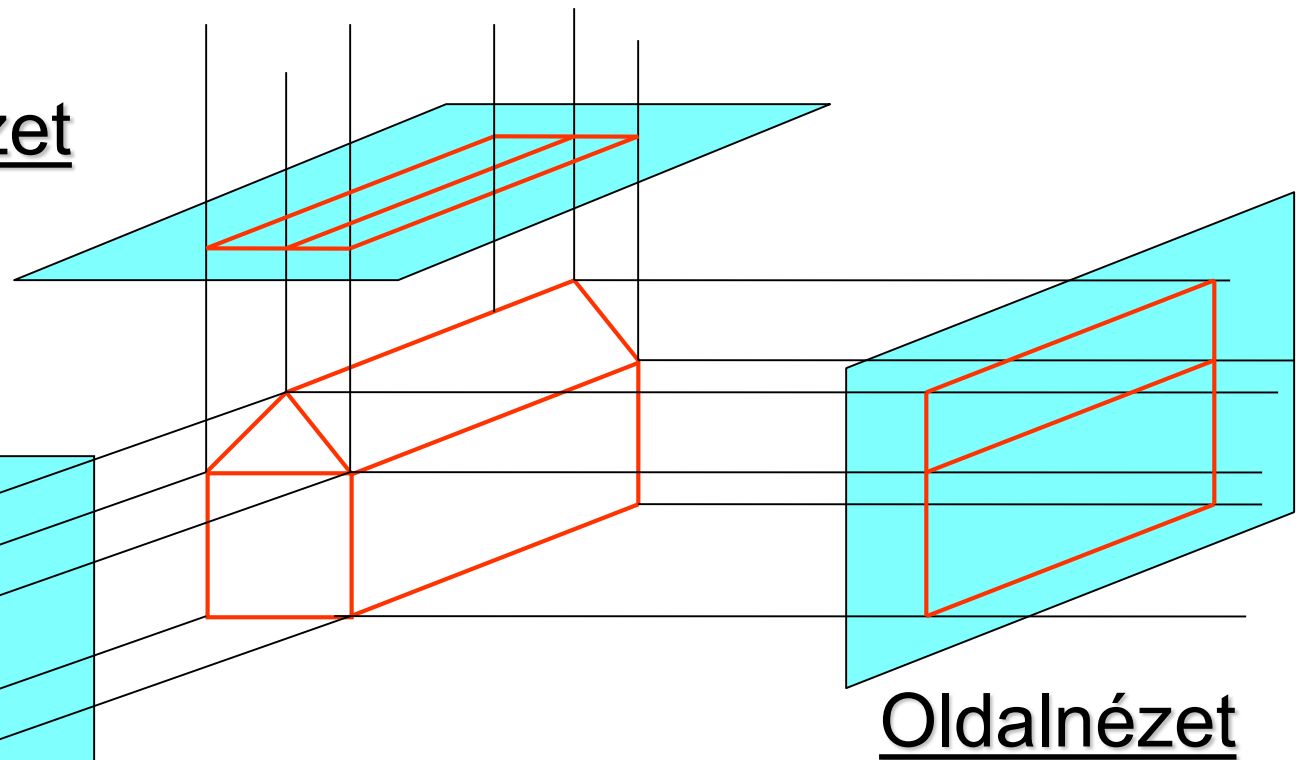
1. Merőleges (ortografikus)
2. Tetszőleges irányú

Merőleges (ortografikus) /1

Felülnézet



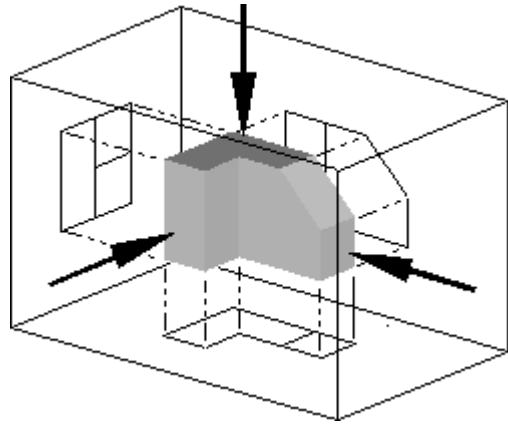
Előnézet



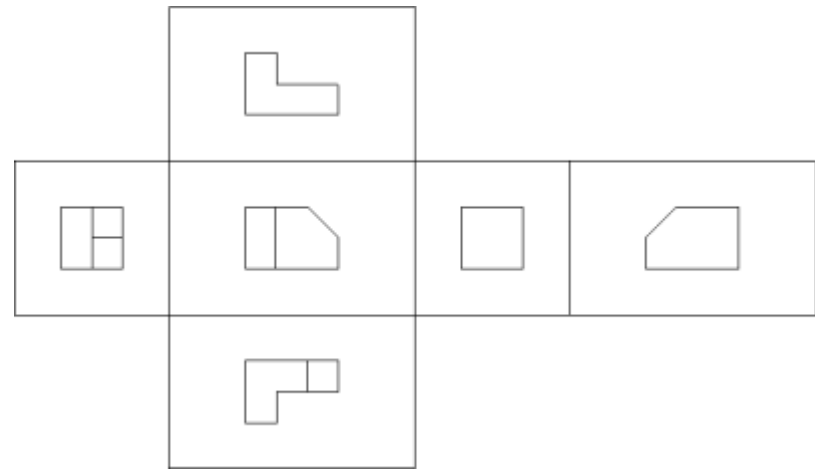
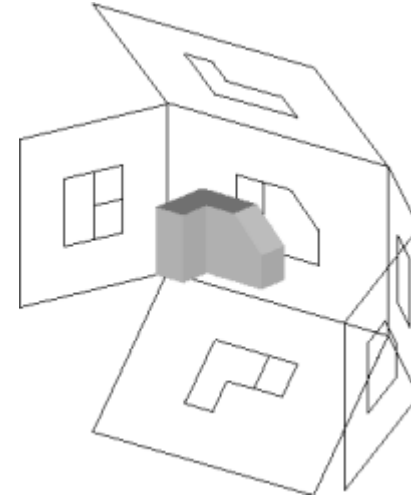
Oldalnézet

A párhuzamosság megmarad,
a távolságok megmaradnak vagy számíthatók



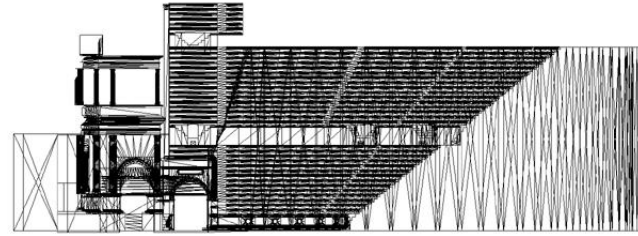
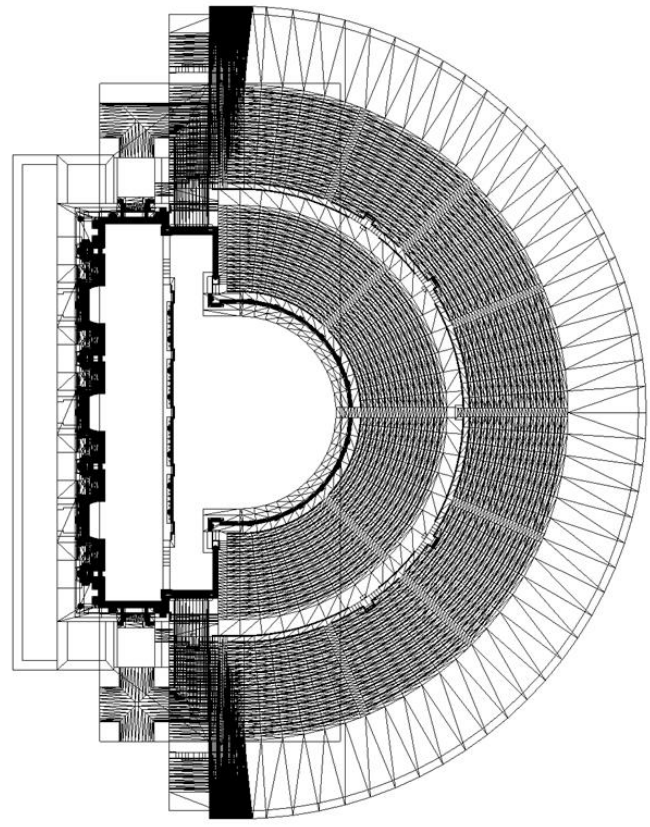
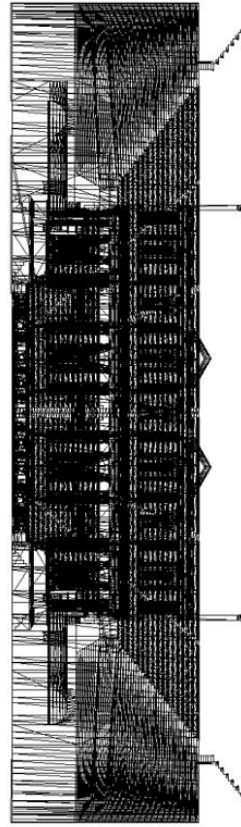


Példa





Amfiteátrium Jerash-ban



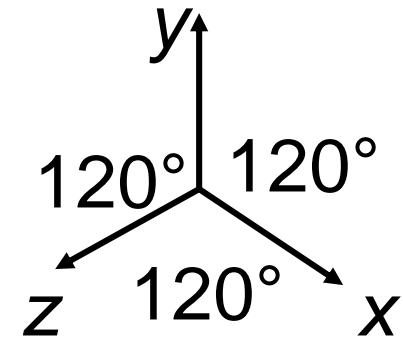
Merőleges (ortografikus) /2

Axonometrikus (nem merőleges egyik tengelyre sem); szög nem marad meg, távolság számítható

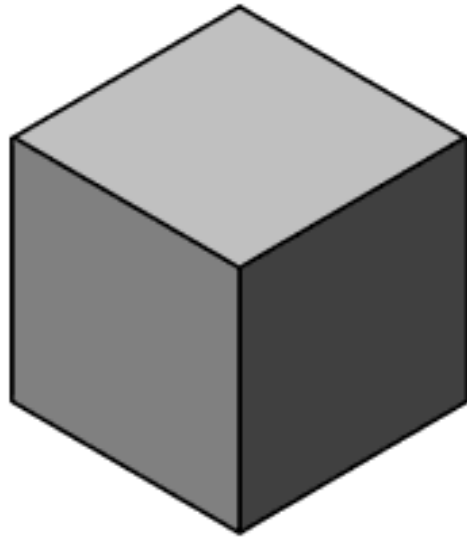
Izometrikus (a vetítési irány (d_x, d_y, d_z) minden tengellyel ugyanakkora szöget zár be), azaz

$$|d_x| = |d_y| = |d_z|,$$

$$\pm d_x = \pm d_y = \pm d_z$$



8 ilyen irány létezik

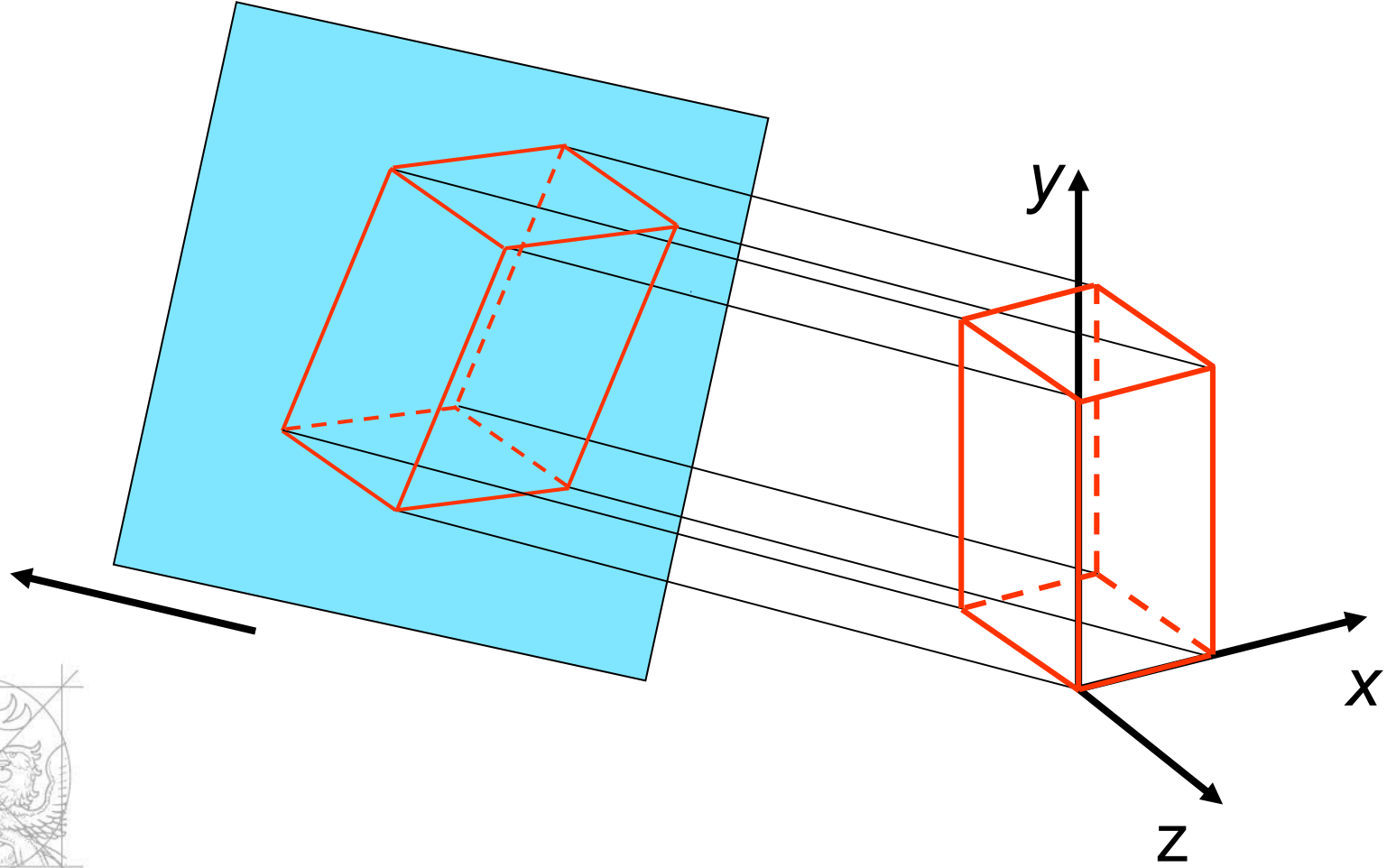


Izometrikus vetítés





Merőleges (ortografikus) /3

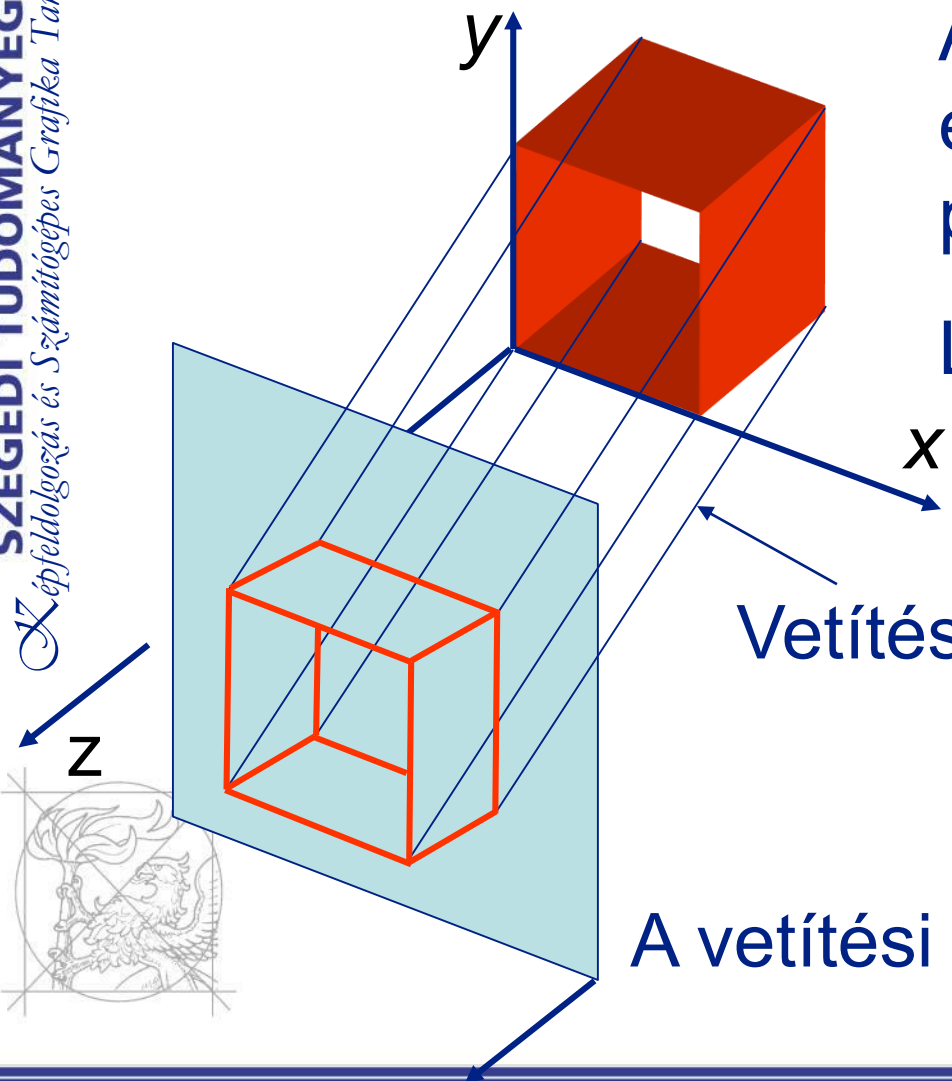


Tetszőleges irányú

A vetítési sík normálisa és a vetítési irány nem párhuzamos

Leggyakoribb fajtái:

- kavalier
- kabinet

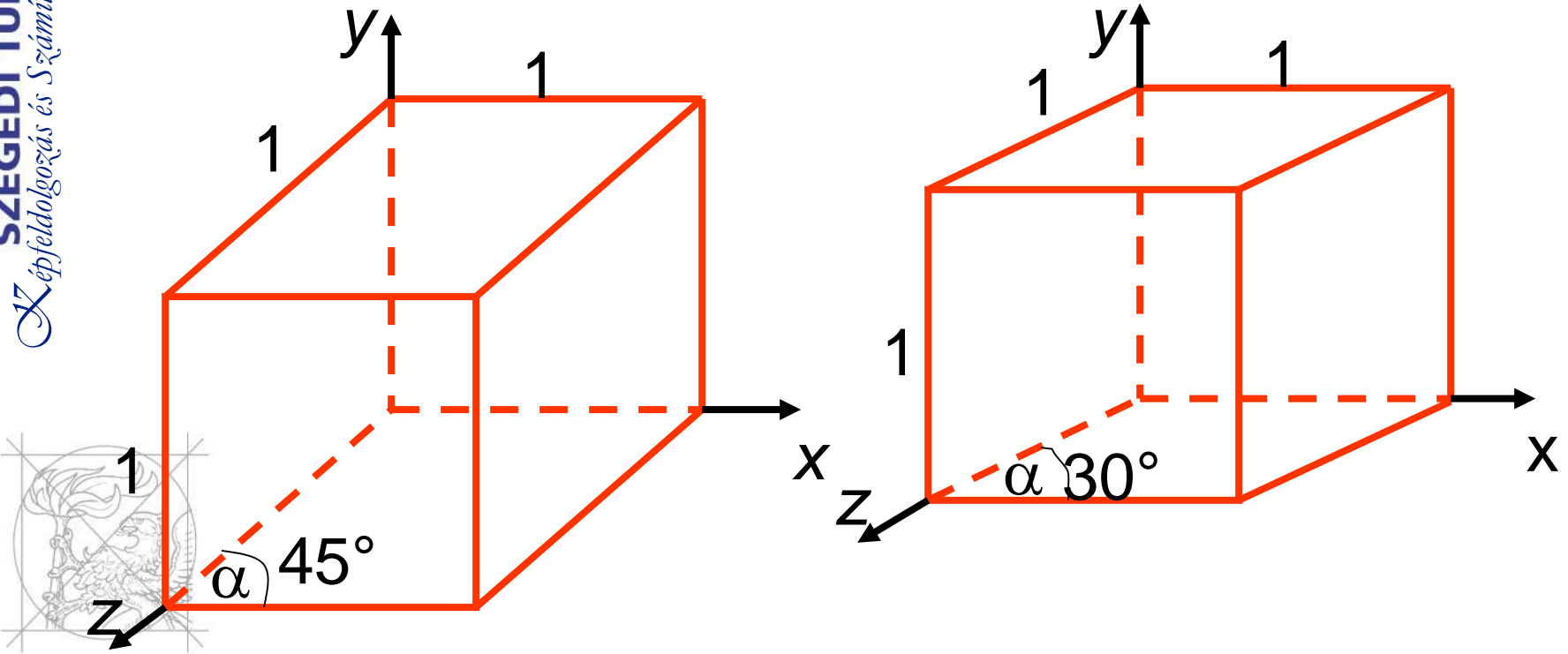


Vetítési irány

A vetítési sík normálisa

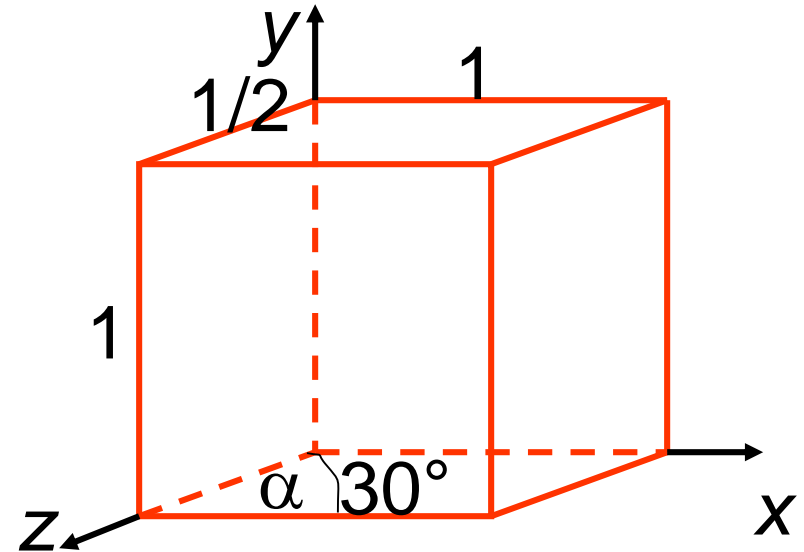
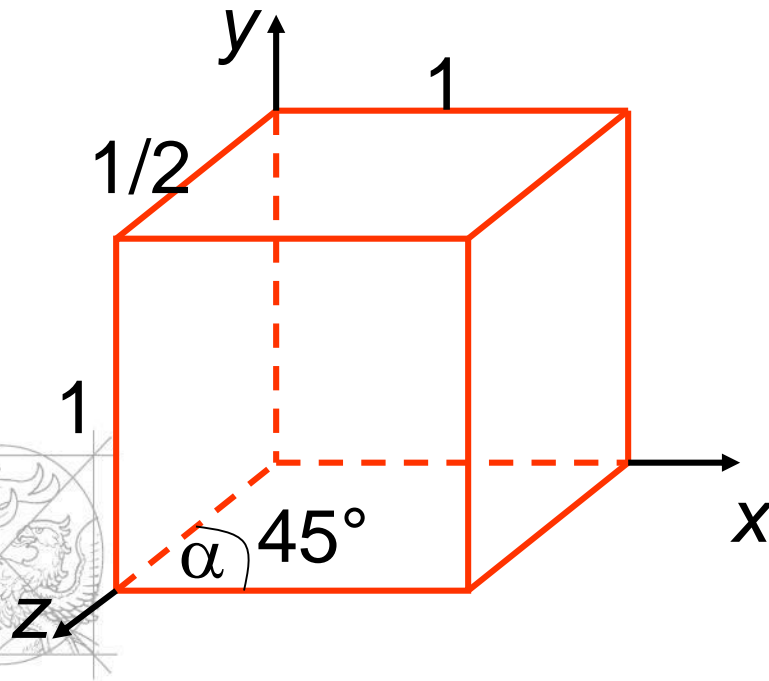
Ferde irányú

Kavalier:



Ferde irányú

Kabinet:



3-D megjelenítés specifikálása /2

3D referencia koordináta rendszer (VRC)

megadása:

Origó = VRP

A tengelyek:

$n = VPN,$

$v = VUP$ -nek a vetítési síkra eső vetülete

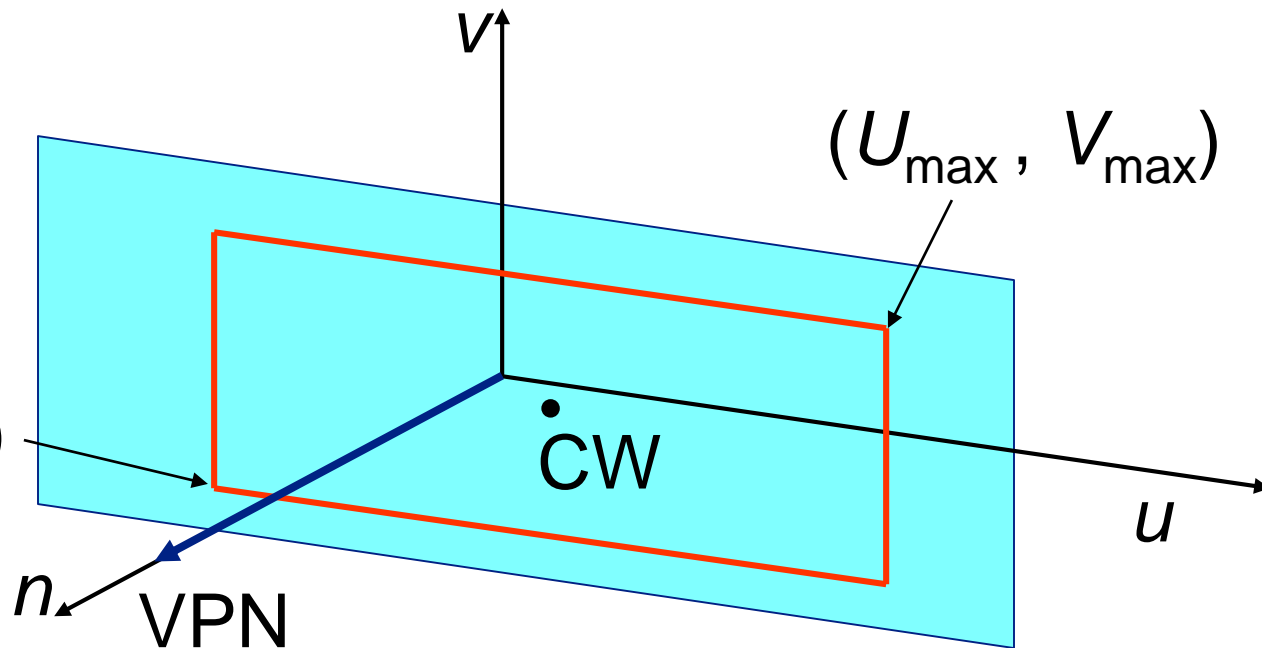
$u =$ olyan, hogy u, v, n jobb-kezes derékszögű koordináta rendszert határozzon meg



3-D megjelenítés specifikálása /3

Ablak: Téglalap a vetítési síkon. Ami azon belül van, az megjelenik, a többi nem

CW a közepe

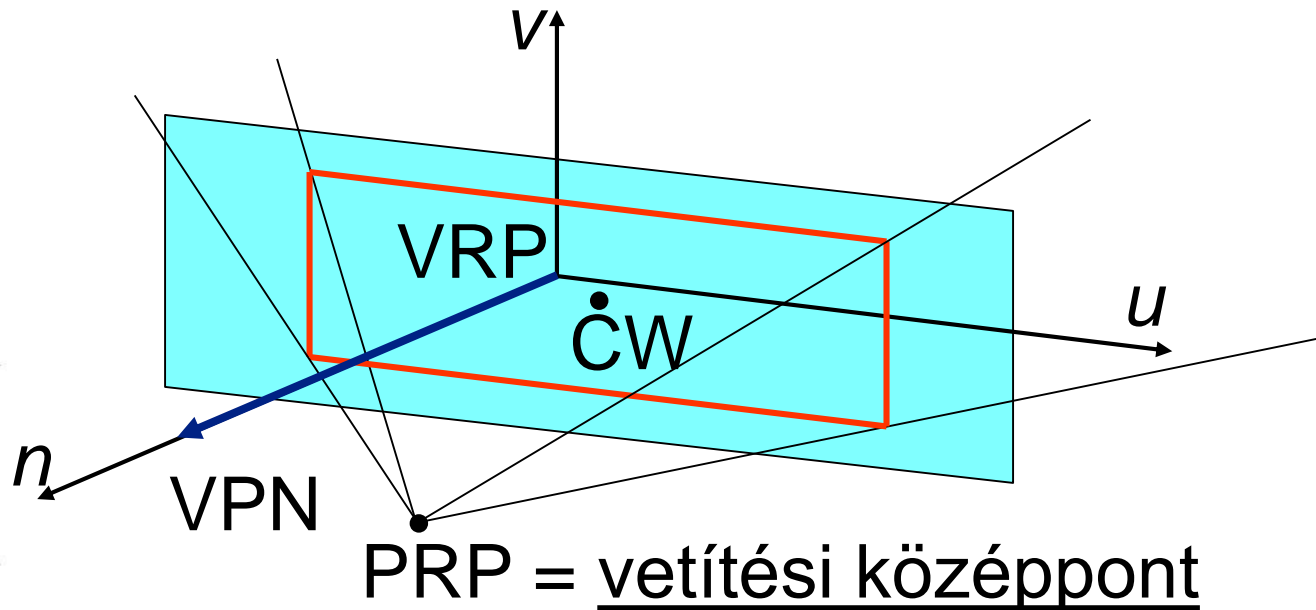


3-D megjelenítés specifikálása /4

PRP: vetítési referencia pont:

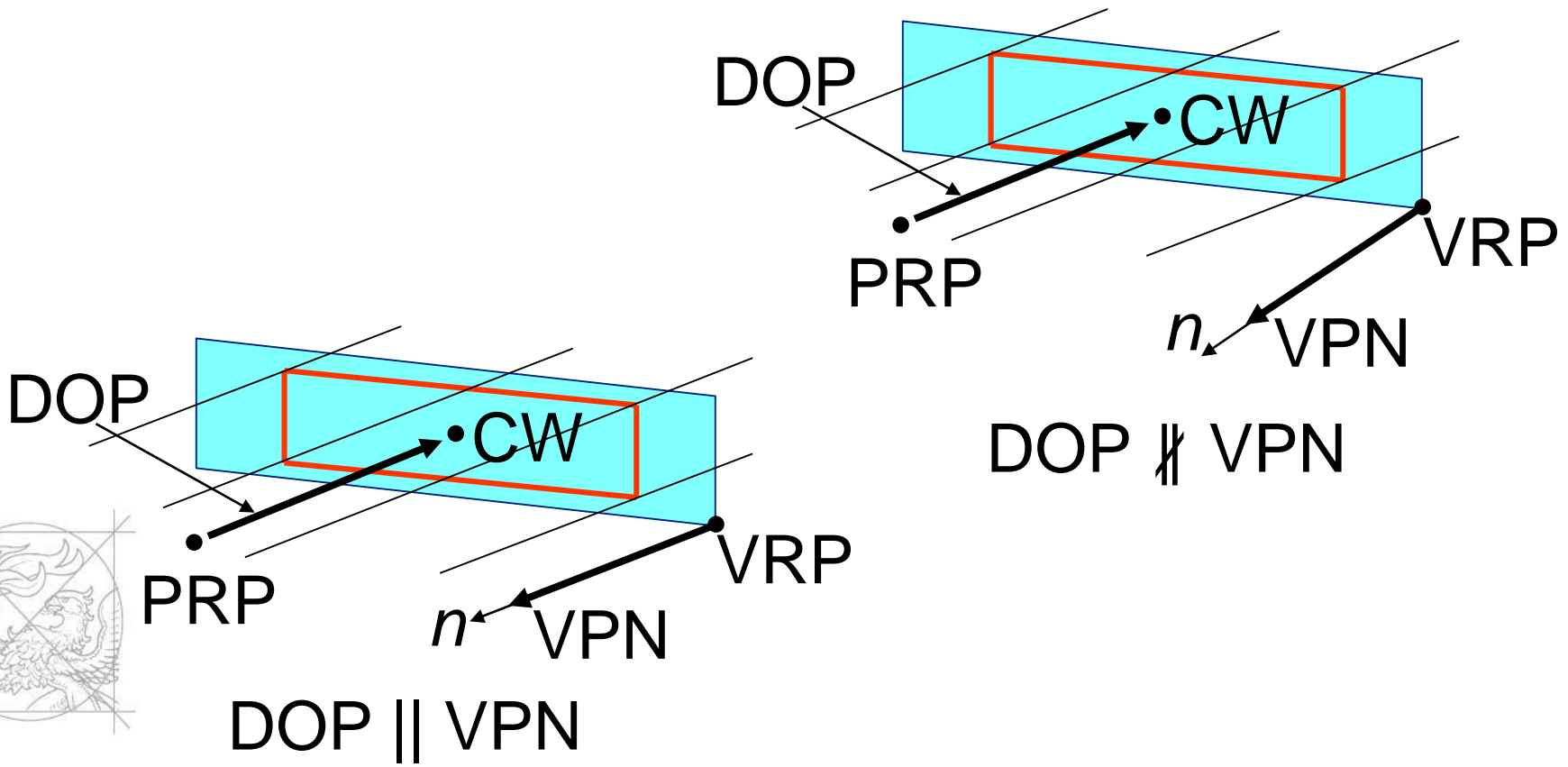
(párhuzamos és perspektív vetítésre is)

Perspektívikus vetítésnél



3-D megjelenítés specifikálása /5

DOP: vetítési irány



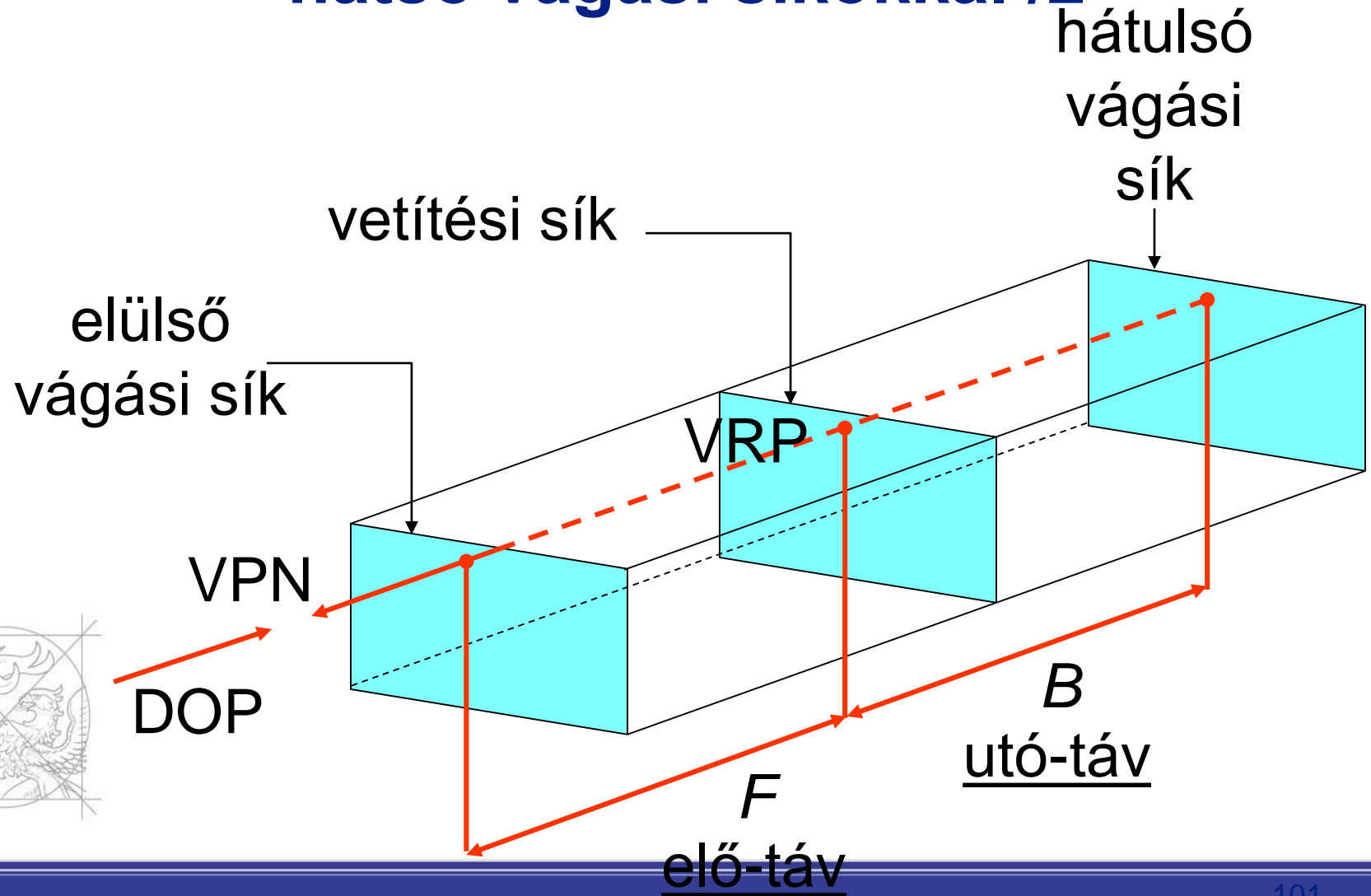
Látótér meghatározása elülső és hátsó vágási síkokkal /1

Fajtái:

- párhuzamos (ortografikus)
- párhuzamos (tetszőleges irányú)
- perspektivikus

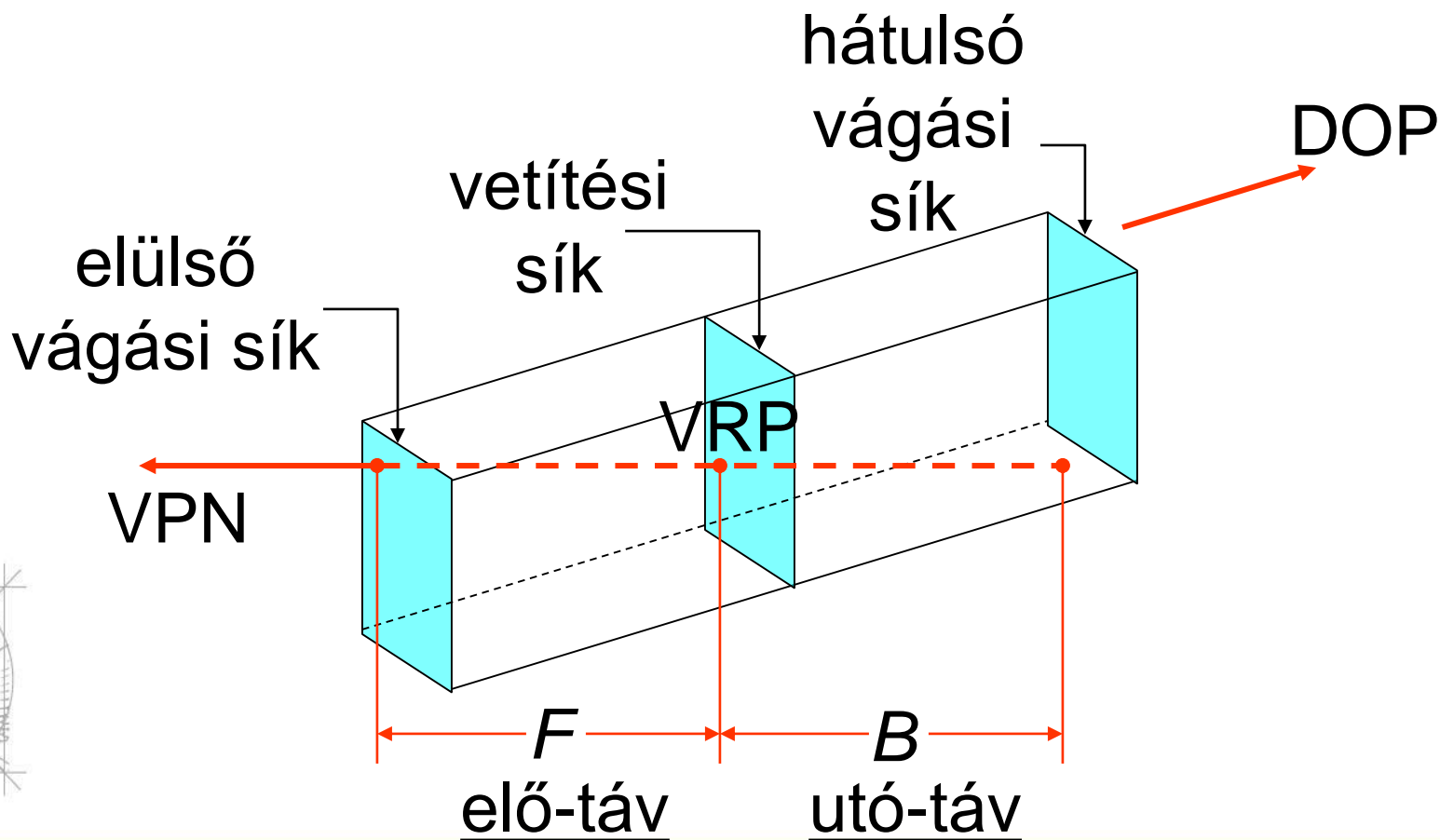


Látótér meghatározása elülső és hátsó vágási síkokkal /2



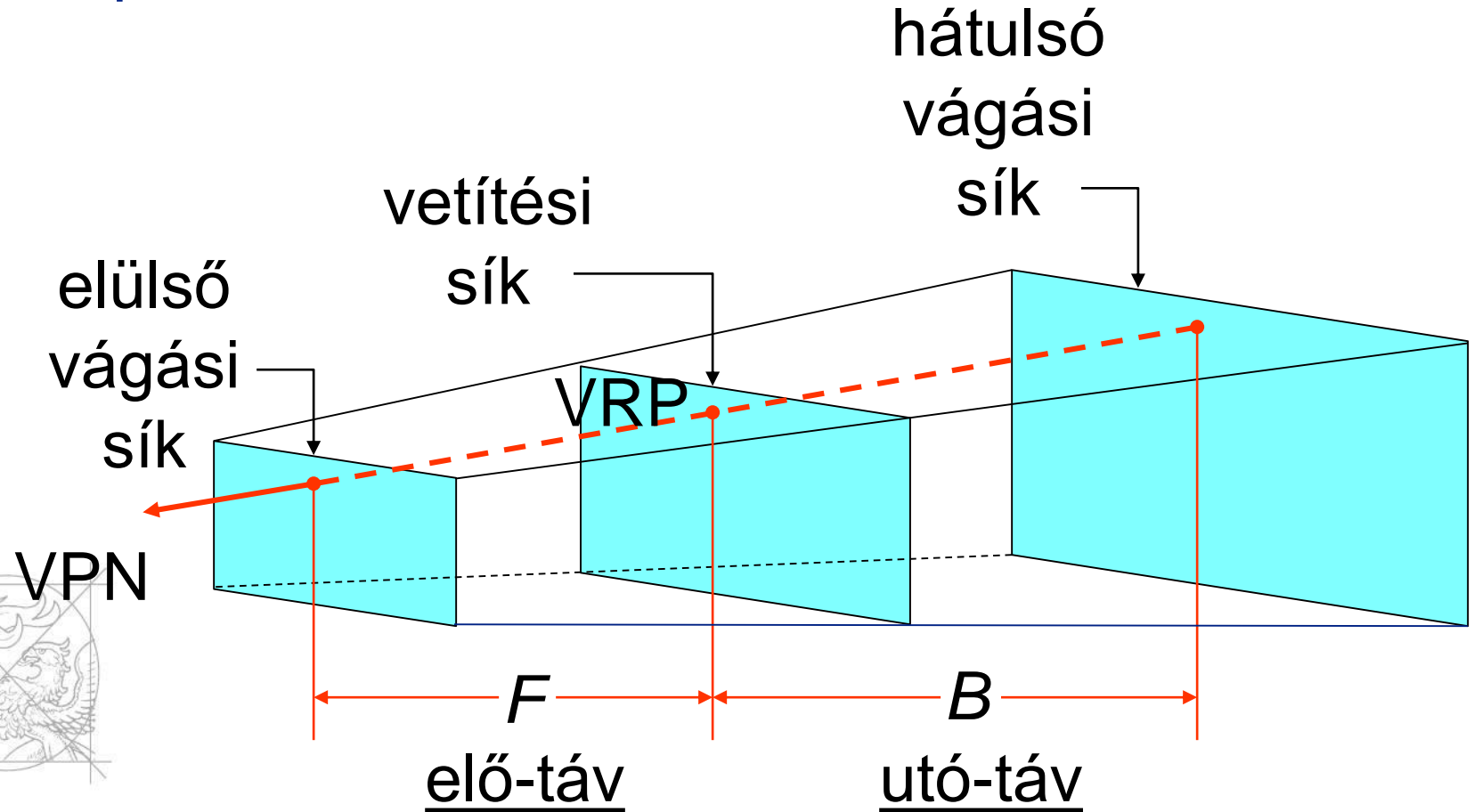
Látótér meghatározása elülső és hátsó vágási síkokkal /3

Párhuzamos (tetszőleges irányú):



Látótér meghatározása elülső és hátsó vágási síkokkal /4

Perspektivikus:





Vetítések matematikai leírása

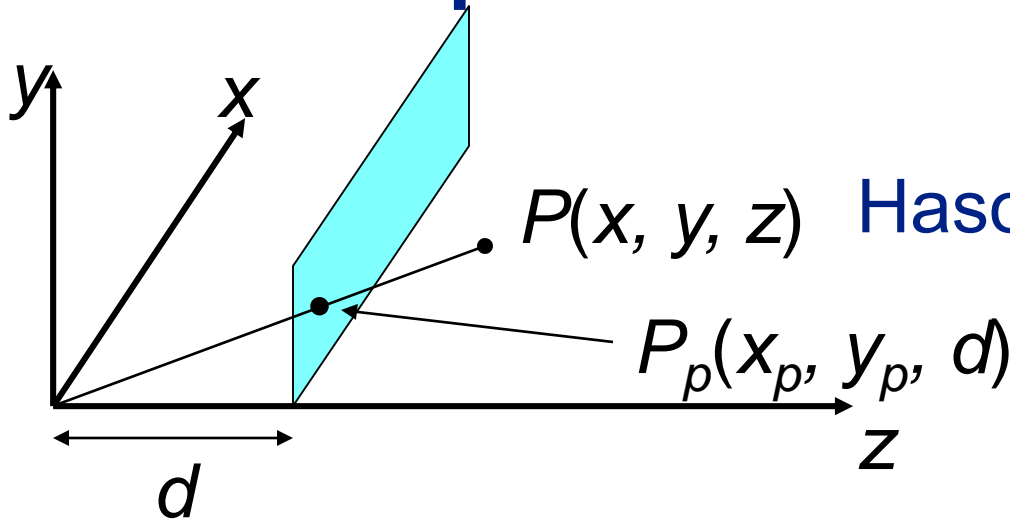
Perspektívikus vetítések /1

Az egyszerűség kedvéért tegyük fel hogy:

a) A vetítési sík merőleges a z-tengelyre $z = d$ -nél,
 $PRP = 0$



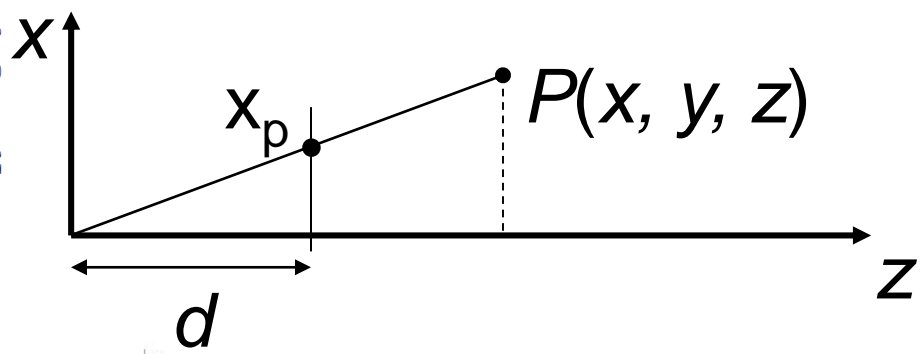
Perspektívikus vetítések /2



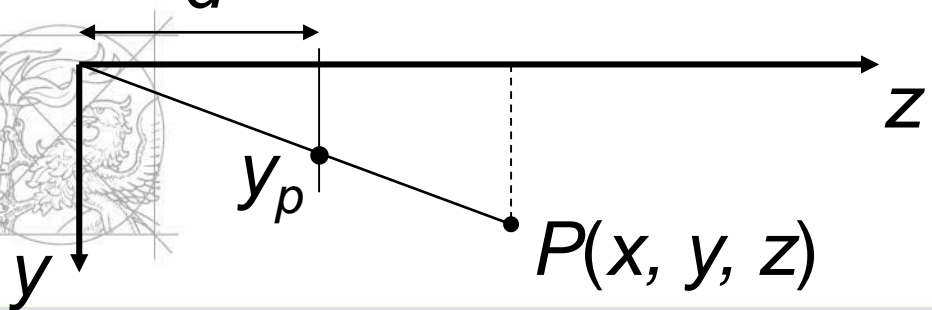
Hasonló háromszögekből:

$$\frac{x_p}{d} = \frac{x}{z}, \quad \frac{y_p}{d} = \frac{y}{z}, \quad z \neq 0$$

$$x_p = \frac{x}{z/d}, \quad y_p = \frac{y}{z/d}$$



vetületi síkok



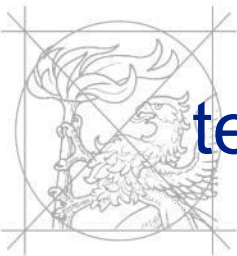
Perspektívikus vetítések /3

Hasonló háromszögekből:

$$\frac{x_p}{d} = \frac{x}{z}, \quad \frac{y_p}{d} = \frac{y}{z}, \quad z \neq 0,$$
$$x_p = \frac{x}{z/d}, \quad y_p = \frac{y}{z/d},$$

$$\begin{pmatrix} x \\ y \\ z \\ z/d \end{pmatrix} = \begin{pmatrix} \frac{x}{z/d} \\ \frac{y}{z/d} \\ d \\ 1 \end{pmatrix} \left. \vphantom{\begin{pmatrix} x \\ y \\ z \\ z/d \end{pmatrix}} \right\} P_p, \text{ mivel ez homogén koordináta,}$$

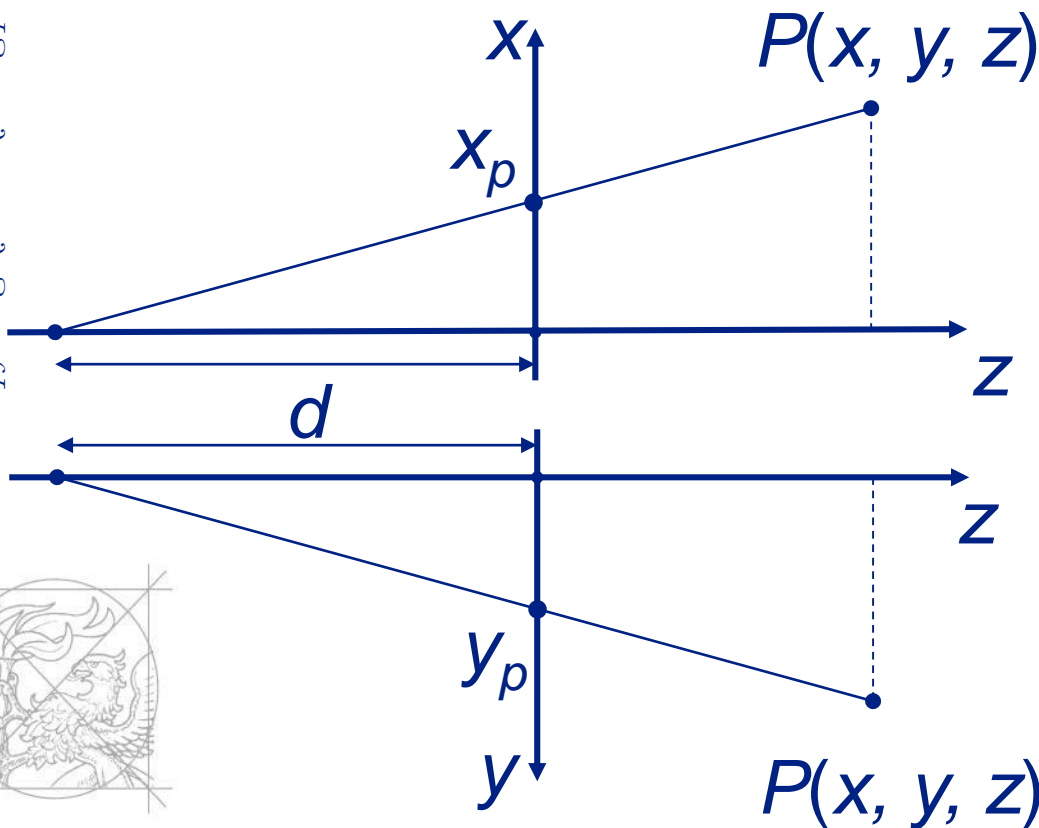
tehát $M_{per} = \begin{pmatrix} 1 & 0 & 0 & 0 \\ 0 & 1 & 0 & 0 \\ 0 & 0 & 1 & 0 \\ 0 & 0 & 1/d & 0 \end{pmatrix}$, mert $M_{per} \cdot \begin{pmatrix} x \\ y \\ z \\ 1 \end{pmatrix} = \begin{pmatrix} x \\ y \\ z \\ z/d \end{pmatrix}$



Perspektívikus vetítések /4

Más lehetőség

A vetítési sík merőleges a z-tengelyre $z = 0$ -ban



$$\frac{x_p}{d} = \frac{x}{z+d}, \quad \frac{y_p}{d} = \frac{y}{z+d},$$
$$x_p = \frac{x}{z/d+1}, \quad y_p = \frac{y}{z/d+1},$$



Perspektívikus vetítések /5

$$\frac{x_p}{d} = \frac{x}{z+d}, \quad \frac{y_p}{d} = \frac{y}{z+d},$$
$$x_p = \frac{x}{z/d+1}, \quad y_p = \frac{y}{z/d+1},$$

tehát

$$P'_{per} = \begin{pmatrix} \frac{x}{z/d+1} \\ \frac{y}{z/d+1} \\ 0 \\ 1 \end{pmatrix} = \begin{pmatrix} x \\ y \\ 0 \\ z/d+1 \end{pmatrix}$$

ezért

$$M'_{per} = \begin{pmatrix} 1 & 0 & 0 & 0 \\ 0 & 1 & 0 & 0 \\ 0 & 0 & 0 & 0 \\ 0 & 0 & 1/d & 1 \end{pmatrix}$$



Párhuzamos ortografikus vetítés

$$P = \begin{pmatrix} x \\ y \\ z \\ 1 \end{pmatrix} \xrightarrow{M_{\text{ort}}} \begin{pmatrix} x_p \\ y_p \\ z_p \\ 1 \end{pmatrix} = \begin{pmatrix} x \\ y \\ 0 \\ 1 \end{pmatrix} = P_p,$$

ahol

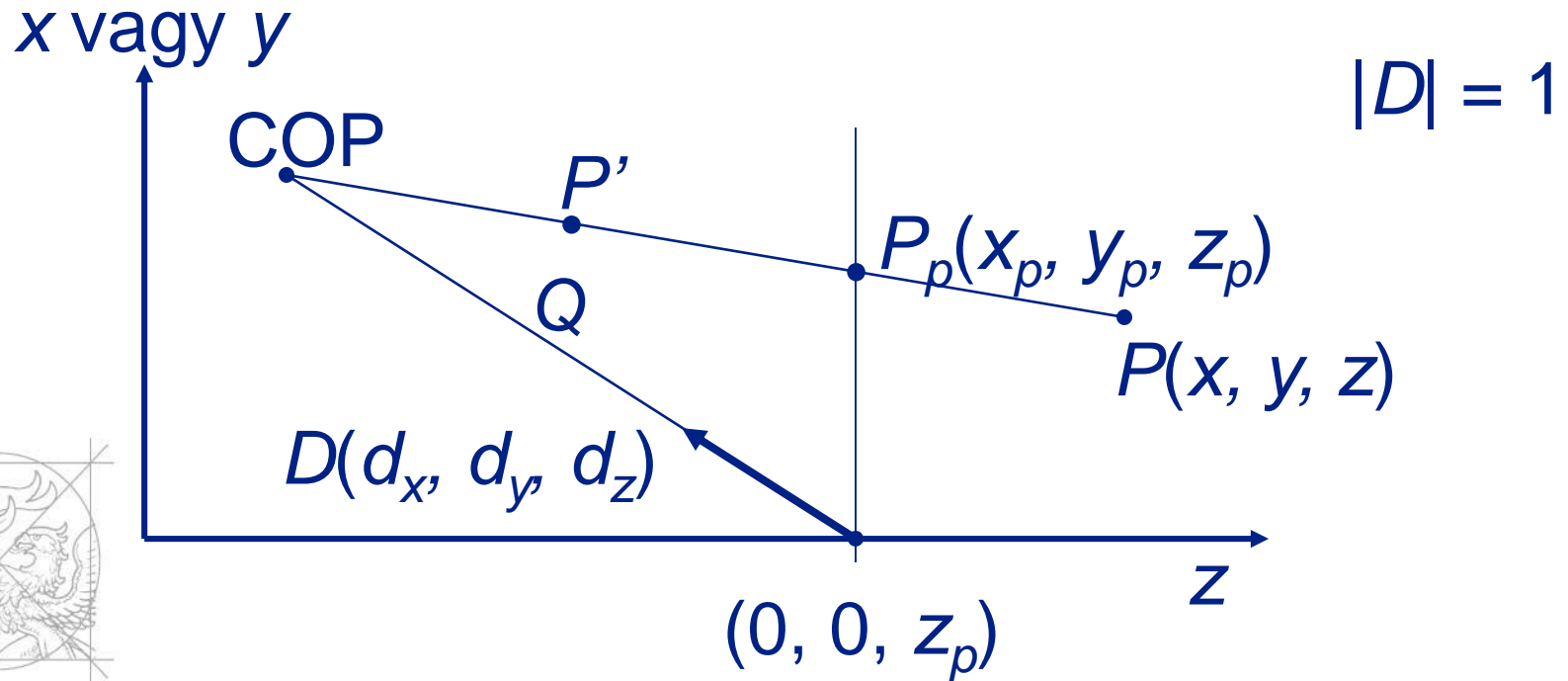
$$M_{\text{ort}} = \begin{pmatrix} 1 & 0 & 0 & 0 \\ 0 & 1 & 0 & 0 \\ 0 & 0 & 0 & 0 \\ 0 & 0 & 0 & 1 \end{pmatrix}$$

(határértéke M'_{per} -nek, $d \rightarrow \infty$).



Vetítések általános alakja /1

Vetítési sík \perp z-tengely, $z = z_p$ -ben,
COP Q távolságra van $(0, 0, z_p)$ -től



Vetítések általános alakja /2

Parametrikus alak:

$$P' = COP + t \cdot (P - COP), \quad t \in [0, 1]$$

másrészt

$$COP = (0, 0, z_p) + Q \cdot (d_x, d_y, d_z),$$

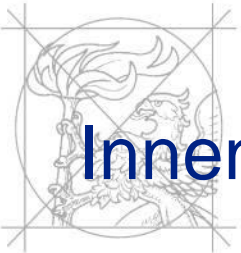
Így

$$x' = Q \cdot d_x + (x - Q \cdot d_x) \cdot t,$$

$$y' = Q \cdot d_y + (y - Q \cdot d_y) \cdot t,$$

$$z' = (z_p + Q \cdot d_z) + (z - (z_p + Q \cdot d_z)) \cdot t.$$

Innen $z' = z_p$ esetén $t = \frac{z_p - (z_p + Q \cdot d_z)}{z - (z_p + Q \cdot d_z)} = \frac{z - z_p}{z_p + Q \cdot d_z - z}$



Vetítések általános alakja /3

Behelyettesítve és átalakítva:

$$x' = x_p = \frac{x - z \cdot \frac{d_x}{d_z} + z_p \cdot \frac{d_x}{d_z}}{\frac{z_p - z}{Q \cdot d_z} + 1}, \quad y' = y_p = \frac{y - z \cdot \frac{d_y}{d_z} + z_p \cdot \frac{d_y}{d_z}}{\frac{z_p - z}{Q \cdot d_z} + 1}$$

$$z' = z_p = \frac{-z \cdot \frac{z_p}{Q \cdot d_z} + \frac{z_p^2 + z_p \cdot Q \cdot d_z}{Q \cdot d_z}}{\frac{z_p - z}{Q \cdot d_z} + 1}$$



Vetítések általános alakja /4

Így

$$M_{\text{ált}} = \begin{pmatrix} 1 & 0 & \frac{-d_x}{d_z} & z_p \cdot \frac{d_x}{d_z} \\ 0 & 1 & \frac{-d_y}{d_z} & z_p \cdot \frac{d_y}{d_z} \\ 0 & 0 & \frac{-z_p}{Q \cdot d_z} & \frac{z_p^2}{Q \cdot d_z} + z_p \\ 0 & 0 & \frac{-1}{Q \cdot d_z} & \frac{z_p}{Q \cdot d_z} + 1 \end{pmatrix}$$

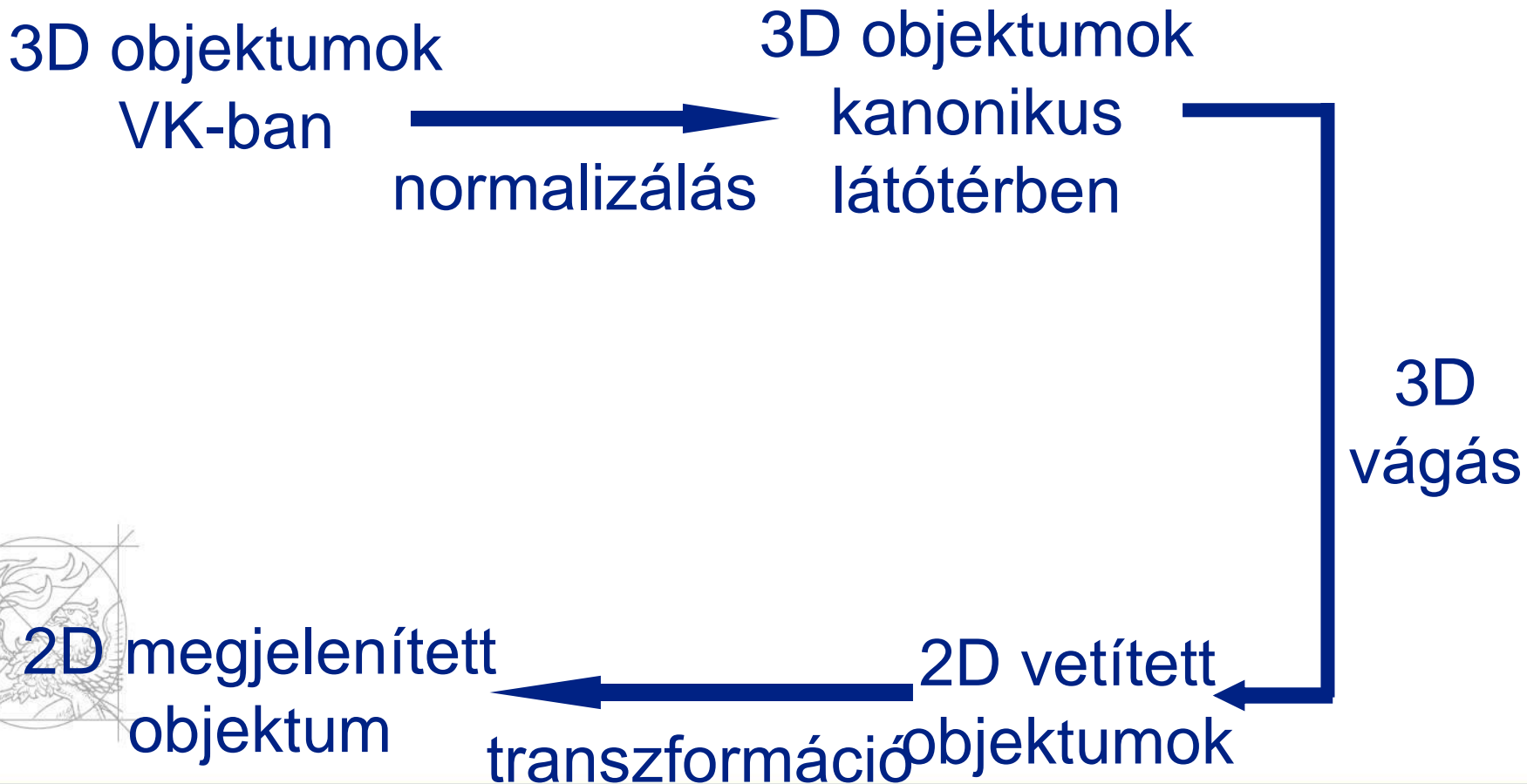
Tartalmazza M_{per} , M'_{per} és M_{ort} -ot (még többet is).

Pl.:

$$M_{\text{ort}}: z_p=0, Q=\infty, (d_x, d_y, d_z)=(0, 0, -1)$$



3D megjelenítés implementálása /1



3D megjelenítés implementálása /2

A 3D vágás drága művelet, ezért érdemes előtte a 3D objektumokat egy u.n. kanonikus látótérbe transzformálni (normalizálás), ahol a vágás egyszerűbb és gyorsabb.

Kanonikus látótérek síkjai:

$$x = -1,$$

$$x = 1$$

$$x = z,$$

$$x = -z$$

$$y = -1,$$

$$y = 1$$

$$y = z,$$

$$y = -z$$

$$z = 0,$$

$$z = -1$$

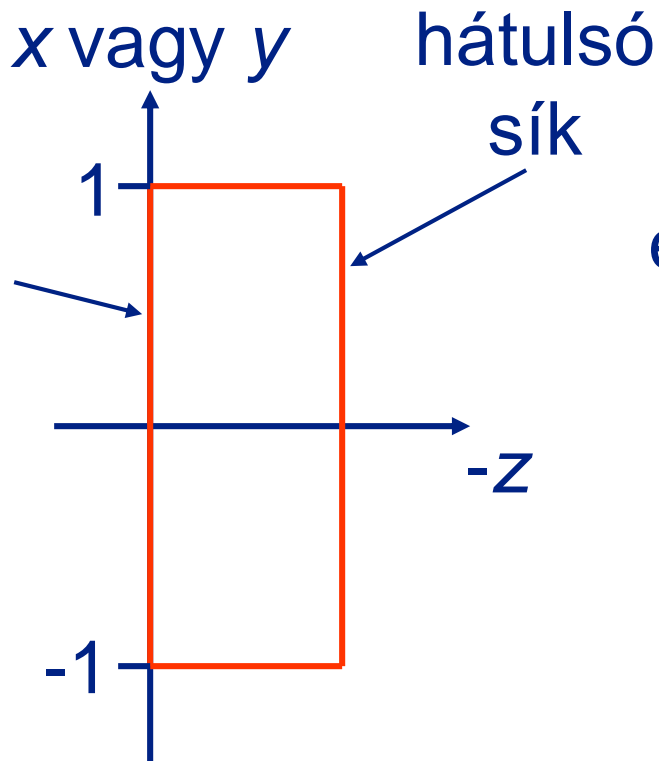
$$z = -z_{min},$$

$$z = -1$$

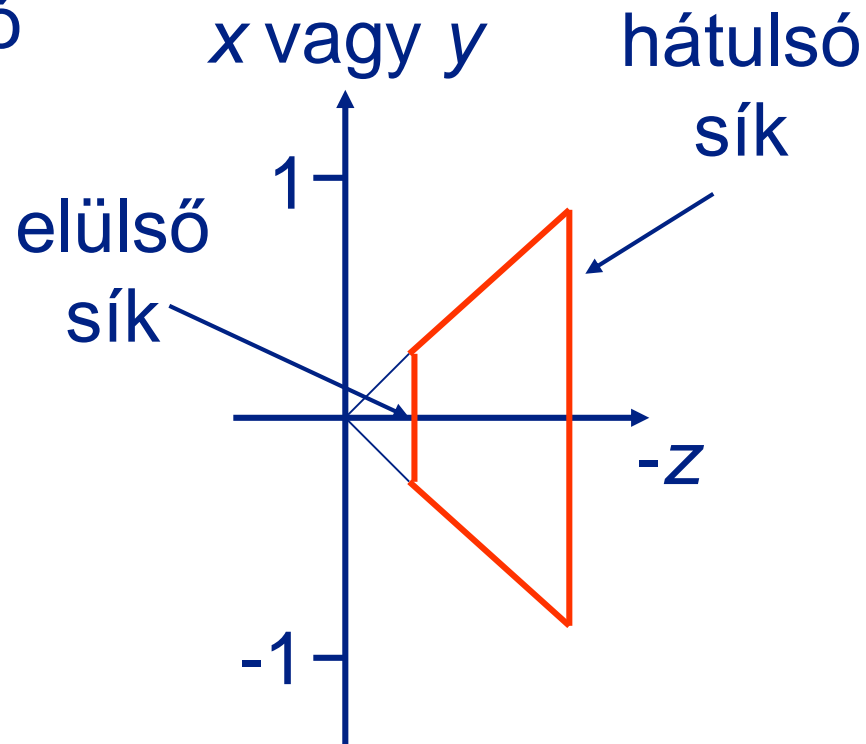
3D megjelenítés implementálása /3



elülső
vágási
sík



párhuzamos
vetítésnél



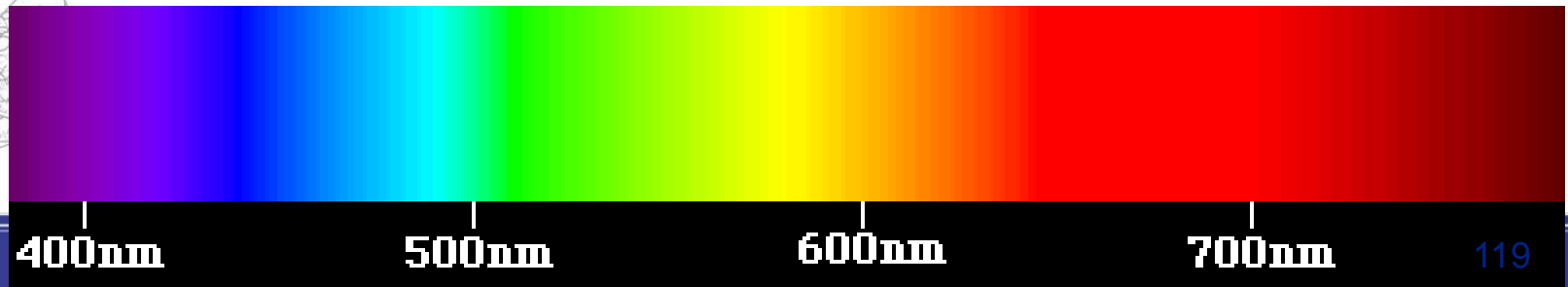
perspektív
vetítésnél



5. SZÍNMODELLEK

A látható színek összehasonlítása

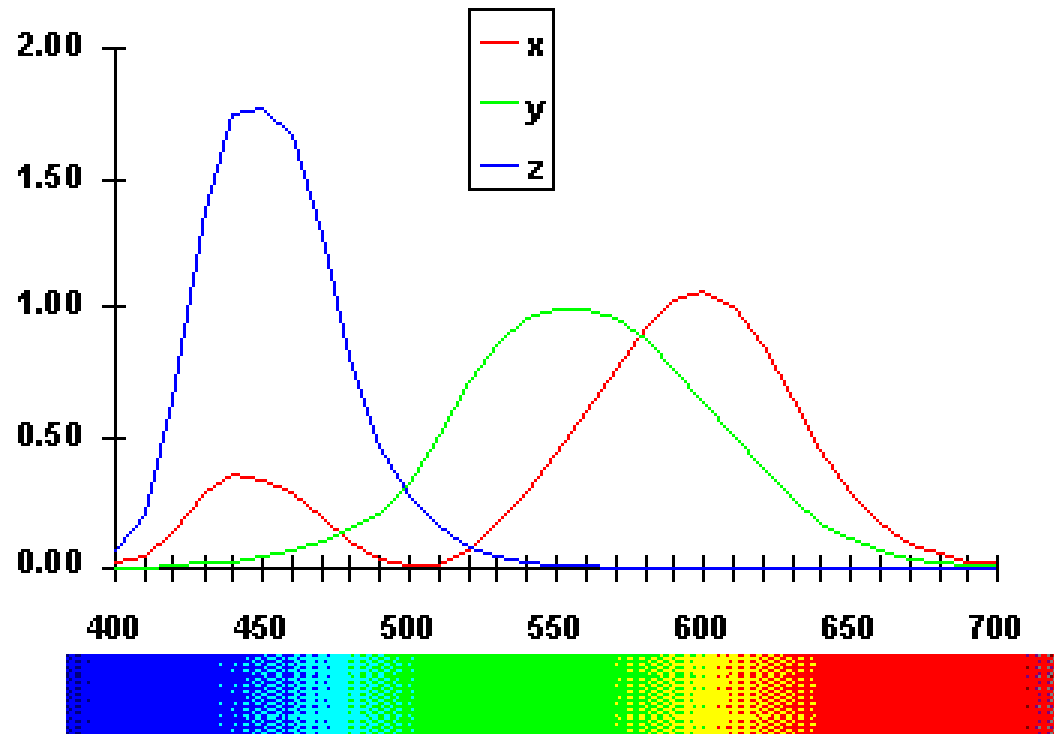
Név	Alias	Jel	Hullámhossz	Szín	Arány
rho	vörös	r	590 nm	sárga-narancs	30%
gamma	zöld	g	550 nm	sárgás zöld	60%
beta	kék	b	440 nm	kék ibolya	10%





CIE 1931 - 2° standard observer

Tristimulus values of the spectral colours



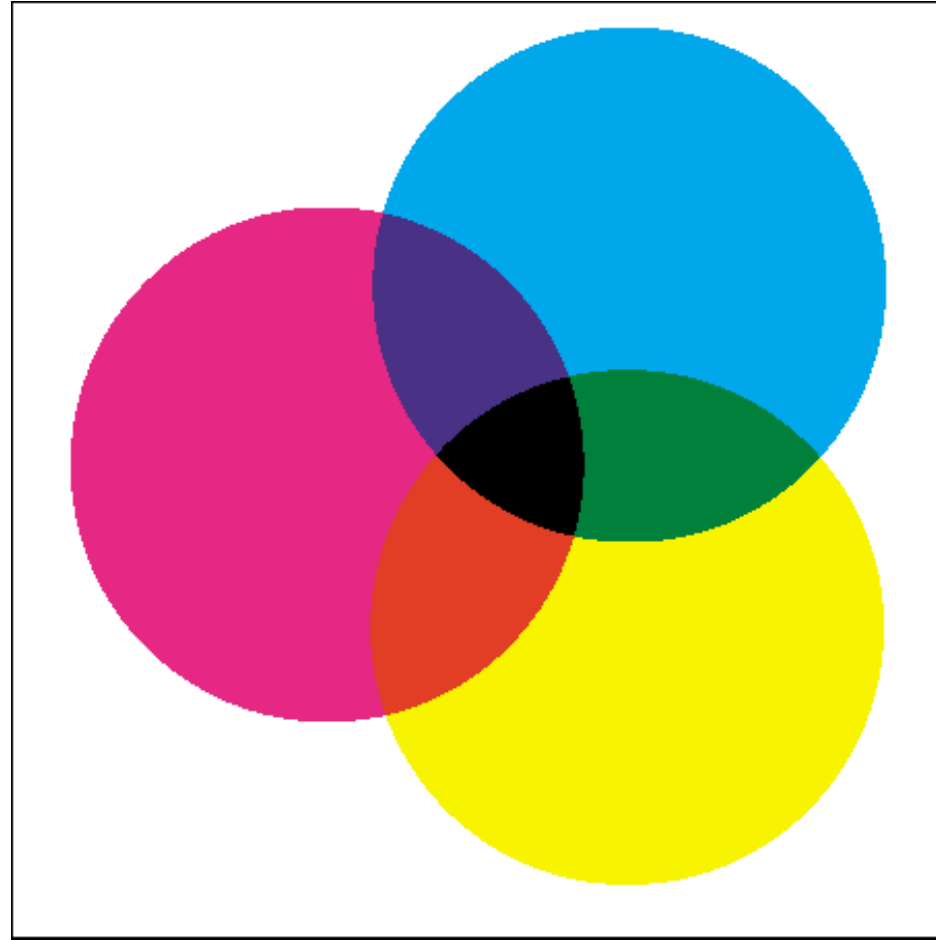


Összeadó színkeverés



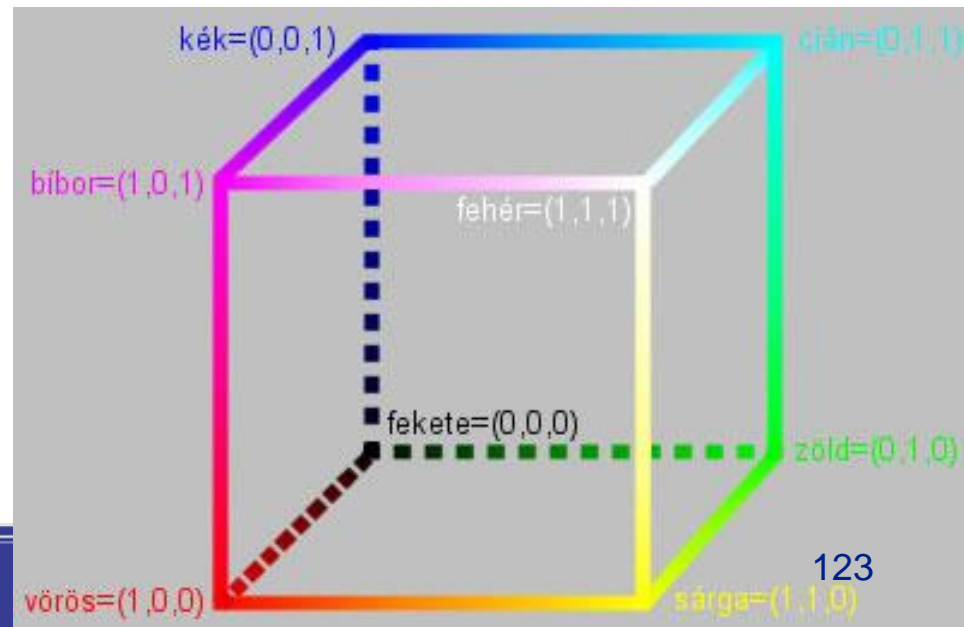


Kivonó színkeverés



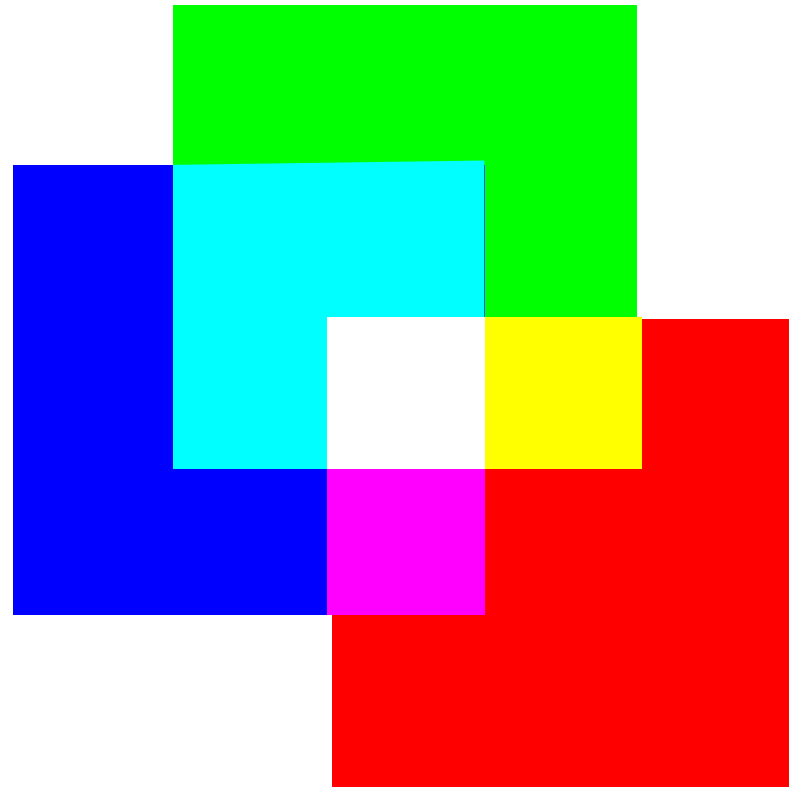
RGB (Red, Green, Blue – vörös, zöld, kék)

- **Additív** komponensek: Alkalmas súlyokkal vett összegük ad egy összetett színt
- Pl. színes képernyőnél



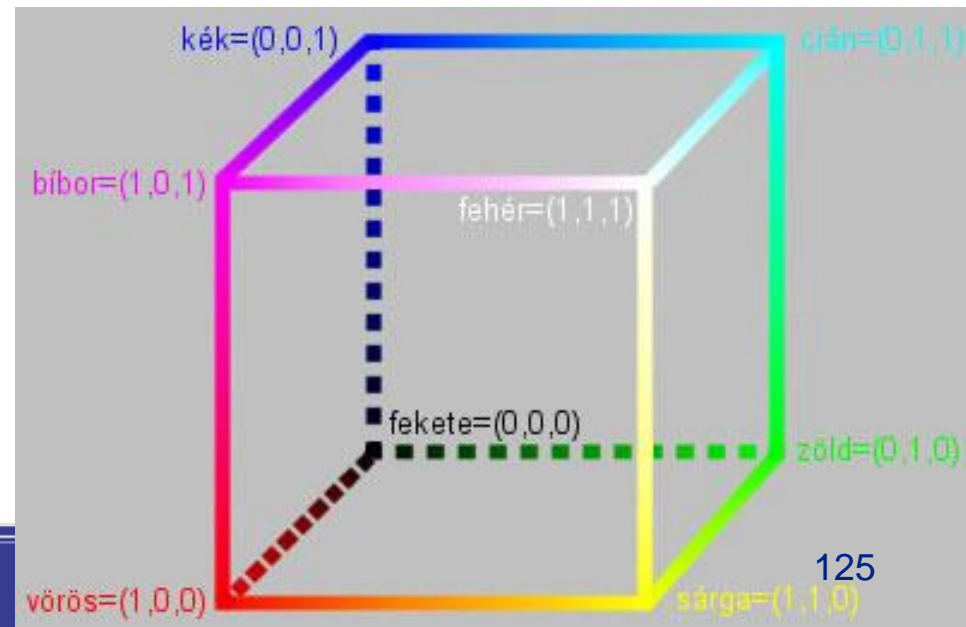
RGB (Red, Green, Blue – vörös, zöld, kék)

- Vörös
- Zöld
- Kék
- Cián
- Sárga
- Bíbor



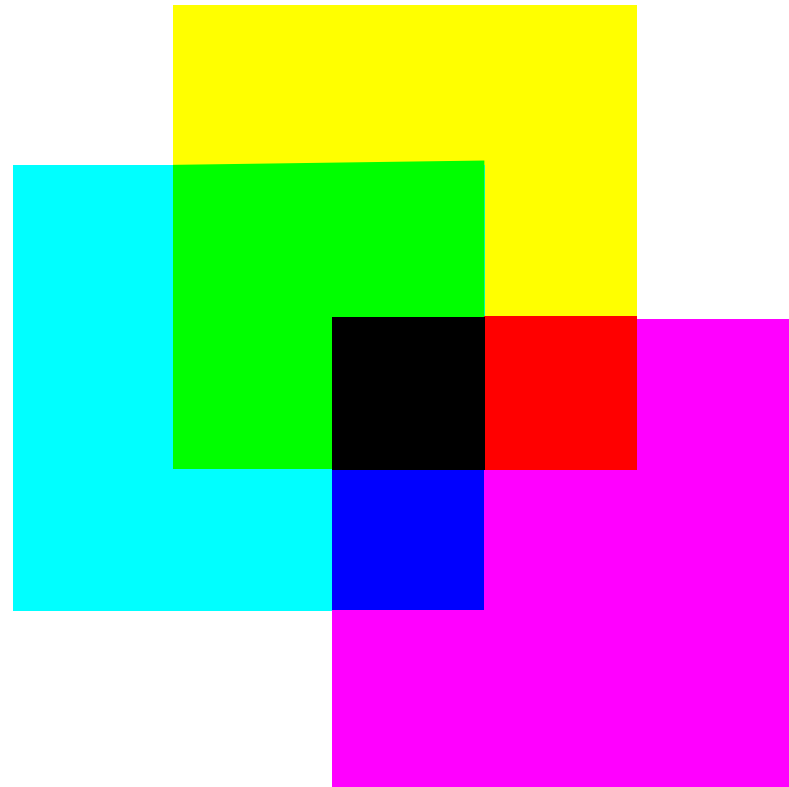
CMY (Cyan, Magenta, Yellow – türkiz, bíbor, sárga)

- **Szubtraktív** komponensek: Sokszor szűrőként használjuk, hogy kiszűrjék a fehérből a megfelelő színt
- Pl. színes nyomtatóknál



CMY (Cyan, Magenta, Yellow – türkiz, bíbor, sárga)

- Türkiz
- Bíbor
- Sárga
- Vörös
- Zöld
- Kék
- Fekete



CMY (Cyan, Magenta, Yellow – türkiz, bíbor, sárga)

Konverzió:

$$\begin{bmatrix} C \\ M \\ Y \end{bmatrix} = \begin{bmatrix} 1 \\ 1 \\ 1 \end{bmatrix} - \begin{bmatrix} R \\ G \\ B \end{bmatrix}$$

RGB → **CMY**

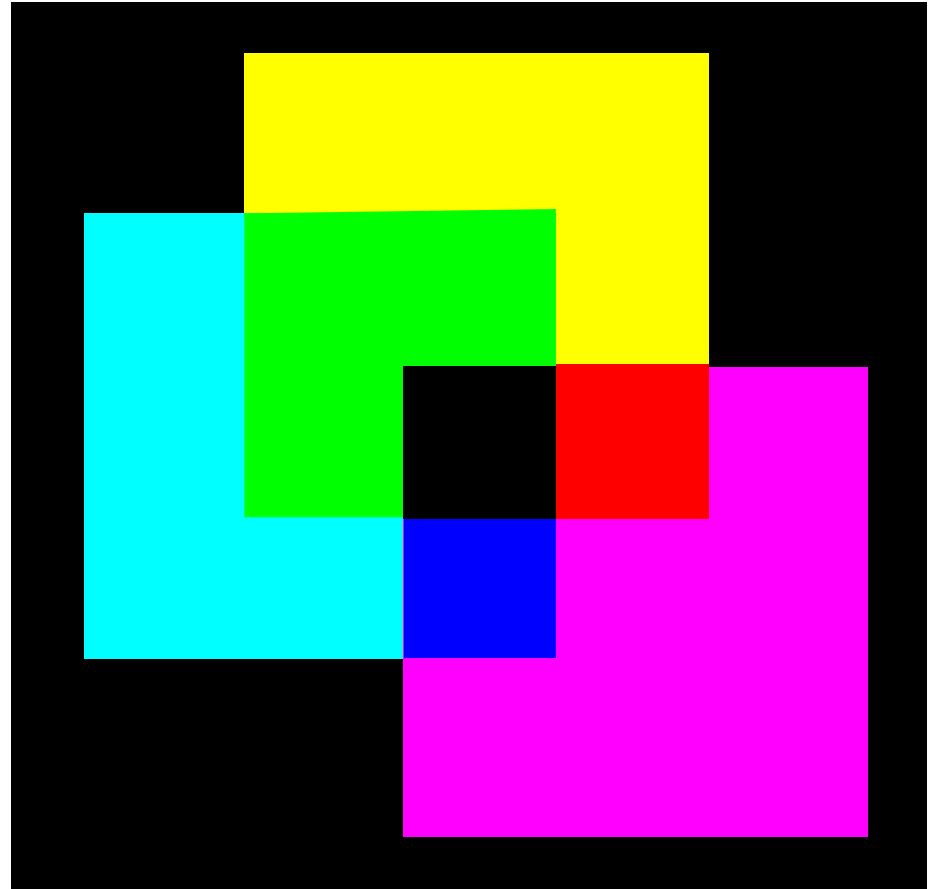
$$\begin{bmatrix} R \\ G \\ B \end{bmatrix} = \begin{bmatrix} 1 \\ 1 \\ 1 \end{bmatrix} - \begin{bmatrix} C \\ M \\ Y \end{bmatrix}$$

RGB ← **CMY**



CMYK (Cyan, Magenta, Yellow, Black - Key : fekete)

- Türkiz
- Bíbor
- Sárga
- Vörös
- Zöld
- Kék
- Fekete



CMYK (Cyan, Magenta, Yellow, Black - Key : fekete)

CMY → CMYK konverzió:

$$K = \min \{C, M, Y\}$$

$$C = C - K$$

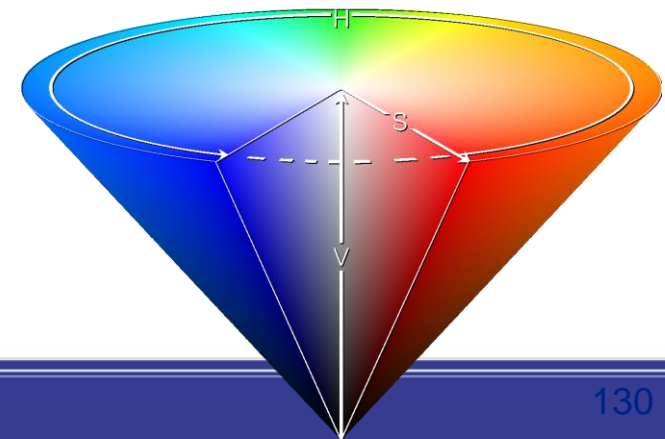
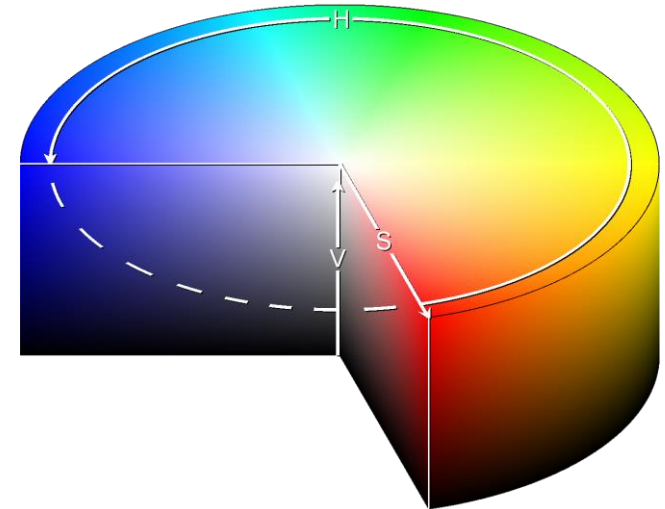
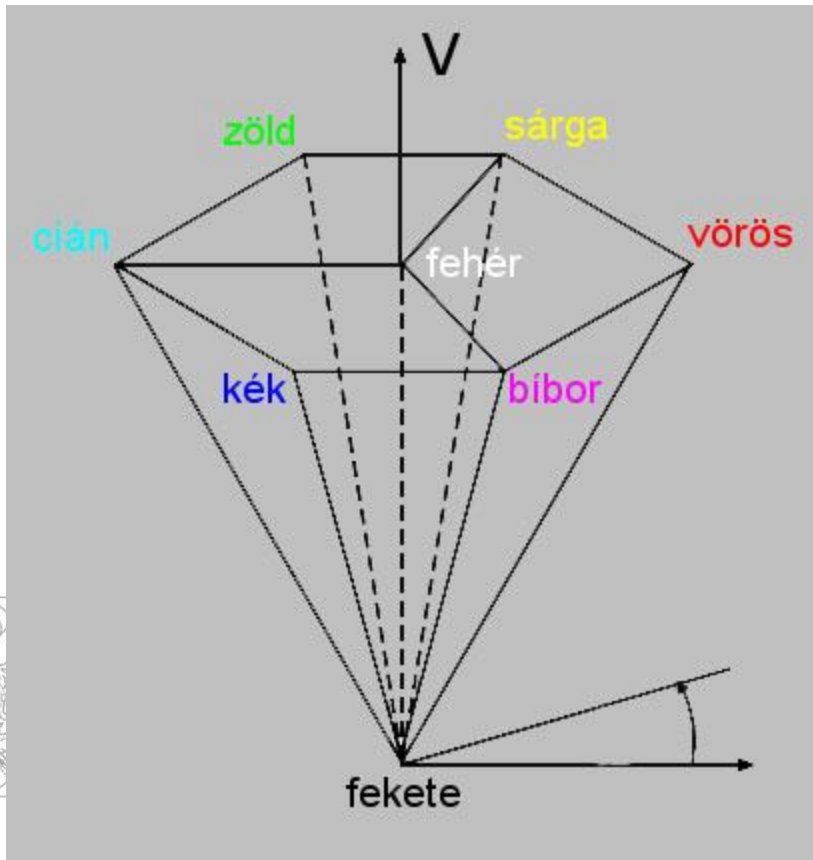
$$M = M - K$$

$$Y = Y - K$$



HSV (Hue, Saturation, Value – árnyalat, telítettség, fényesség)

Esztétikai alapú (ahogy a festők keverik a színeket)





6. ÁRNYALÁS, A MEGVILÁGÍTÁS MODELLJEI

Világító tárgyak

- Minden tárgynak saját intenzitású fénye van
- A megvilágítás egyenlete:
$$I = k_i$$
- k_i - a tárgy saját fényének az intenzitása
- független a pont helyzetétől



Környezeti (szórt - ambient) fény

- Minden irányból egyenletes
- A megvilágítás egyenlete:

$$I = I_a k_a$$

- I_a : környezeti fény intenzitása
- k_a : a környezeti fény visszaverődési együtthatója (anyagtól függ), $0 \leq k_a \leq 1$



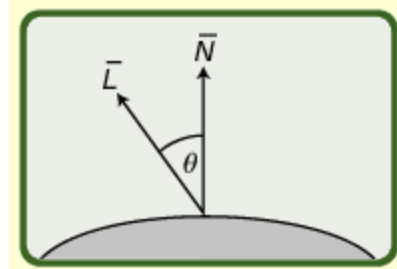
Diffúz (diffuse) visszaverődés

- Lambert-féle visszaverődés
- Minden irányban ugyanannyi fényt ver vissza
- A felület fényessége (I) függ a fényforrás iránya (L) és a felület normálisa (N) közötti szögtől:

- N , L egységvektorok

$$I = I_p k_d \cos \Theta = I_p k_d (N L)$$

- I_p : a pontforrás intenzitása
- k_d : a szórt visszaverődés együtthatója (anyagtól függ), $0 \leq k_d \leq 1$



Környezeti fény és diffúz visszaverődés együtt

$$I = I_a k_a + I_p k_d (N L)$$

- Ha a fényforrás és a tárgy közötti távolságot (d_L) is figyelembe vesszük, akkor:

$$I = I_a k_a + I_p / d_L^2 k_d (N L)$$

$$\underbrace{\quad} = f_{att}$$

- (fényelnyelődési faktor)



Színes fény és felületek

- Színes fény és felületek esetén a komponensekre:

$$I_R = I_{aR} k_a O_{dR} + f_{att} I_{pR} k_d O_{dR} (N L)$$

$$I_G = \dots$$

$$I_B = \dots$$

- O_{dR} a tárgy szórt vörös komponense
- I_{pR} a megvilágítás vörös komponens
- $k_d O_{dR}$ visszaverődési hányad komponense
- ...

- Általában:

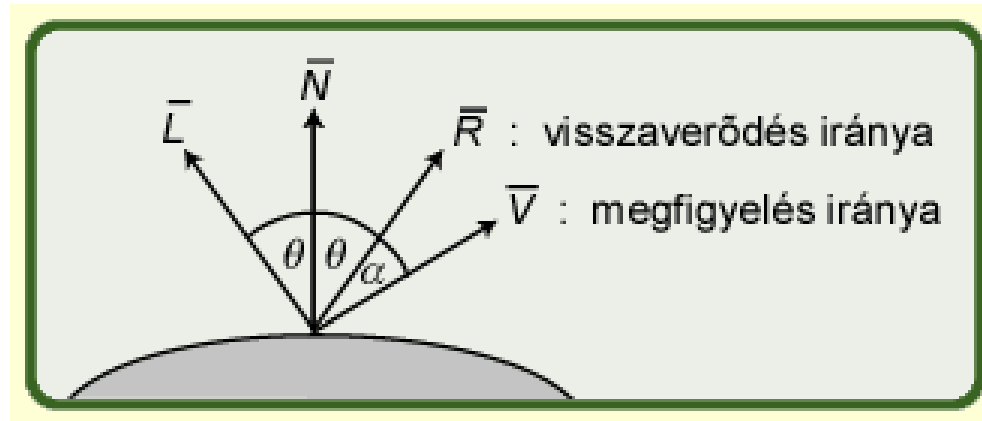
$$I_\lambda = I_{a\lambda} k_a O_{d\lambda} + f_{att} I_{p\lambda} k_d O_{d\lambda} (N L)$$

- ahol λ a hullámhossz



Tükröző (specular) visszaverődés

- Fényes felületekről (tükörről)



Tükröző (specular) visszaverődés

- Phong-féle modell:

$$I_{\lambda} = I_{a\lambda} k_a O_{d\lambda} + f_{att} I_{p\lambda} [k_d O_{d\lambda} \cos\theta + W(\theta) \cos^n\alpha]$$

- n: a tükrözési visszaverődés kitevője (csillogás)
- (tompá) $1 \leq n \leq 1000$ (éles fény)
- $W(\theta)$: a tükrözötten visszaverődő fény hányada, lehet konstans, k_s ($0 \leq k_s \leq 1$)

Tükröző (specular) visszaverődés

- A tárgy anyagát is figyelembe véve:

$$I_{\lambda} = I_{a\lambda} k_a O_{d\lambda} + f_{att} I_{p\lambda} [k_d O_{d\lambda} (N L) + k_s O_{s\lambda} (R V)^n]$$

- Több fényforrásra:

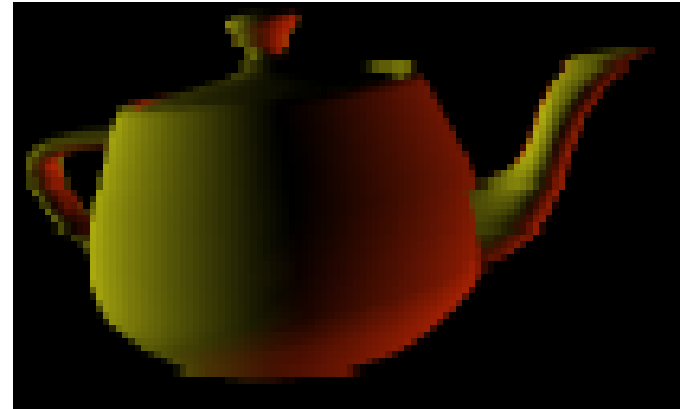
$$I_{\lambda} = I_{a\lambda} k_a O_{d\lambda} + \sum f_{att} I_{p\lambda} [k_d O_{d\lambda} (N L) + k_s O_{s\lambda} (R V)^n]$$



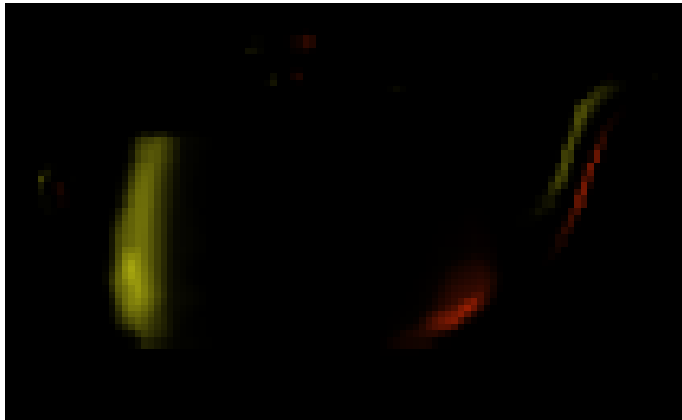
Megvilágítási modellek (példa)



szórt



diffúz



tükröző, csillogás = 20



szórt + diffúz + tükröző



Poligonokból álló felületek fényességének meghatározása

- Minden pontban kiszámítjuk a megvilágítási egyenlet szerinti intenzitást (nagyon drága módszer)



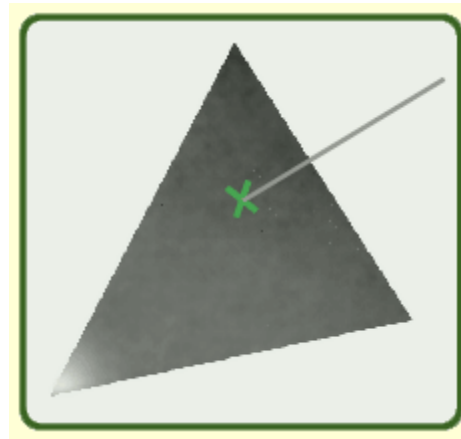
Konstans fényesség

- Az egész poligon ugyanolyan intenzitású
- Jó, ha:
 - végtelen távoli fényforrás (N L konstans)
 - végtelen távoli megfigyelő (R V konstans)
 - poligon oldalú felület



Interpolált fényesség

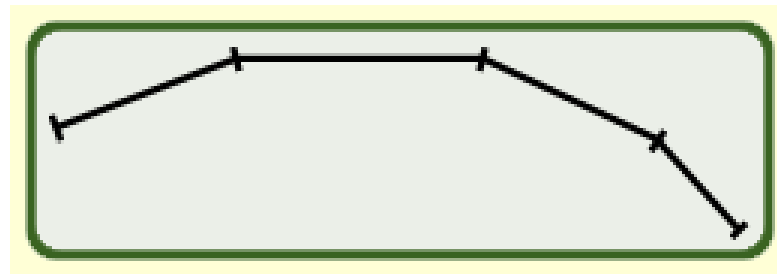
- Az intenzitást a csúcsokban számított intenzitásból kapjuk interpolációval





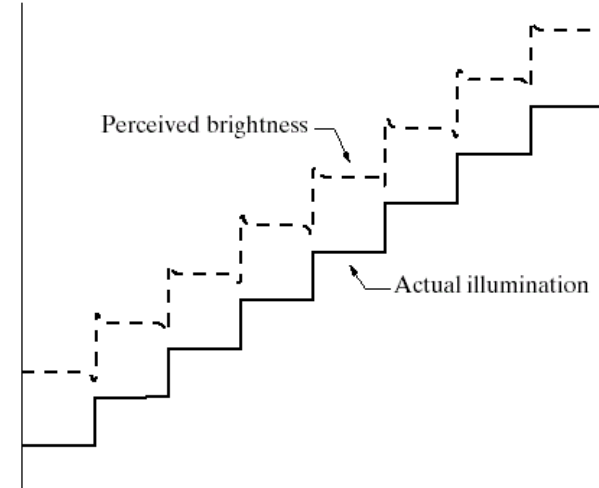
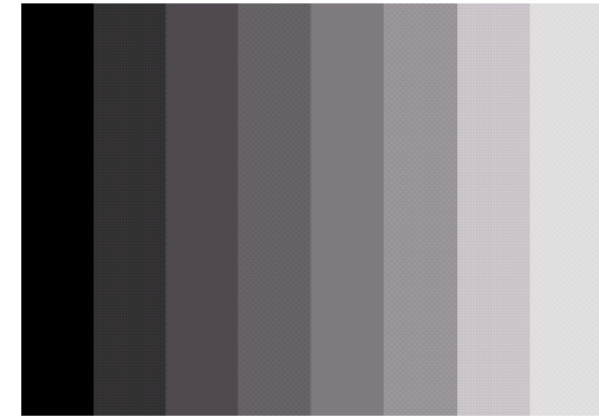
Poligon-hálózat fényessége

- Az egyes poligonok konstans fényessége csak kiemelné a poligonok közötti éleket



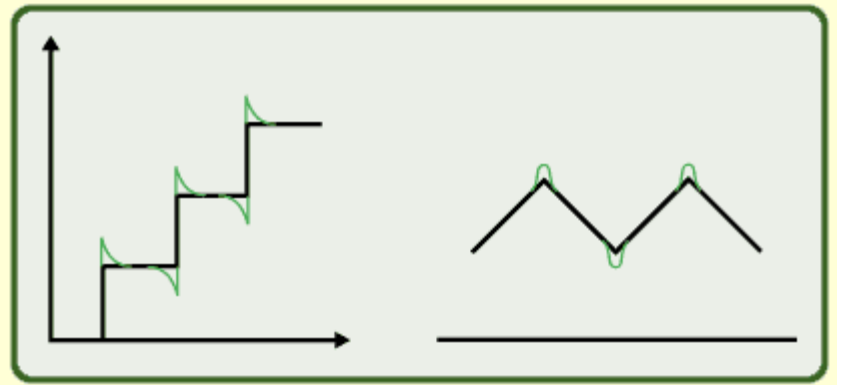
Mach-féle hatás

- Az intenzitás változását eltúlozva érezzük ott, ahol az intenzitás folytonossága megszűnik



Poligon-hálózat fényessége

- Mach-hatás



- Megoldás:

– minden poligon fényességét változó intenzitásúnak generáljuk

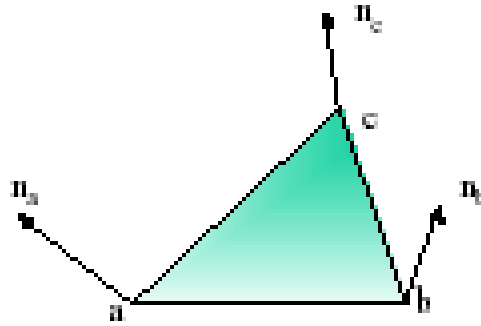


Gouraud-féle fényesség

1. A poligonok normálisait ismerve határozzuk meg a csúcspontok normálisait (pl. az ott érintkező poligonok normálisainak átlagaként)
2. Számoljuk ki az intenzitásokat a csúcspontokban (itt a normális már ismert)
3. Az élek mentén lineáris interpolációval számoljuk az intenzitást
4. Az élek között (a pásztázó vonalak mentén) lineáris interpolációval számoljuk az intenzitást



Gouraud-féle fényesség

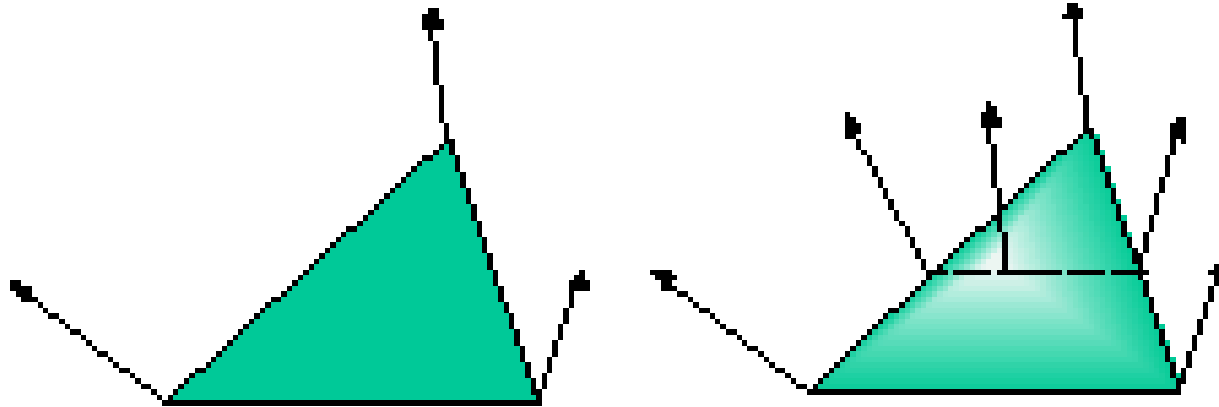


Phong-féle fényesség

1. A normálvektorokat számoljuk ki a csúcspontokban
2. Interpolációval a csúcspontok között az élek mentén a normálvektorokat
3. Interpolációval az élek között
4. Intenzitás számítása

Sokszor jobb, mint a Gouraud-féle módszer

Gouraud v. Phong-féle fényesség



Gouraud

Phong



Phong- és Gouraud-féle fényesség

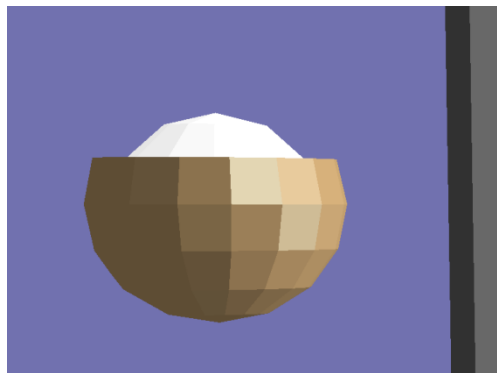
Konstans

Gouraud

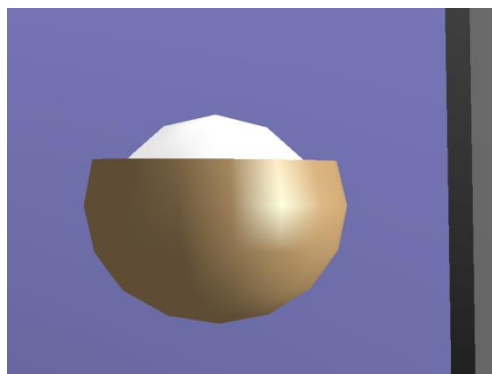
Phong



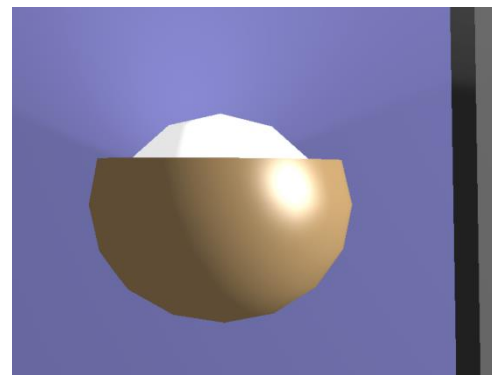
Példák



Konstans



Gouraud



Phong



Példák



szórt



Phong (szórt + diffúz)



Phong (szórt + diffúz + tükröző)

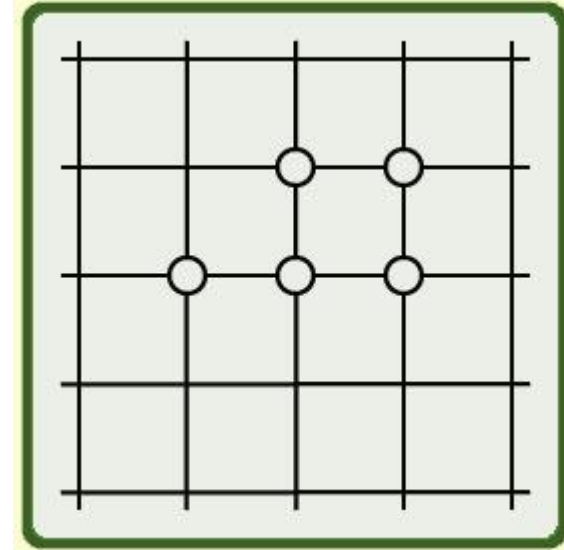




7. VONALAS PRIMITÍVEK RASZTERIZÁLÁSA

Algoritmusok raszteres grafikháoz

- Feladat
 - grafikai primitíveket (pl. vonalat, síkidomot) ábrázolni kép-mátrixszal, meghatározni azokat a képpontokat, amelyek a primitív pontjai, vagy közel vannak a primitívhez
- Modell
 - képpont (= körlap), amely a négyzetháló csúcspontjaiban helyezhető el
 - a koordináták egész számok



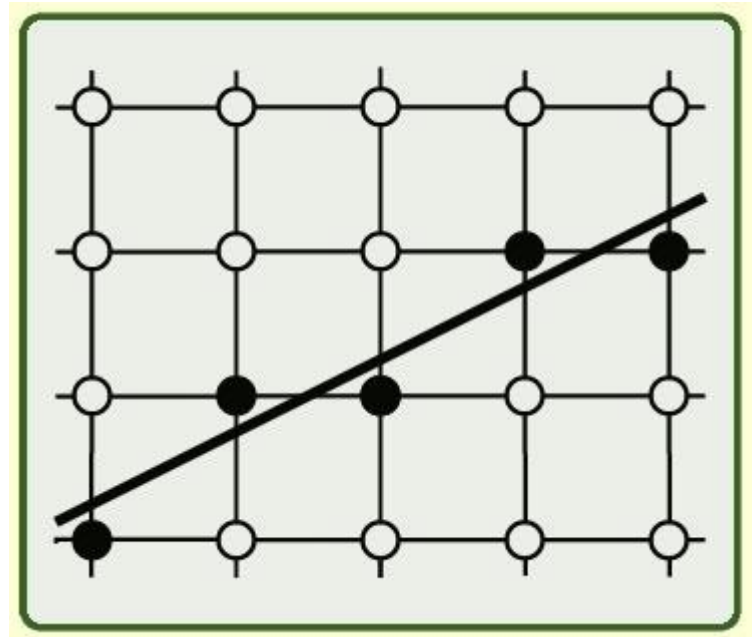
Egyenes rajzolása

- Tegyük fel, hogy "vékony" egyenes:

$$y = mx + b$$

- A meredeksége:
 $0 < m < 1$
- ($m = 0, 1, \dots$ triviális speciális esetek)
- más esetekben visszavezetjük az $0 < m < 1$ esetre

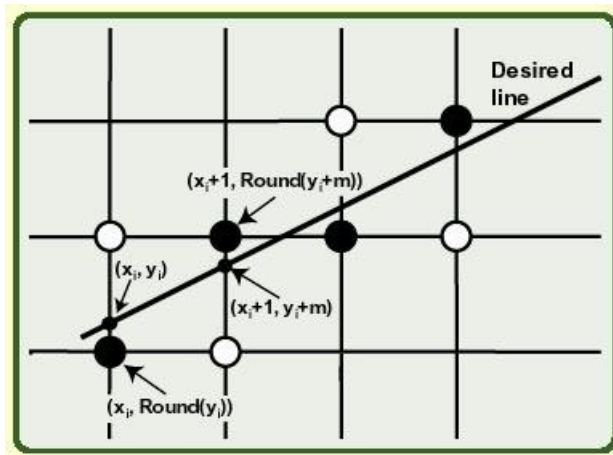
- Legyen:
 $x_0 < x_1, y_0 < y_1$



Alap inkrementális algoritmus

- Haladjunk $\Delta x = 1$ növekménnyel balról jobbra, válasszuk a legközelebbi képpontot:

$$(x_i, [y_i+0.5]) = (x_i, [mx_i+b+0.5])$$



- A szorzás kiküszöbölhető inkrementálással:

$$y_{i+1} = mx_{i+1} + b = m(x_i + \Delta x) + b = y_i + m \cdot \Delta x = y_i + m$$

Program

(ha $|m| > 1$, akkor x -et cseréljük y -nal)

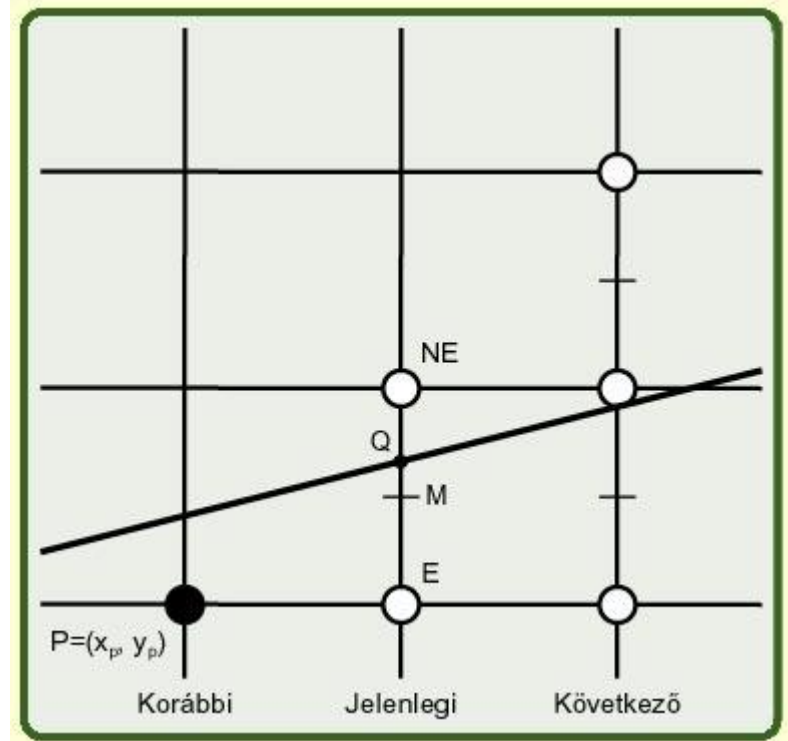
```

procedure Line(x0,y0, x1,y1, value: integer);
var x : integer;
    dy,dx,y,m : real;
begin
    dy := y1-y0; dx := x1-x0;
    m := dy/dx; y := y0;
    for x := x0 to x1 do
        begin
            WritePixel(x, Round(y), value);
            y := y+m
        end
    end; {Line}
    
```



Felezőpont algoritmus egyenesre

- Egész aritmetika elegendő (Bresenham)
- Elv: Azt a képpontot válasszuk NE és E közül, amelyik közelebb van a Q metszésponthoz
- Másképp: az döntsön a választásban, hogy Q az M felezőpont melyik oldalán van
- Tegyük fel, hogy:
 $x_0 < x_1$, $y_0 < y_1$



Felezőpont algoritmus egyenesre

- Az (x_0, y_0) és (x_1, y_1) ponton átmenő egyenes egyenlete:
$$(x - x_0) / (y - y_0) = (x_1 - x_0) / (y_1 - y_0)$$

- Legyen

$$dx = x_1 - x_0 (> 0),$$

$$dy = y_1 - y_0 (> 0),$$

- akkor:

$$x dy - y dx + y_0 dx - x_0 dy = 0$$

- Legyen:

$$F(x,y) = x dy - y dx + y_0 dx - x_0 dy$$

$$F(x,y) \begin{cases} > 0, & \text{ha az egyenes } (x, y) \text{ fölött fut,} \\ = 0, & \text{ha } (x, y) \text{ az egyenesen van,} \\ < 0, & \text{ha az egyenes } (x, y) \text{ alatt fut.} \end{cases}$$



Felezőpont kritérium

$$d = F(M) = F(x_p+1, y_p+1/2) \begin{cases} > 0, M \text{ fölött,} \\ = 0, M\text{-en át,} \\ < 0, M \text{ alatt} \end{cases} \begin{array}{l} \text{az egyenes} \\ \text{választás:} \\ \mathbf{NE} \\ \mathbf{NE} \text{ vagy } \mathbf{E} \\ \mathbf{E} \end{array}$$

(d : döntési változó) fut

A következő pontnál:

ha **E**-t választottuk, akkor

$$\Delta_E = d_{új} - d_{régi} = F(x_p+2, y_p+1/2) - F(x_p+1, y_p+1/2) = dy,$$

ha **NE**-t választottuk, akkor

$$\Delta_{NE} = F(x_p+2, y_p+3/2) - F(x_p+1, y_p+1/2) = dy - dx$$



Felezőpont algoritmus egyenesre

- Kezdés:

$$\begin{aligned}d_{\text{start}} &= F(x_0+1, y_0+1/2) = F(x_0, y_0) + dy - dx/2 \\ &= dy - dx/2\end{aligned}$$

- Azért, hogy egész aritmetikával számolhassunk, használjuk inkább az alábbi függvényt

$$F(x, y) = 2 \cdot (x \cdot dy - y \cdot dx + y_0 \cdot dx - x_0 \cdot dy)$$



Program

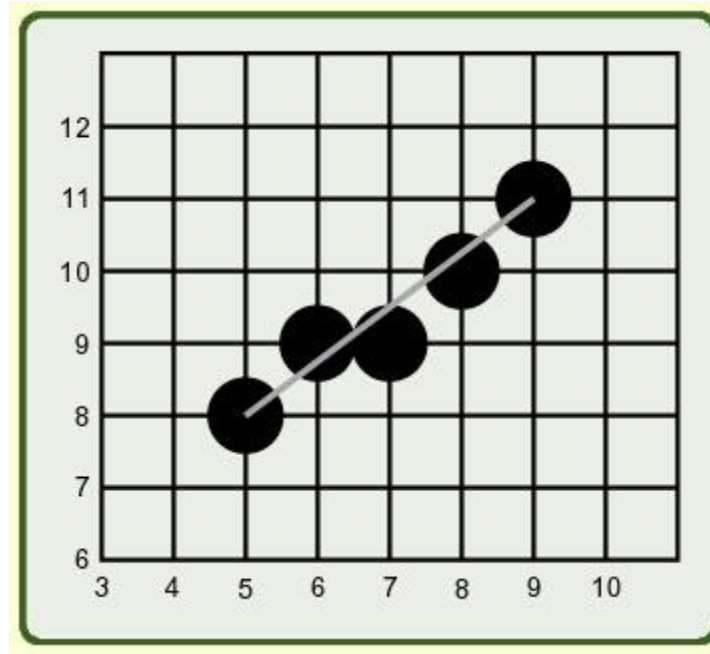
```

procedure MidpointLine (x0,y0,x1,y1,value: integer);
var dx,dy,incrE,incrNE,d,x,y : integer;
begin
  dx := x1-x0; dy := y1-y0; d := 2*dy-dx;
  incrE := 2*dy; incrNE := 2*(dy-dx);
  x := x0; y := y0;
  WritePixel(x,y,value);
  while x < x1 do begin
    if d <= 0 then begin
      x := x + 1; d := d + incrE;
    end
    else begin
      x := x + 1; y := y + 1; d := d + incrNE;
    end;
    WritePixel(x,y,value)
  end {while}
end; {MidpointLine}
  
```



Tulajdonságok

- csak összeadás és kivonás
- általánosítható körre, ellipszisre





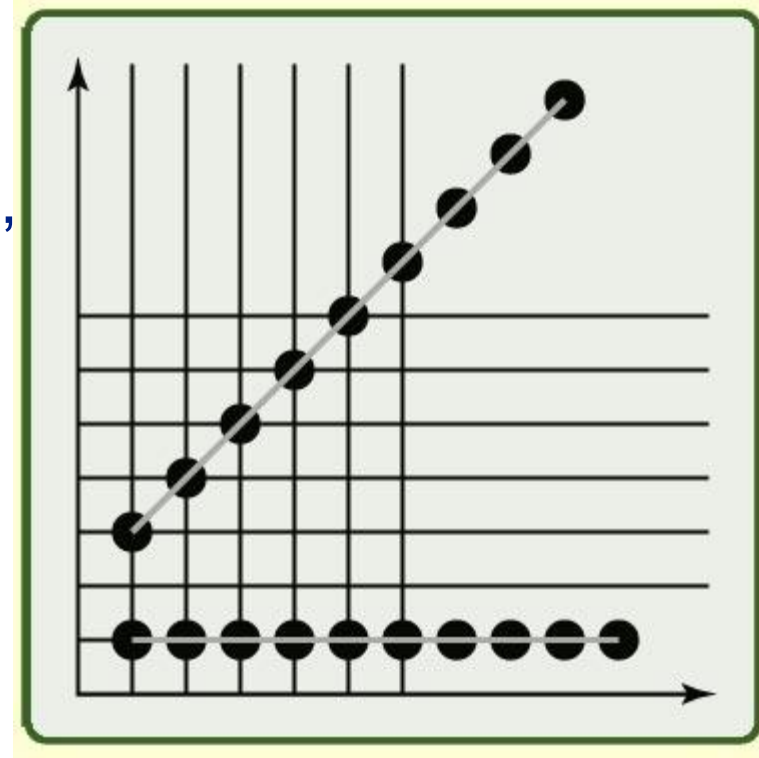
1. probléma

- Különböző pontsorozat lesz az eredmény ha balról jobbra, vagy ha jobbról balra haladunk.
 - Legyen a választás:
 - balról jobbra: $d = 0 \rightarrow$ E-t választani
 - jobbról balra: $d = 0 \rightarrow$ SW-t választani
 - Megjegyzés:
 - Nem mindig lehet csak balról jobbra haladva rajzolni az egyeneseket.
Pl. szaggatott vonallal rajzolt zárt poligon



2. probléma

- A vonal pontjainak a sűrűsége függ a meredekségétől
 - Megoldás:
 - intenzitás változtatása,
 - kitöltött téglalapnak tekinteni az egyenes pontjait



Kör rajzolása

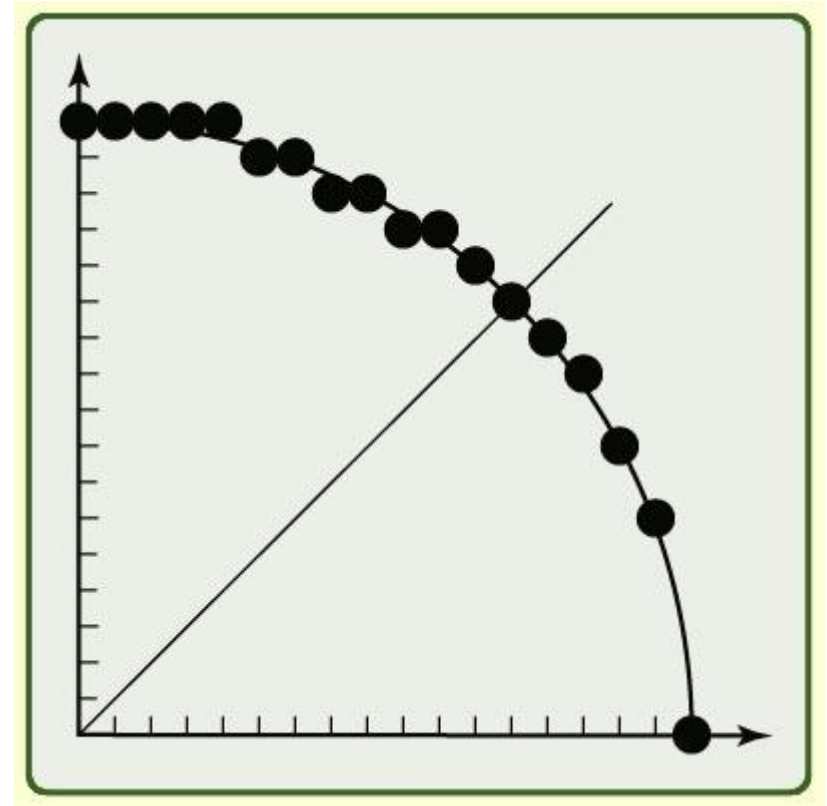
$$x^2 + y^2 = R^2 \quad R : \text{egész}$$

- Elég egy kör-negyedet megrajzolni (a többi rész a szimmetria alapján transzformációkkal - pl. tükrözés - előáll)

x 0-tól R-ig növekszik,

$$y = \sqrt{R^2 - x^2}$$

- Drága eljárás (szorzás, gyökvonás)
- Nem egyenletes



Polárkoordinátás alak

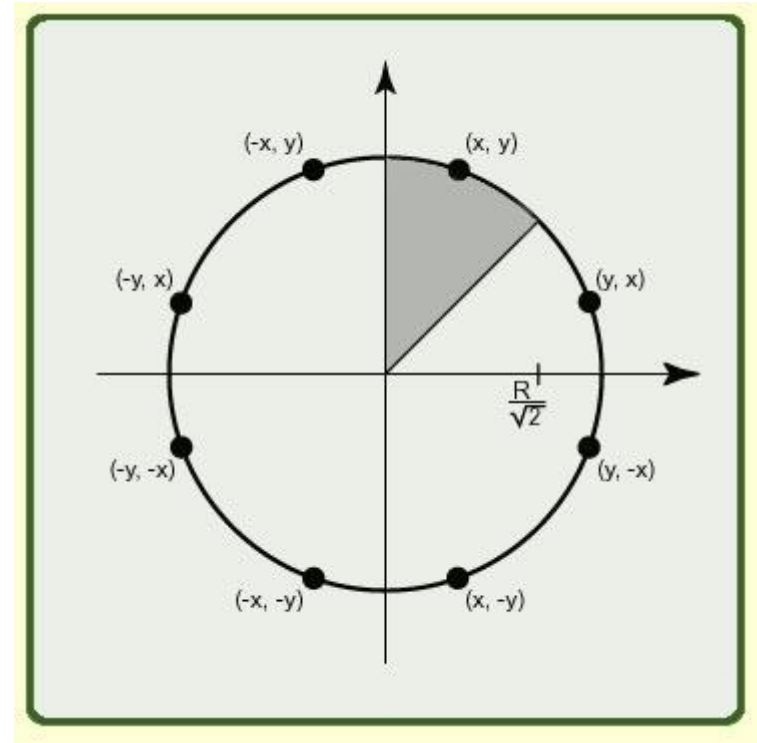
- Elég egy nyolcad kört kiszámítani:

$$x = R \cdot \cos \Theta$$

$$y = R \cdot \sin \Theta$$

Θ 0° -tól 90° -ig
növekszik

- Drága eljárás (sin, cos)



Program

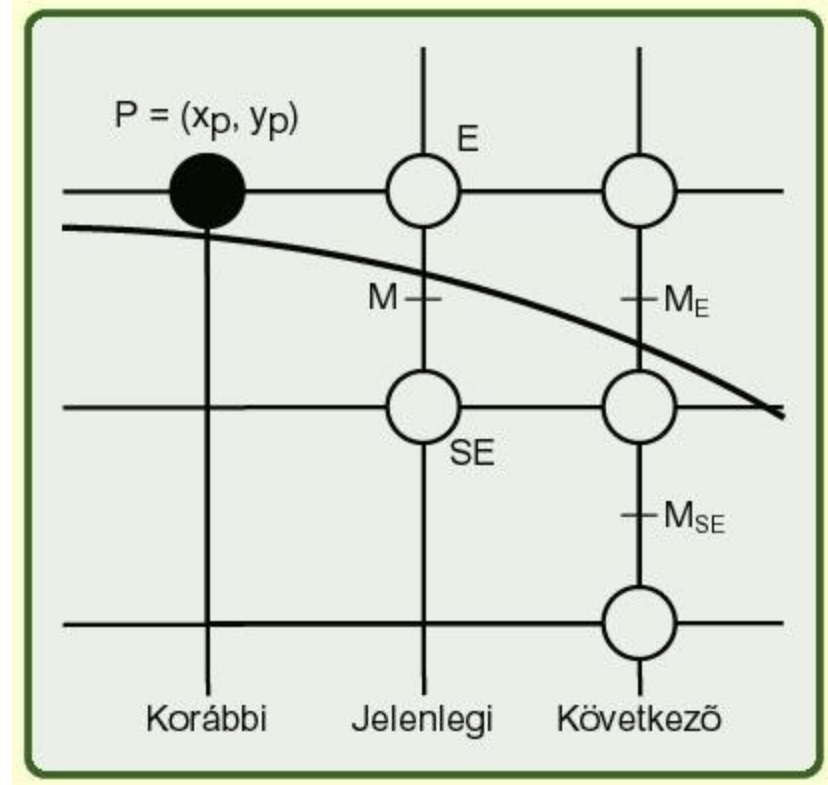
```
procedure Circlepoints (x, y, value:
    integer) ;
begin
    WritePixel ( x,  y,  value) ;
    WritePixel ( y,  x,  value) ;
    WritePixel ( y, -x,  value) ;
    WritePixel ( x, -y,  value) ;
    WritePixel (-x, -y,  value) ;
    WritePixel (-y, -x,  value) ;
    WritePixel (-y,  x,  value) ;
    WritePixel (-x,  y,  value) ;
end; {CirclePoints}
```



Felezőpont algoritmus körre

x 0-tól $R/\sqrt{2}$ -ig
(amíg $x \leq y$)

- **Elv:**
 - **E** és **SE** közül azt a pontot választjuk, amelyikhez a körív metszéspontja közelebb van



Felezőpont algoritmus körre

$$F(x,y) = x^2 + y^2 - R^2 \begin{cases} > 0, \text{ ha } (x,y) \text{ kívül van} \\ = 0, \text{ ha } (x,y) \text{ rajta van} \\ < 0, \text{ ha } (x,y) \text{ belül van} \end{cases}$$

$$d = F(M) =$$

$$F(x_p + 1, y_p - \frac{1}{2}) \begin{cases} > 0 \rightarrow \text{SE-t választani} \\ = 0 \rightarrow \underline{\text{SE}} \text{ vagy } \text{E} \\ < 0 \rightarrow \text{E-t választani} \end{cases}$$

Felezőpont algoritmus körre

- A következő pontnál:
 - ha E-t választottuk, akkor

$$\begin{aligned}
 \Delta_E &= d_{\text{új}} - d_{\text{régi}} = \\
 &F(x_p+2, y_p-1/2) - F(x_p+1, y_p-1/2) = \\
 &= 2x_p+3
 \end{aligned}$$

- ha SE-t választottuk, akkor

$$\begin{aligned}
 \Delta_{SE} &= F(x_p+2, y_p-3/2) - F(x_p+1, y_p-1/2) = \\
 &= 2x_p-2y_p+5
 \end{aligned}$$

Felezőpont algoritmus körre

- Az iterációs lépések:
 - a döntési változó előjele alapján kiválasztjuk a következő képpontot
$$d = d + \Delta_{SE} \text{ vagy } d + \Delta_E$$
(a választástól függően)
- Figyeljük meg: d értéke egész számmal változik!
- Kezdés:
 - kezdőpont: $(0, R)$
 - felezőpont: $(1, R - 1/2)$
 - $d = F(1, R - 1/2) = 5/4 - R$



Program

```
procedure MidpointCircle (radius, value : integer);
var x, y : integer; d: real;
begin
  x := 0; y := radius; d := 5/4-radius;
  CirclePoints (x,y,value);
  while y>x do begin
    if d<0 then begin
      x := x+1;
      d := d+2*x+3;
    end
    else begin
      x := x+1; y := y-1;
      d := d+2*(x-y)+5;
    end;
    CirclePoints (x,y,value)
  end {while}
end; {MidpointCircle}
```



Felezőpont algoritmus körre

- Nem egész aritmetika, ezért legyen h új döntési változó:

$$h = d - \frac{1}{4}$$

$$h + \frac{1}{4} = d < 0$$

- Ekkor kezdéskor

$$h = 1 - R$$

- Kezdetben és a későbbiek során is h egész szám!

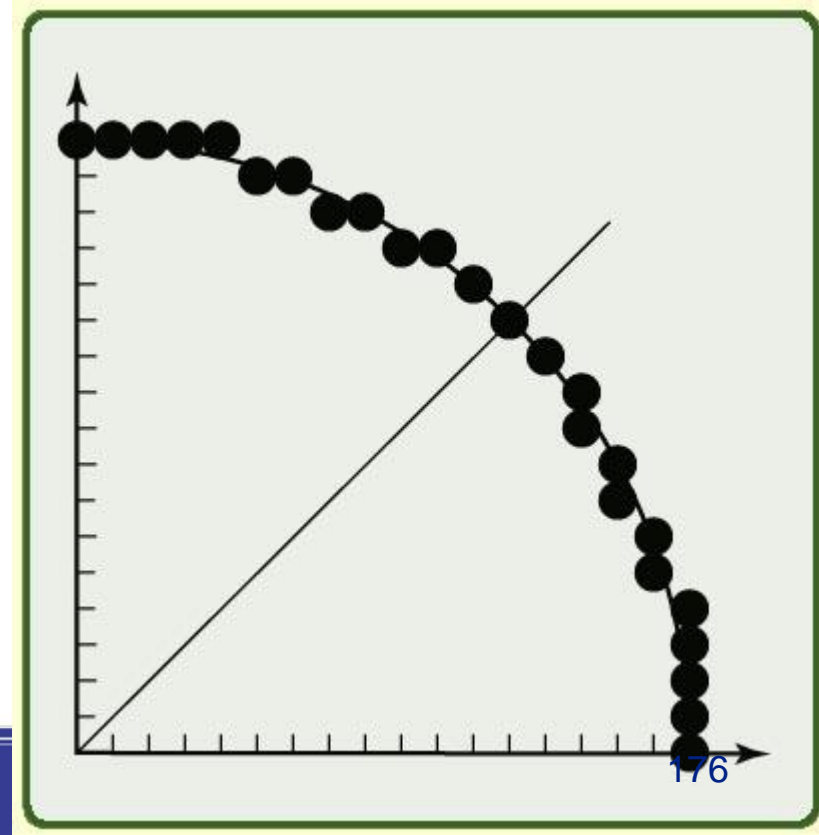
- Igaz, hogy $d < 0$ helyett $h < -\frac{1}{4}$ -et kellene vizsgálni, de ez h egész volta miatt ekvivalens $h < 0$ -val, tehát egész aritmetika használható.



Program

```

procedure MidpointCircle (radius, value : integer);
var x,y,d : integer;
begin
    x := 0; y := radius; h := 1-radius;
    CirclePoints (x,y,value);
    while y>x do begin
        if h<0 then begin
            x := x+1;
            h := h+2*x+3;
        end
        else begin
            x := x+1; y := y-1;
            h := h+2*(x-y)+5;
        end;
        CirclePoints (x,y,value)
    end {while}
end; {MidpointCircle}
    
```



Másodrendű differenciál

- Stratégia:
 - egy függvény értéke becsülhető két pontban felvett értékei különbségét használva (ami polinomok esetében alacsonyabb fokszámú lesz)
 - használjunk első- és másodrendű parciális differenciákat



Kör rajzolása

- tudjuk, hogy

$$\Delta_E(x_p, y_p) = 2 \cdot x_p + 3$$

$$\Delta_{SE}(x_p, y_p) = 2 \cdot x_p - 2 \cdot y_p + 5,$$

- ha E-t választottuk $(x_p, y_p) \rightarrow (x_p + 1, y_p)$,

$$\Delta_E \text{ új} - \Delta_E \text{ régi} = 2, \quad \Delta_{SE} \text{ új} - \Delta_{SE} \text{ régi} = 2$$

- ha SE-t választottuk $(x_p, y_p) \rightarrow (x_p + 1, y_p - 1)$

$$\Delta_E \text{ új} - \Delta_E \text{ régi} = 2, \quad \Delta_{SE} \text{ új} - \Delta_{SE} \text{ régi} = 4$$

Kör rajzolása

- tehát az iterációs lépések:
 - d előjele alapján a következő képpont kiválasztása
 - $d = d + \Delta$ (a választástól függően Δ_E vagy Δ_{SE})
 - Δ_E és Δ_{SE} módosítása (a választástól függően)



Program

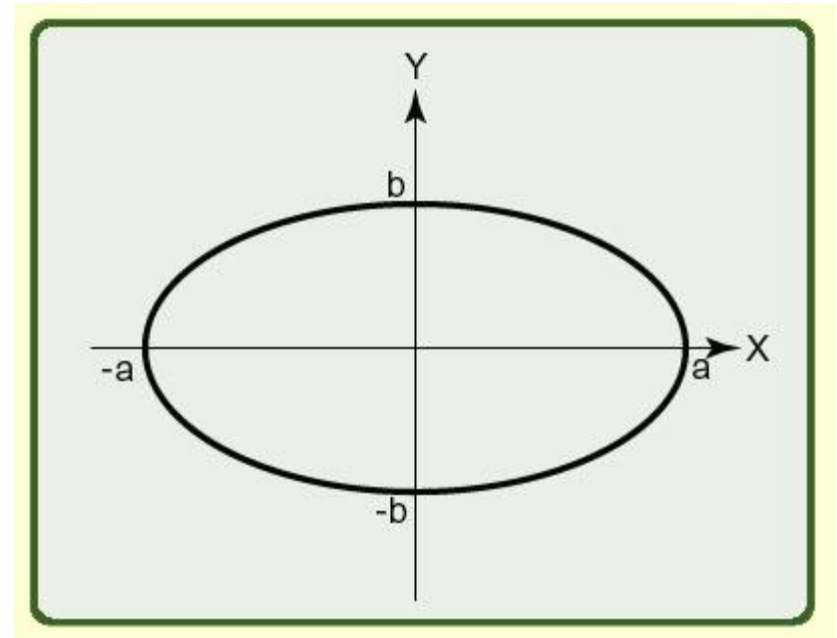
```

procedure MidpointCircle (radius,value : integer);
var x,y,d,deltaE,deltaSE : integer;
begin
  x := 0; y := radius; d := 1-radius;
  deltaE := 3; deltaSE := -2*radius+5;
  CirclePoints(x,y,value);
  while y>x do begin
    if d<0 then begin
      d := d+deltaE;
      deltaE:=deltaE+2; deltaSE:=deltaSE+2;
      x := x+1
    end
    else begin
      d := d+deltaSE;
      deltaE:=deltaE+2; deltaSE:=deltaSE+4;
      x := x+1; y := y-1
    end;
    CirclePoints(x,y,value)
  end {while}
end; {MidpointCircle}
  
```



Ellipszis rajzolása

- $F(x,y) = b^2x^2 + a^2y^2 - a^2b^2$
- a, b egész
- Szimmetria miatt: elég az első síknegyedben megrajzolni

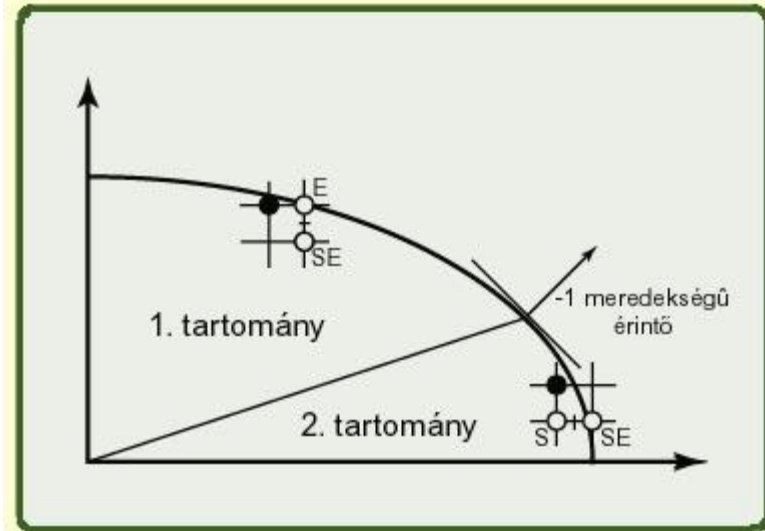




Ellipszis rajzolása

- Da Silva algoritmus (felezőpont módszer)
- Bontsuk a negyedlet két tartományra
- Az 1. tartományban:

$$a^2 (y_p - \frac{1}{2}) > b^2 (x_p + 1)$$



Da Silva algoritmus

Az 1. tartományban:

$$d_1 = F(x_p+1, y_p - 1/2) \quad \left\{ \begin{array}{l} \geq 0 \quad \mathbf{SE-t} \text{ választjuk} \\ < 0 \quad \mathbf{E-t} \text{ választjuk} \end{array} \right.$$

$$\left\{ \begin{array}{l} d_{\text{régi}} - d_{\text{új}} = F(x_p+1, y_p - 1/2) - F(x_p+2, y_p - 3/2) \\ d_{\text{régi}} - d_{\text{új}} = F(x_p+1, y_p - 1/2) - F(x_p+2, y_p - 1/2) \end{array} \right.$$

$$\Delta_{SE} = b^2 (2x_p+3) + a^2 (-2y_p+2)$$

$$\Delta_E = b^2 (2x_p+3)$$



Da Silva algoritmus

- Kezdés:
kezdőpont: $(0, b)$
felezőpont: $(1, b - \frac{1}{2})$
 $d = F(1, b - \frac{1}{2}) = b^2 + a^2 (-b + \frac{1}{4})$

- A 2. tartományban hasonlóan



Program

```

procedure MidpointEllipse
  (a,b,value : integer);
var  x,y: integer; d1,d2: real;
begin
  x := 0; y := b;
  a2:=a*a; b2:= b*b;
  d1 := b2-a2b+a2/4;
  EllipsePoints (x,y,value);
  while (a2(y-1/2) > b2(x+1)) do
  begin
    if d1<0 then begin
      d1 := d1+b2(2x+3); x := x+1
    end
    else begin
      d1 := d1+b2(2x+3)+a2(-2y+2);
      x := x+1; y := y-1
    end
    EllipsePoints (x,y,value)
  end; {Region1}

```

```

d2 := b2(x+1/2)+a2(y-1)-a2b2;
while (y>0) do begin
  if d2<0 then begin
    d2 := d2+b2(2x+2)+a2(-2y+3);
    x := x+1; y := y-1
  end
  else begin
    d2 := d2+a2(-2y+3); y := y-1
  end;
  EllipsePoints (x,y,value)
end {Region2}
end; {MidpointEllipse}

```



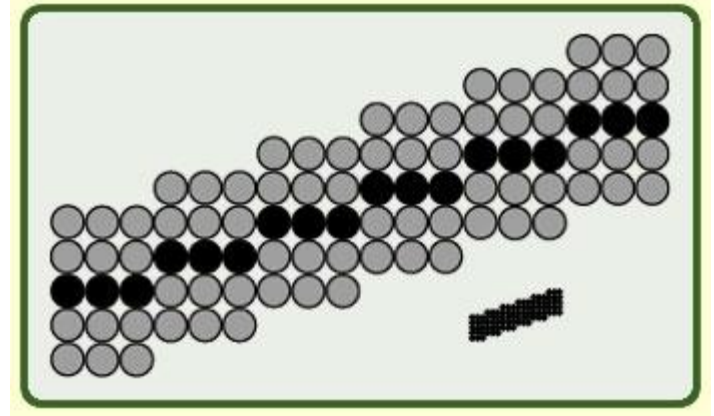


Vastag primitívek rajzolása

- Több képpontnyi vastagságú vonalak
- Milyen alakú legyen az ecset?
 - Kör?
 - Téglalap?
 - Forduljon a vonallal?

Képpontok ismétlése

- A pásztázó vonalas algoritmus kiterjesztése:
 - ha $-1 < m < 1$, akkor a képpontokat többszörözzük meg az oszlopokban; különben a sorokban

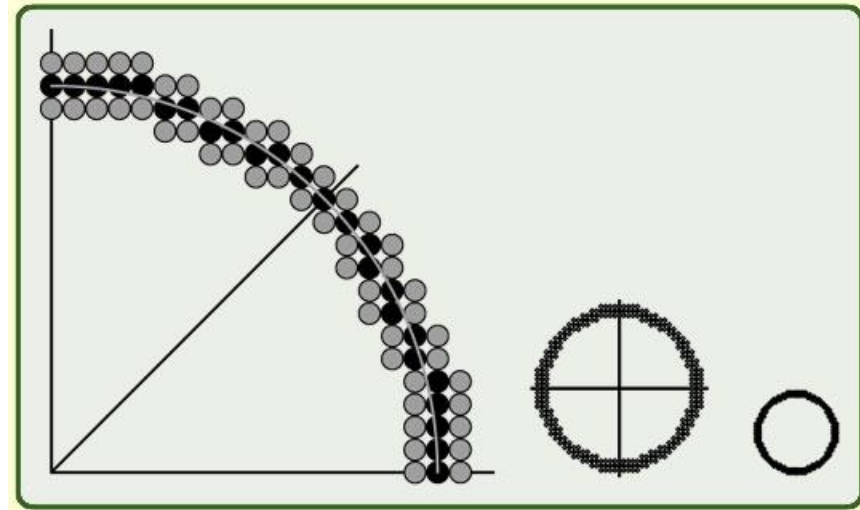




Képpontok ismétlésének tulajdonságai

- gyors
- a vonal végek mindig vízszintesek vagy függőlegesek
- a vonal vastagsága függ a meredekségtől
- a duplázás nem megy: a vonal valamelyik oldala felé vastagabb

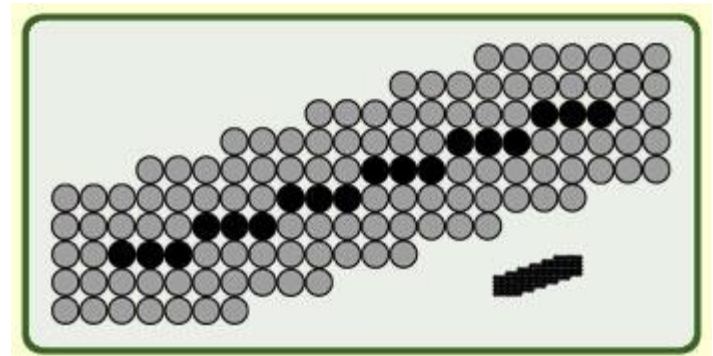
Jó módszer, ha nem túl vastag a vonal





Mozgó ecset

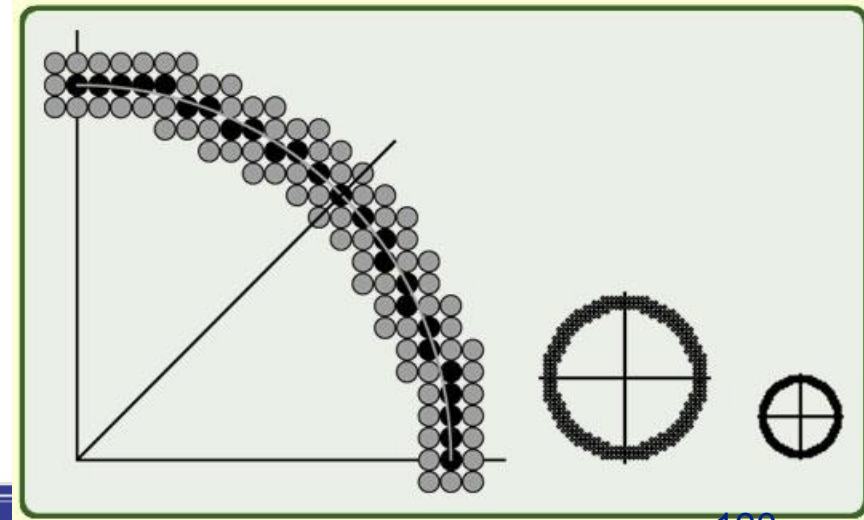
- Téglalap alakú „ecset”, aminek a középpontja (vagy csúcspontja) az 1 pixel vastag vonalon mozog (az ecset nem "forog")





Mozgó ecset tulajdonságai

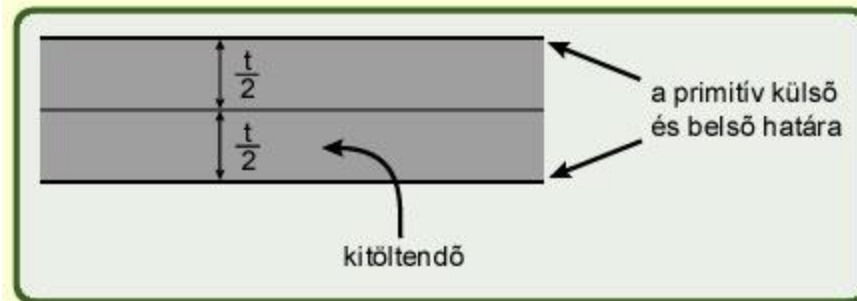
- hasonló a képpont ismétléshez, de
- a végpontokban vastagabb
- a vonal vastagsága függ a meredekségtől és az ecset alakjától
 - jobb a kör alakú ecset
- Implementáció: ecset (= minta) másolása az 1 pixel vastag vonal minden pontjába





Területkitöltés

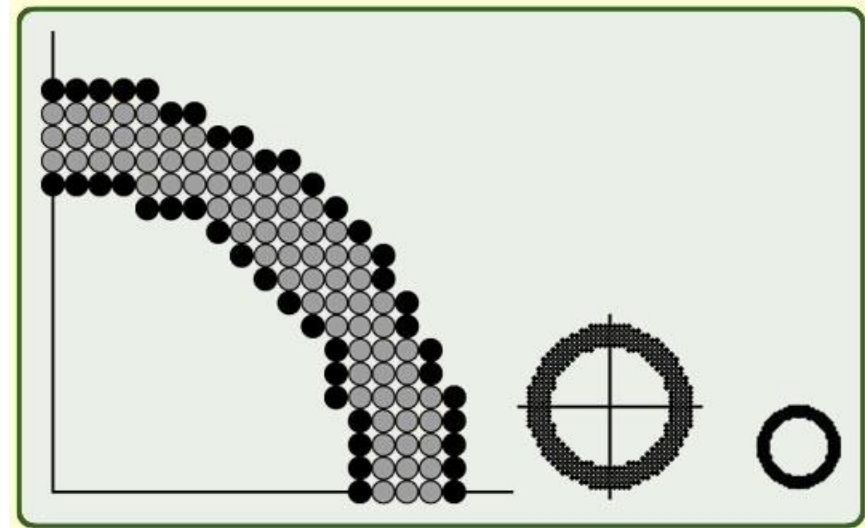
- Terület primitíveknél elég a külső határvonalhoz a külsőt, belsőhöz a belsőt meghatározni



Területkitöltés tulajdonságai

- ugyanolyan jó páros és páratlan vastagra
- a vonal vastagsága nem függ a meredekségtől

Kör esetén:
külső és belső kör



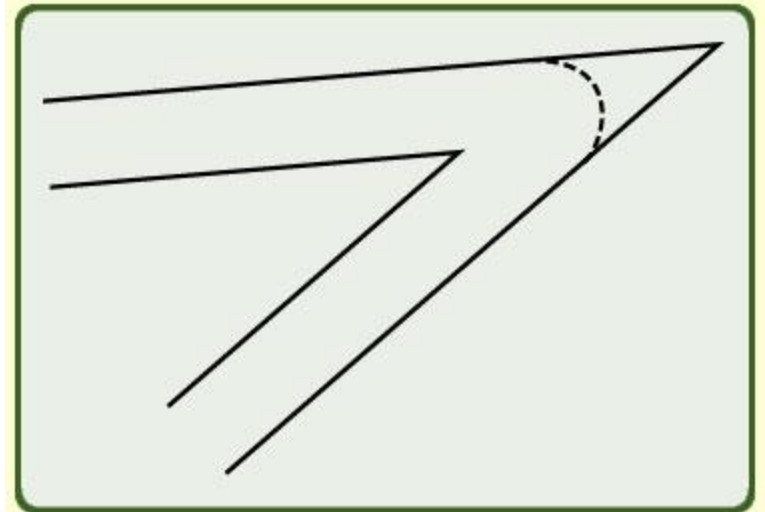
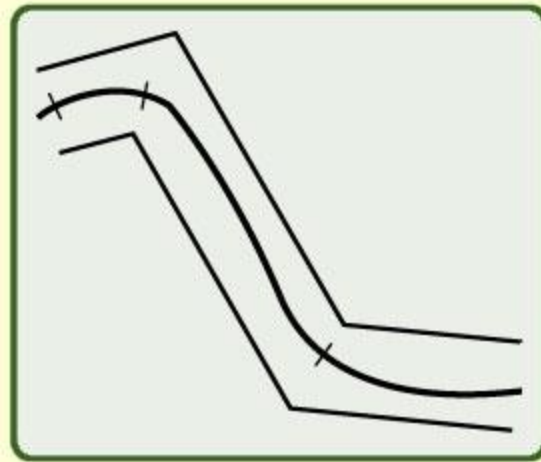
Ellipszis esetén:

$a - t/2, b - t/2$	belső	} ellipszisek
$a + t/2, b + t/2$	külső	



Közelítés vastag szakaszokkal

- Szakasonként lineáris approximáció
 - szép
 - vastag vonalakat simán kell illeszteni

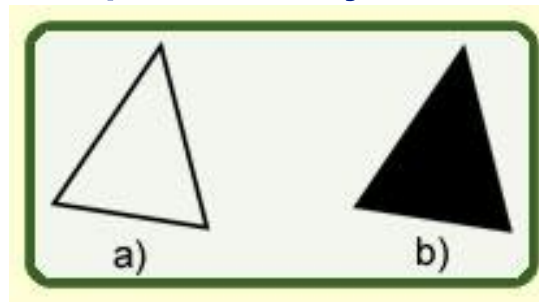




8. TERÜLETI PRIMITÍVEK RASZTERIZÁLÁSA

Grafikai primitívek kitöltése

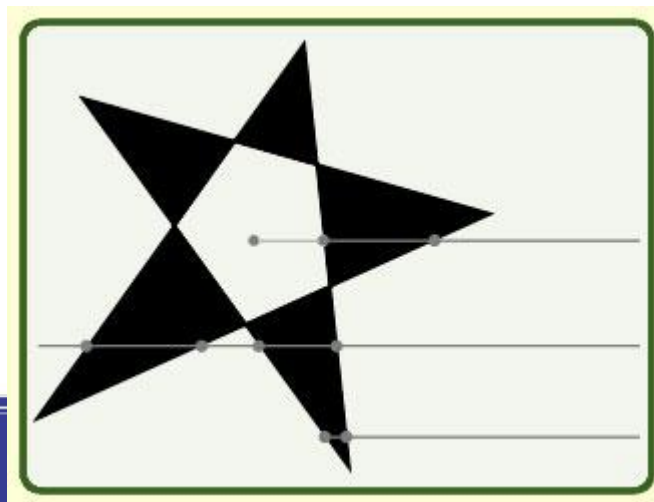
- Területi primitívek
 - Zárt görbék által határolt területek (pl. kör, ellipszis, poligon)
- Megjeleníthetők
 - Csak a határvonalat reprezentáló pontok kirajzolásával (kitöltetlen)
 - Minden belső pont kirajzolásával (kitöltött)





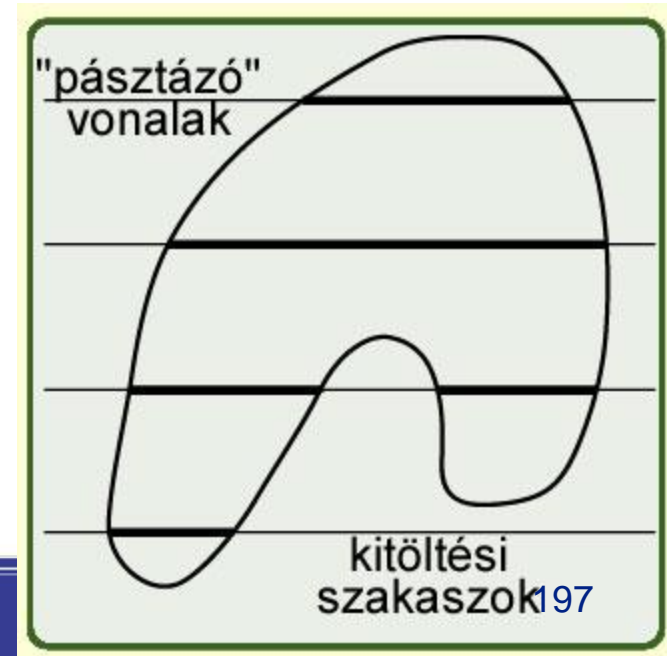
Grafikai primitívek kitöltése

- Alapkérdés:
 - Mely képpontok tartoznak a grafikai primitívekhez?
- Páratlan paritás szabálya:
 - Páros számú metszéspont: külső pont
 - Páratlan számú metszéspont: belső pont



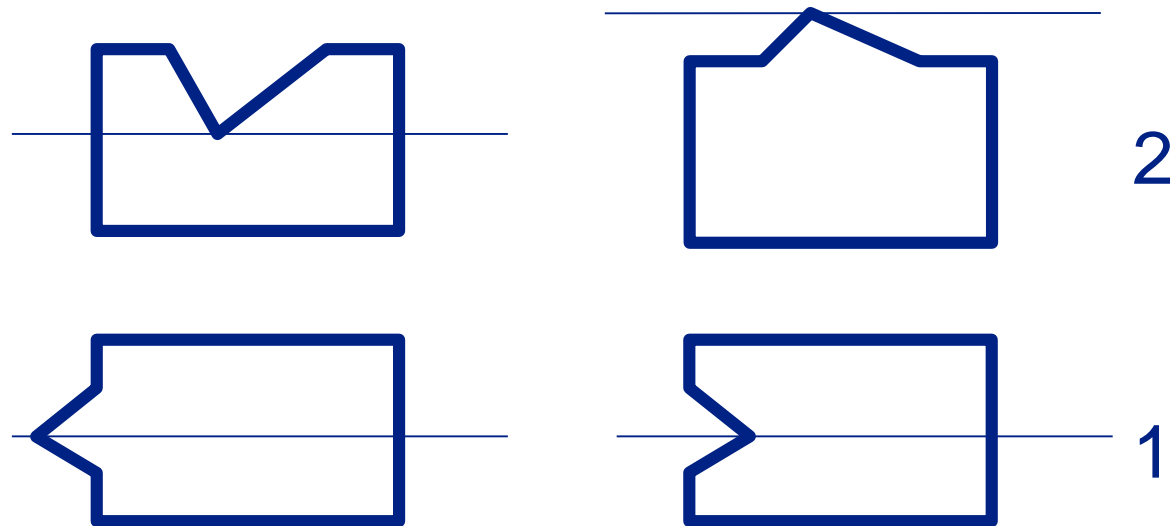
Grafikai primitívek kitöltése

- Elv:
 - Balról jobbra haladva minden egyes pásztázó (scan) vonalon kirajzoljuk a primitív belső pontjait (egyszerre egy szakaszt kitöltve)



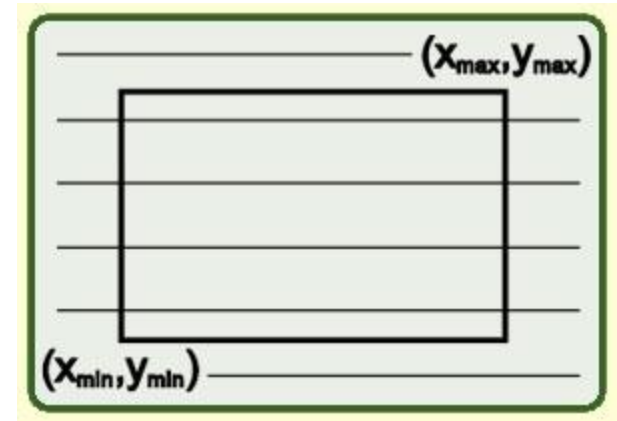
Grafikai primitívek kitöltése

- Csúcspontok metszésekor:
 - Ha a metszett csúcspont lokális minimum vagy maximum, akkor kétszer számítjuk, különben csak egyszer



Téglalap kitöltése

- Probléma:
 - Az egész koordinátájú határpontok hova tartozzanak?

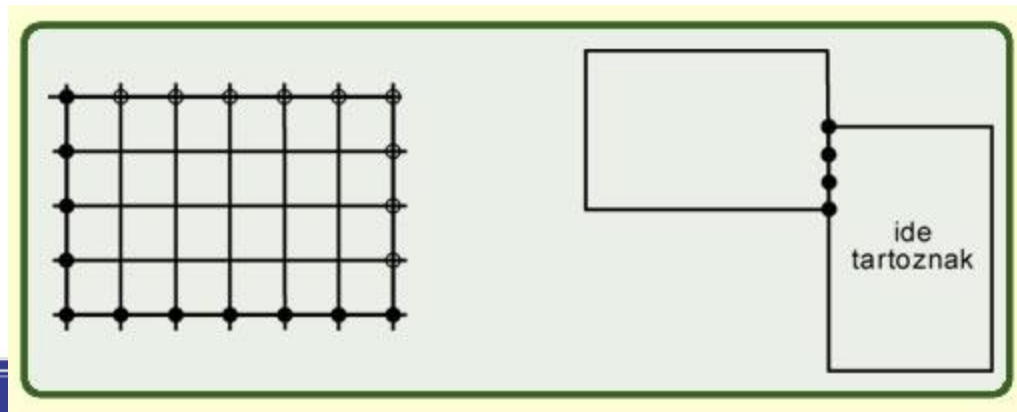


```
for y from ymin to ymax
  for x from xmin to xmax
    WritePixel (x,y,value)
```



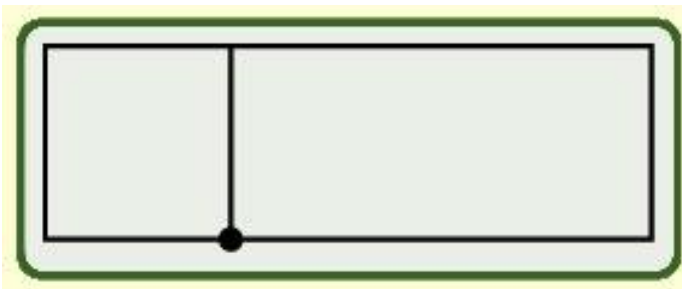
Téglalap kitöltése

- Legyen a szabály pl.:
 - Egy képpont akkor nem tartozik a primitívhez, ha a rajta áthaladó él, és a primitív által meghatározott félsík a képpont alatt, vagy attól balra van. Pl.:
 - Vagyis a pásztázó vonalon a kitöltési szakasz balról zárt, jobbról nyitott



Téglalap kitöltése

- Megjegyzések:
 - Általánosítható poligonokra
 - A felső sor és jobb szélső oszlop hiányozhat
 - A bal alsó sarok kétszeresen tartozhat téglalaphoz



Poligon kitöltése

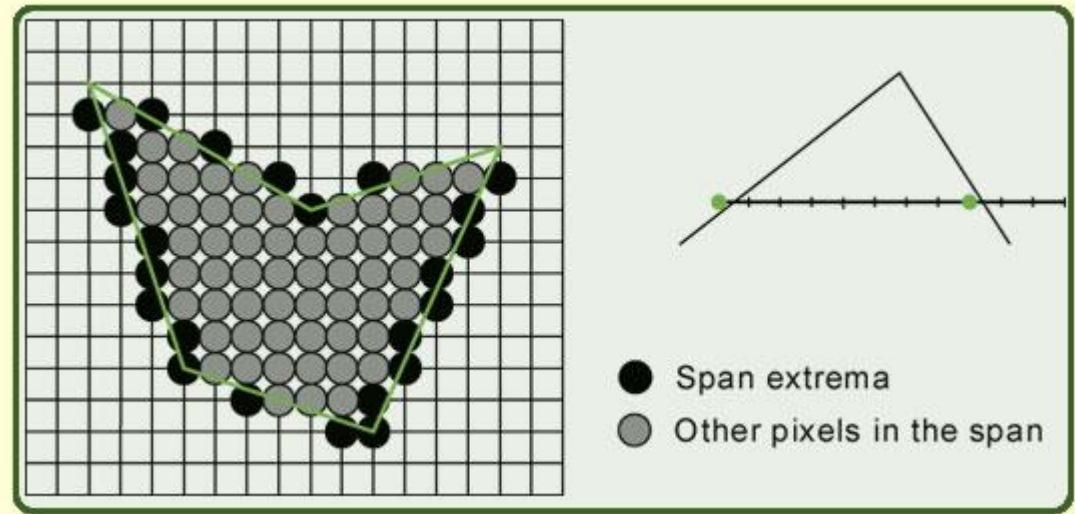
- A poligon lehet:
 - konvex
 - konkáv
 - önmagát metsző
 - lyukas
- Haladjunk a pásztázó egyeneseken és keressük a kitöltési szakaszok végpontjait:





Poligon kitöltése

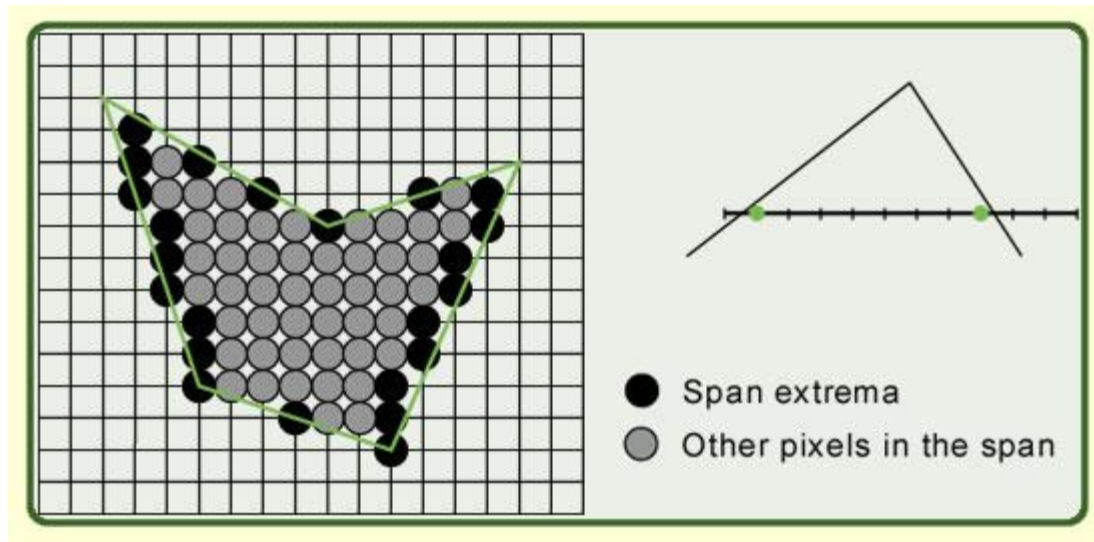
- a) A felezőpont algoritmus szerint választjuk a végpontokat (azaz, nem számít, hogy azok a poligonon kívül, vagy belül vannak)





Poligon kitöltése

- b) A végpontokat a poligonhoz tartozó képpontok közül választjuk



Algoritmus poligonok kitöltésére

Minden pásztázó egyenesre:

1. A pásztázó egyenes és a poligon élei metszéspontjainak a meghatározása
2. A metszéspontok rendezése növekvő x-koordinátáik szerint



Algoritmus poligonok kitöltésére

3. A poligon belsejébe tartozó szakasz(ok) végpontjai közötti képpontok kirajzolása
 - Használjuk a páratlan paritás szabályát:
Tegyük fel, hogy a bal szélen kívül vagyunk, utána minden egyes metszéspont megváltoztatja a paritást



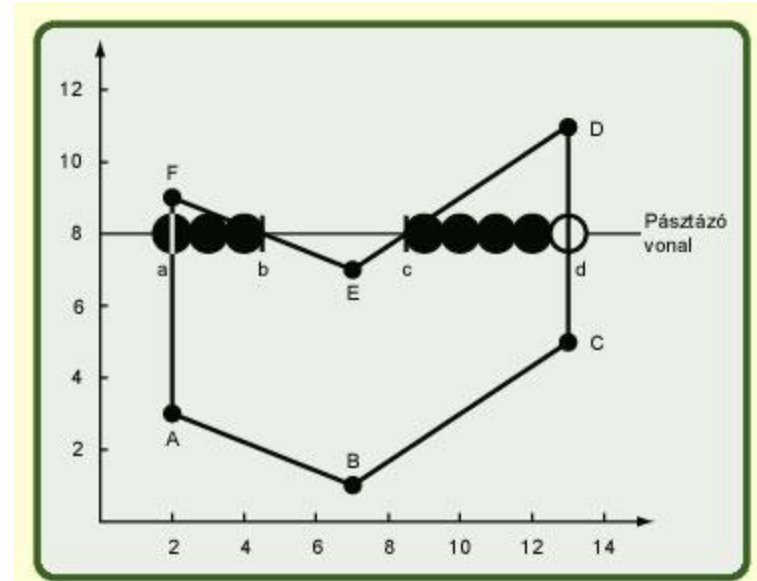
Algoritmus poligonok kitöltésére

3.1. Adott x nem egész értékű metszéspont

- Ha kívül vagyunk, akkor legyen a végpont a fölfelé kerekített x
- Ha belül vagyunk, akkor legyen a végpont a lefelé kerekített x

3.2. Adott x egész értékű metszéspont

- Ha ez bal végpont, akkor ez belső pont
- Ha ez jobb végpont, akkor ez külső pont



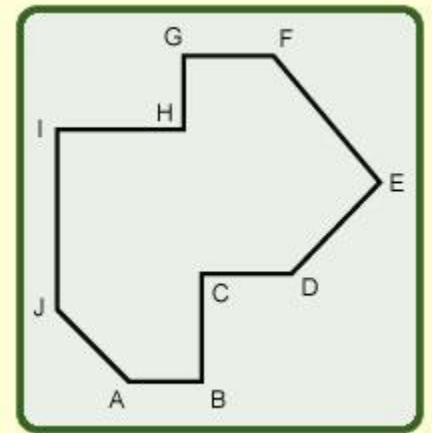
Algoritmus poligonok kitöltésére

3.2.1. A poligon csúcspontjaiban

- y_{min} csúcs pont beszámít a paritásba
- y_{max} csúcs pont nem számít a paritásba, tehát y_{max} csúcs pont csak akkor lesz kirajzolva, ha az egyben a szomszédos él y_{min} pontja is

3.2.2. Vízszintes él esetén

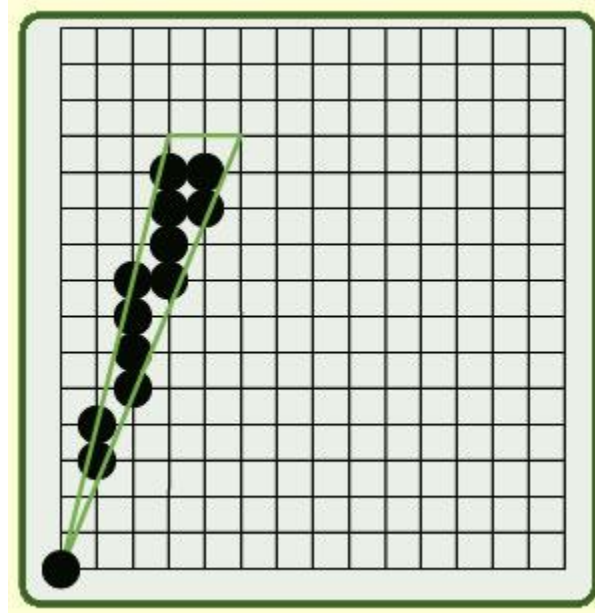
- Az alsó élet rajzolunk, felsőt nem. Az ilyen élek csúcspontjai nem számítanak a paritásba





Megjegyzések

- Diszjunkt poligonoknak lehet közös képpontjuk
- Szilánkok keletkezhetnek
 - olyan poligon-területek, amelyek belsejében nincs kitöltendő szakasz = hiányzó képpontok

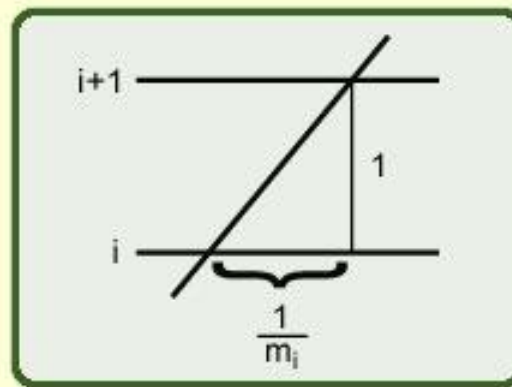




Megjegyzések

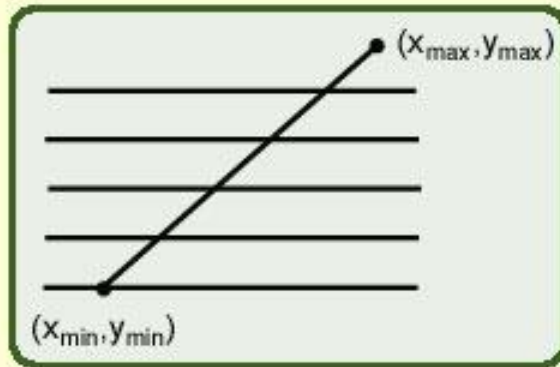
- Implementáció:
 - Nem kell minden egyes pásztázó vonalra újra kiszámolni minden metszéspontot, mert általában csak néhány metszéspont érdekes az i -edik pásztázó vonalról az $i+1$ -edikre átlépve

$$x_{i+1} = x_i + \frac{1}{m_i}$$



Poligon kitöltése

- Tegyük fel hogy: $m > 1$



$$\Delta x = \frac{1}{m} = \frac{x_{\max} - x_{\min}}{y_{\max} - y_{\min}} \quad (<1)$$

$x =$ egész rész + tört rész

$$[x_i] \quad \{x_i\}$$

$$[x_{i+1}] = [x_i] \quad \text{vagy} \quad [x_i] + 1$$

$$\{x_{i+1}\} = \{x_i\} \quad \text{vagy} \quad \{x_i\} - 1$$

Poligon kitöltése

- Tegyük fel, hogy a bal határon vagyunk!
 - Ha $\{x_i\} = 0$, akkor (x, y) -t rajzolni kell (a vonalon van)
 - Ha $\{x_i\} \neq 0$, akkor fölfelé kell kerekíteni x -et (belső pont)
- Egész értékű aritmetika használható: törtrész helyett a számláló és nevező tárolása



Program

```

procedure LeftEdgeScan (xmin, ymin, xmax, ymax, value :integer);
var x, y, numerator, denominator, increment : integer;
begin
    x := xmin; numerator := xmax-xmin;
    denimonator := ymax-ymin;
    increment := denominator;
    for y := ymin to ymax do begin
        WritePixel (x,y,value);
        increment := increment+numerator;
        if increment > denominator then begin
            x := x+1;
            increment := increment-denominator
        end;
    end
end;
end;

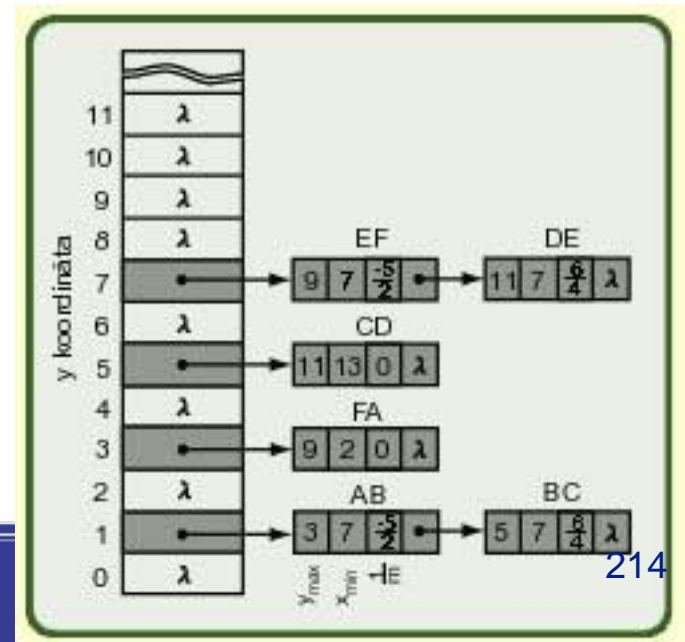
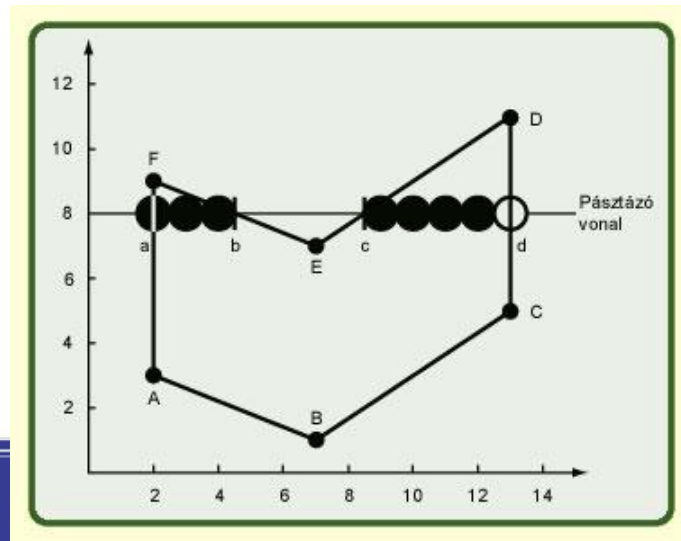
```





Adatstruktúrák

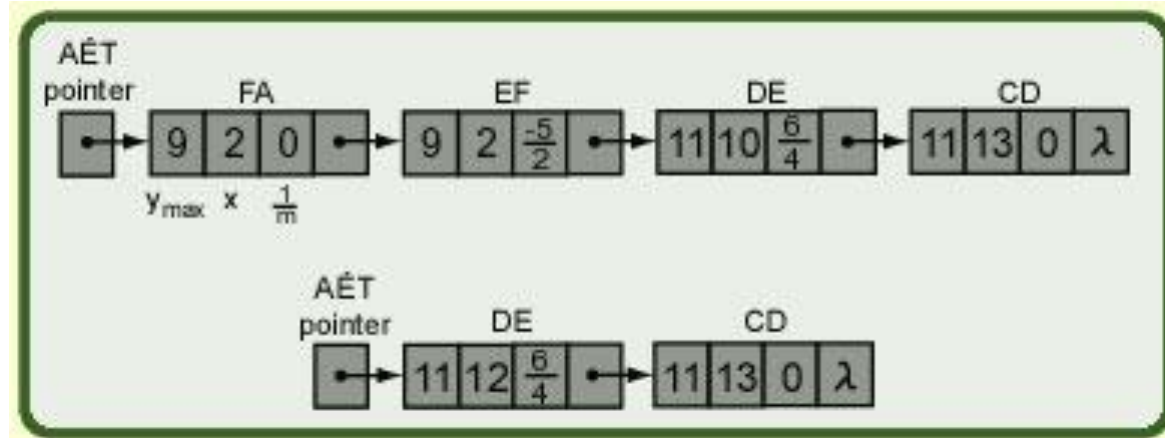
- **ÉT: (Élek Táblázata)**
 - A kisebbik y értékük szerint rendezve az összes élet tartalmazza. A vízszintes élek kimaradnak!
 - Annyi lista, ahány pásztázó vonal, minden listában az élek az alsó végpont x koordinátája szerint rendezettek





Adatstruktúrák

- AÉT: (Aktív Élek Táblázata)
 - Azokat az éleket tartalmazza rendezve, amelyeknek a metszéspontjai kitöltési szakaszokat határoznak meg az aktuális pásztázó vonalon
 - Ez is lista



Algoritmus poligon kitöltésére

0. ÉT kialakítása
1. y legyen az ÉT-ben levő nem üres listák közül a legkisebb y
2. AÉT inicializálása (üres)
3. A továbbiakat addig ismételjük, amíg ÉT végére érünk és AÉT üres lesz:



Algoritmus poligon kitöltésére

3.1 ÉT-ből az y -hoz tartozó listát AÉT-ba másoljuk és AÉT-t x szerint rendezzük

3.2 A kitöltési szakaszok pontjainak a megjelenítése

3.3 AÉT-ből kivesszük azokat az éleket, amelyekre $y_{\max} = y$ (a következő pásztázó egyenessel nincs közös részük)

3.4 $y = y+1$

3.5 Minden AÉT-beli élben módosítjuk x -et



Megjegyzés

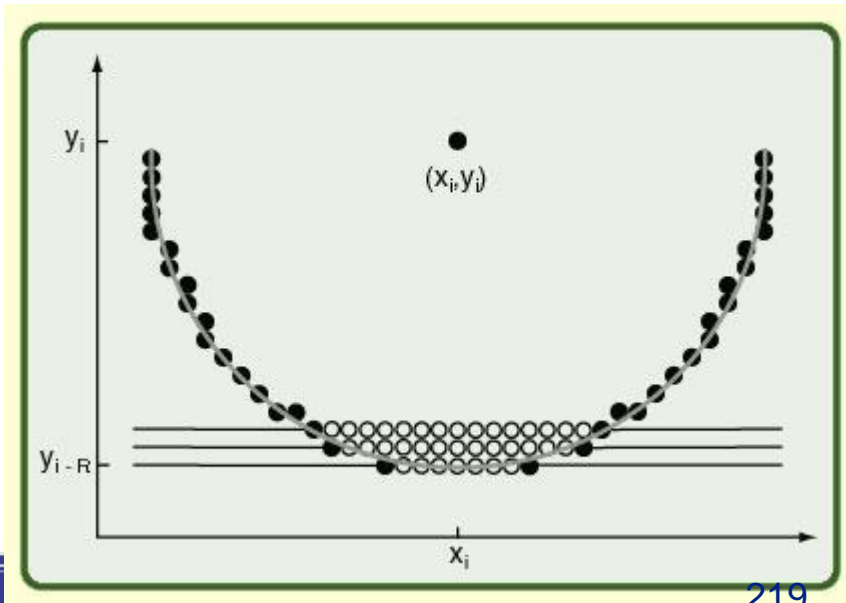
- Háromszögekre, trapézokra egyszerűsíthető, mert a pásztázó egyeneseknek max 2 metszéspontja lehet a primitívvel





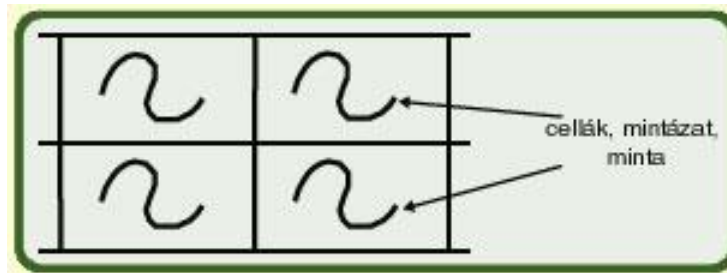
Kör, ellipszis kitöltése

- P belül van, ha $F(P) < 0$, de most is használható a felezőpont módszer (nem kell ÉT – csak 2 metszéspont lehet)
- Hasonló algoritmussal számíthatók a kitöltési szakaszok



Kitöltés mintával

- Általában: terület kitöltése szabályosan ismétlődő grafikus elemekkel



- Képmátrixok (raszter) esetében a cella egy (kisméretű) mátrix
- Lehet a kitöltés "átlátszó" is: nem minden képpontot írunk felül, csak azokat, ahol a minta nem 0

Mintával kitöltés fajtái

- Válasszunk egy pontot a primitívben (pl. bal felsőt), egy pontot a mintában (pl. bal felsőt), illesszük azokat egymásra, a többi pont illeszkedése már kiszámítható (a mintázat a primitívhez van rögzítve)
- Válasszunk egy pontot a képernyőn (pl. bal felsőt), egy pontot a mintában (pl. bal felsőt), illesszük azokat egymásra, a többi pont illeszkedése már kiszámítható (most a mintázat a képernyőhöz van rögzítve)



Kitöltés mintával

Legyen:

minta $M * N$ -es mátrix

minta $[0,0] \rightarrow$ képernyő $[0,0]$

akkor

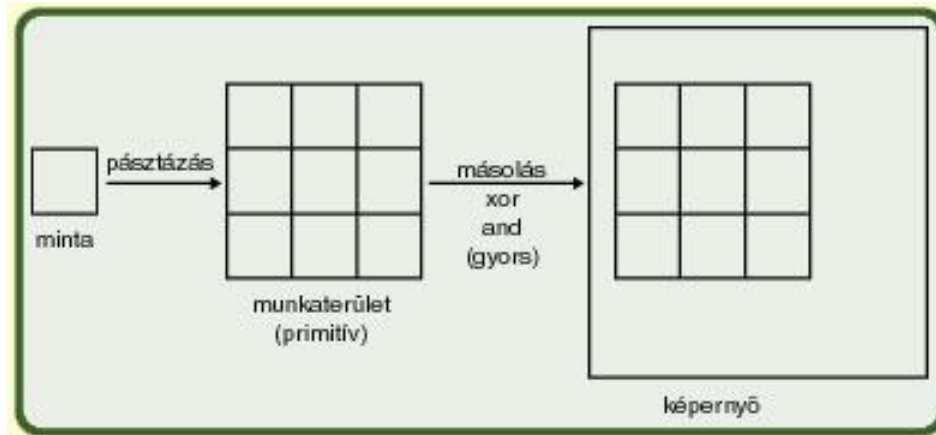
1. módszer: Pásztázás soronként (átlátszó)

```
if minta [x mod M, Y mod N] then  
  WritePixel (x,y,érték)
```

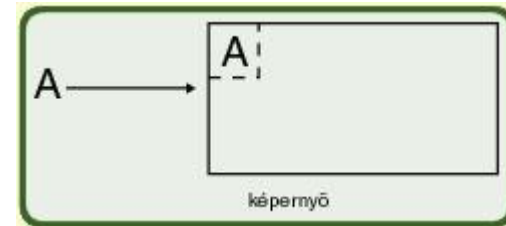
- Gyorsabb: több képpont (sor) egyszerre történő másolásával (esetleg maszkolás is szükséges a sor elején vagy végén)

Kitöltés mintával

- 2. módszer: Téglalap írás



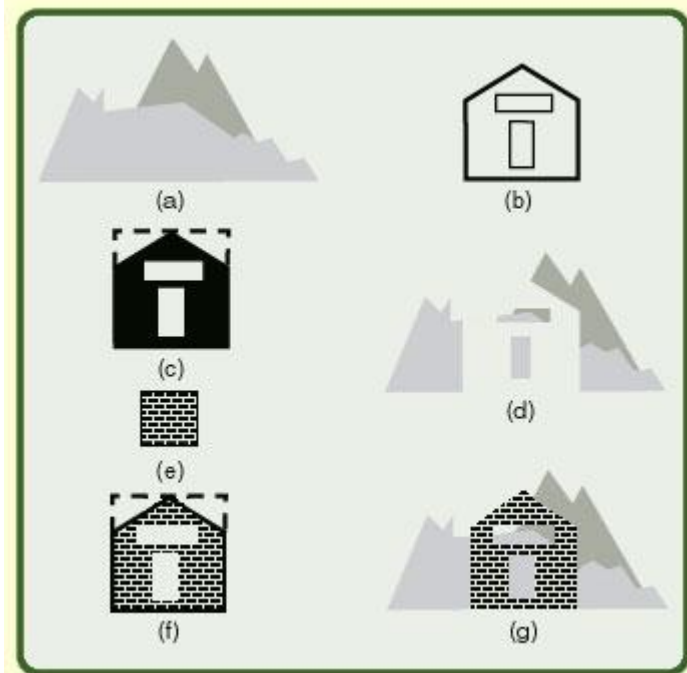
- Csak akkor érdemes használni, ha a primitívet sokszor kell használni
 Pl. karakterek megjelenítése



Kitöltés mintával

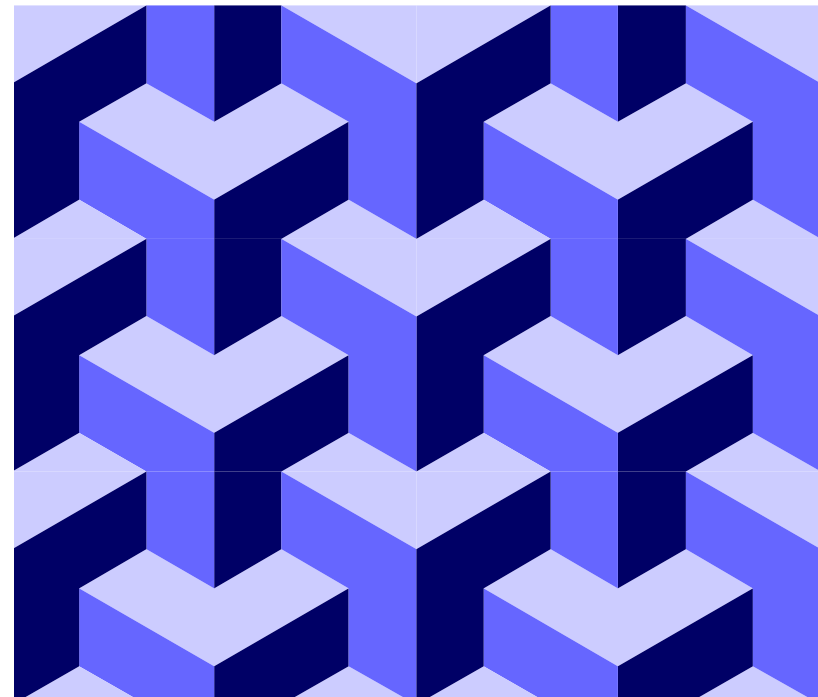
- A téglalap írás kitöltés kombinálható képek közötti műveletekkel, így bonyolult ábrák készíthetők:

- (a) hegyek
- (b) ház vonalai
- (c) a ház kitöltött bitmap képe
- (d) (a)-ból kitöröltük (c)-t
- (e) téгла minta
- (f) (b) téгла mintával kitöltve
- (g) (e) (d)-re másolva



Textúrák

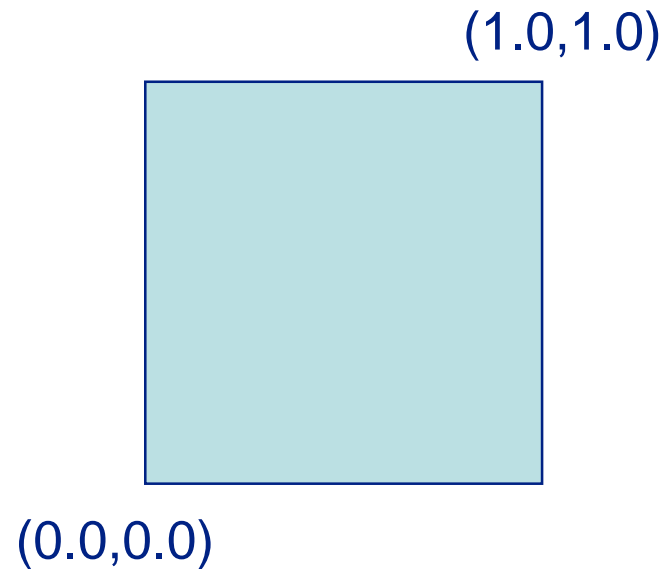
- Képek fesztítése a poligonokra
- Nagy számításigényű
- Textúra ~ kép
 - 1D-s textúra
 - 2D Windows .bmp
 - 3D (volume) MRI
 - 256x256x256
 - OpenGL 1.2



Textúra koordináták

```
glTexCoord1 {dfi} ( s )
```

```
glTexCoord2 {dfi} ( s , t )
```



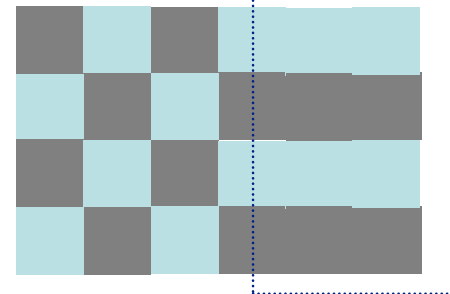
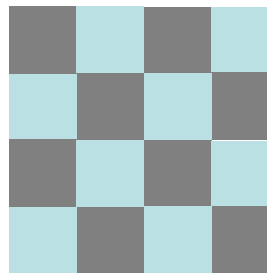
Textúra csomagolás

- A textúra koordináták 0.0-1.0 között vannak
- Koordináták kívül kerülnek
 - összekapcsolódnak
 - ismétlődnek
- További keret (border) pixelek:
 - a keret pixeleket használja majd

```
glTexParameteri (GL_TEXTURE_2D, GL_TEXTURE_S, wrap)
```

```
glTexParameteri (GL_TEXTURE_2D, GL_TEXTURE_T, wrap)
```

- wrap
 - GL_CLAMP
 - GL_REPEAT



Mipmapped textúrák

- Mip = many = sok
- Több szintű részletek
- Távolság függő
- Hosszabb betöltési idő
- Hatásosabb vizuális eredmény
- Gyorsabb megjelenítés
- Definiálás a szint megadásával a `glTexImage1D`, ... fv.-eknél
- 0 legnagyobb felbontású
- `GL_TEXTURE_MIN_FILTER`

```

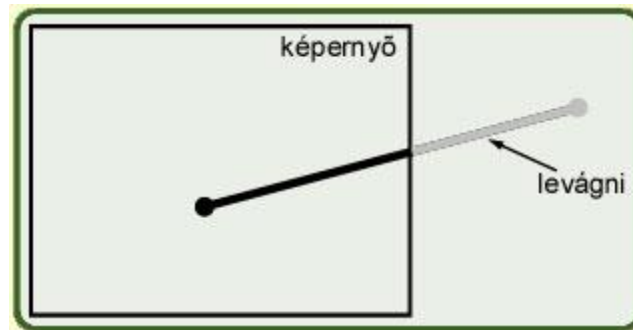
static unsigned char im0[16][3];
static unsigned char im1[8][3];
static unsigned char im2[4][3];
glTexImage1D(GL_TEXTURE_1D, 0, 3, 16, 0, GL_RGB,
             GL_UNSIGNED_BYTE, im0);
glTexImage1D(GL_TEXTURE_1D, 1, 3, 16, 0, GL_RGB,
             GL_UNSIGNED_BYTE, im1);
glTexImage1D(GL_TEXTURE_1D, 2, 3, 16, 0, GL_RGB,
             GL_UNSIGNED_BYTE, im2);
  
```



11. GRAFIKUS PRIMITÍVEK VÁGÁSA

Vágás

- A primitívekből csak annyit szabad mutatni, amennyi látszik belőlük (takarás, kilóg a képből)



Módszerek

1. Vágjuk le a megjelenítés előtt, azaz számítsuk ki a metszéspontokat és az új végpontokkal rajzoljunk
2. Ollózás: pásztázzuk a teljes primitívet, de csak a látható képpontokat jelenítjük meg: minden (x, y) -ra ellenőrzés
3. A teljes primitívet munkaterületre rajzoljuk, majd innen átmásoljuk a megfelelő darabot





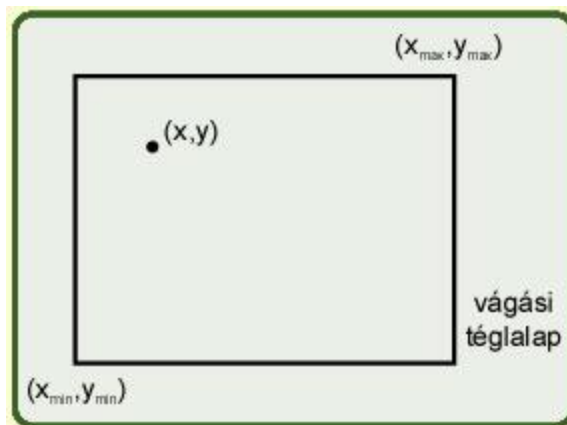
Pontok vágása

(x,y) belül van, ha

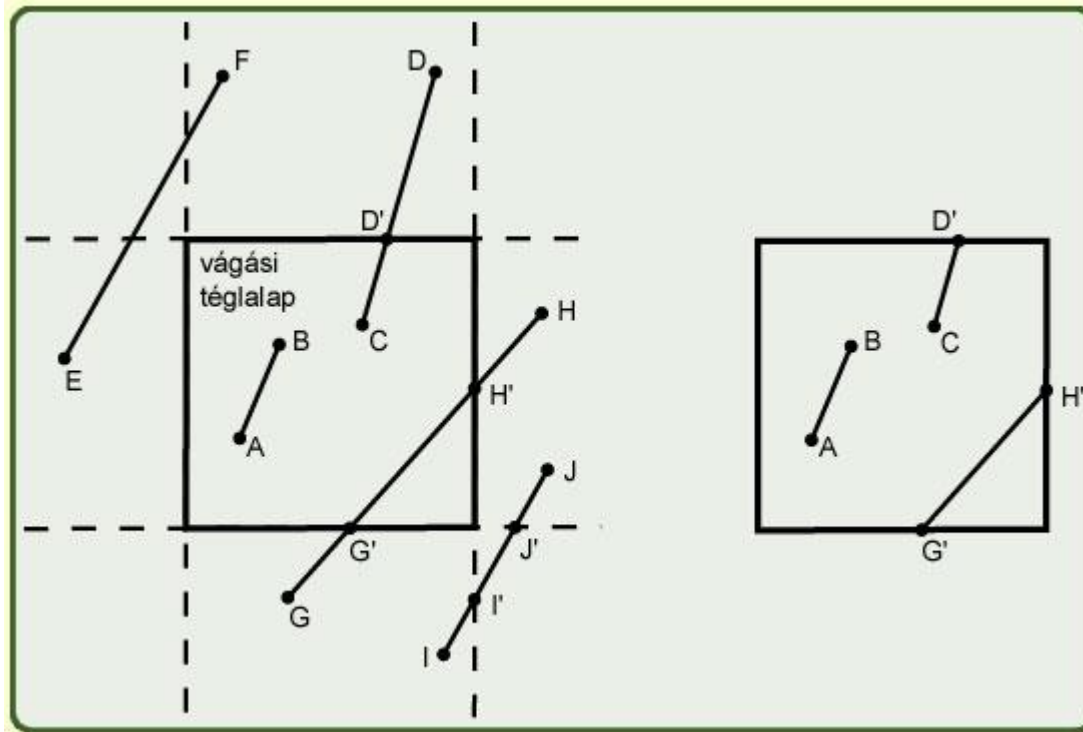
$$x_{\min} \leq x \leq x_{\max}$$

és

$$y_{\min} \leq y \leq y_{\max}$$



Szakaszok vágása egyenletrendszer megoldásával



Szakaszok vágása egyenletrendszer megoldásával

- Elég a végpontokat vizsgálni:
 - Ha mindkét végpont belül van, akkor a teljes szakasz belül van, nincs vágás
 - Ha pontosan egy végpont van belül, akkor metszéspontot kell számolni és vágni
 - Ha mindkét végpont kívül van, akkor további vizsgálat szükséges: lehet, hogy nincs közös része a vágási téglalappal, de lehet, hogy van





Szakaszok vágása egyenletrendszer megoldásával

- A vágási téglalap minden élére megvizsgáljuk, van-e az élnek közös része a szakasszal
- Egyenesek metszéspontjának meghatározása, és az élen belül van-e a metszéspont
- Problémák:
 - Egyenesek (nem szakaszok!) metszéspontjai
 - Speciális esetek (vízszintes, függőleges egyenesek)

Szakaszok vágása egyenletrendszer megoldásával

- Javítás: parametrikus alak

$$x = x_0 + t \cdot (x_1 - x_0)$$

$$y = y_0 + t \cdot (y_1 - y_0)$$

- $t \in [0, 1]$ (szakaszt ír le)

- Metszéspont:

$t_{\text{él}}$: a metszéspont paramétere az élen

t_{vonal} : a metszéspont paramétere a vonalon

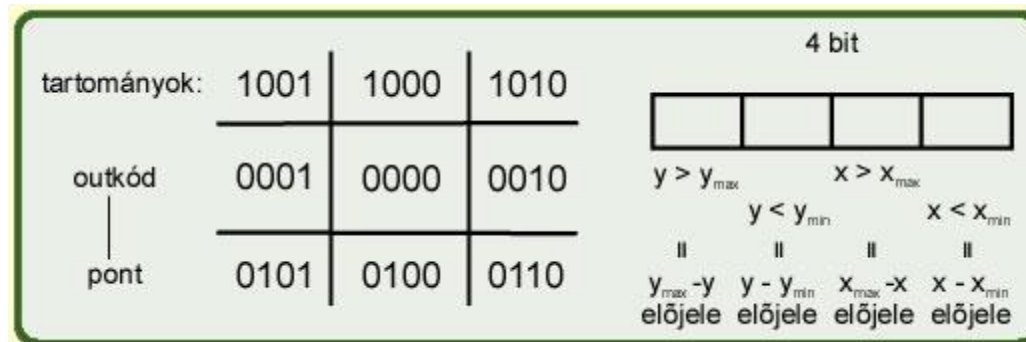
- Ha $t_{\text{él}}, t_{\text{vonal}} \in [0, 1]$, akkor belül van

- Még így sem hatékony a módszer, mert sokat kell ellenőrizni és számolni



Cohen-Sutherland-féle szakasz vágás

- (x_1, y_1) és (x_2, y_2) a szakasz két végpontja
- A végpontok kódolása: Minden végpont annak megfelelő kódot ($code_1, code_2$) kap, hogy melyik tartományban van



Cohen-Sutherland-féle szakasz vágás

1. Ha a végpontok belül vannak, akkor nincs mit vágni (triviális elfogadás)

1001	1000	1010
0001	0000	0010
0101	0100	0110

$$\text{code}_1 = \text{code}_2 = 0000$$

$$\text{code}_1 \text{ OR } \text{code}_2 = \text{FALSE (bitenként)}$$



Cohen-Sutherland-féle szakasz vágás

2. Ha $x_1, x_2 < x_{\min}$ vagy $x_1, x_2 > x_{\max}$
vagy $y_1, y_2 < y_{\min}$ vagy $y_1, y_2 > y_{\max}$
akkor minden kívül van (triviális elvetés)

1001	1000	1010
0001	0000	0010
0101	0100	0110

$\text{code}_1 \text{ AND } \text{code}_2 = \text{TRUE}$ (bitenként)



Cohen-Sutherland-féle szakasz vágás

3. az $(x_1, y_1) - (x_2, y_2)$ szakasz metszi valamelyik élet

- Vegyünk egy külső végpontot (legalább egyik az; ha több van, akkor válasszuk közülük felülről lefelé és jobbról balra haladva az elsőt), és számítsuk ki a metszéspontot
- A két részre vágott szakasz egyik fele a 2. pont alapján triviálisan elvethető



Tulajdonságok

- Interaktív módon is használható
- Hatékony, mert gyakran sok vagy kevés szakasz van belül
- A legáltalánosabban használt eljárás



Parametrikus szakasz vágó algoritmus

$$P(t) = P_0 + \underbrace{(P_1 - P_0)}_D t = P_0 + D t$$

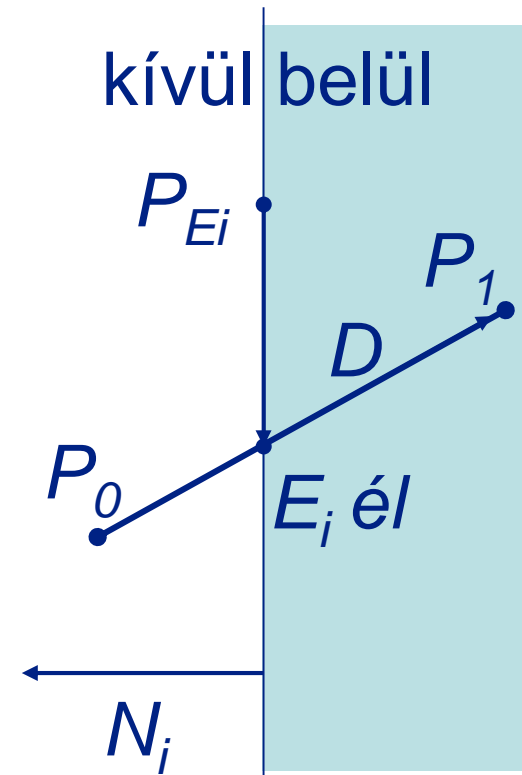
A metszéspontra (skalárszorzat):

$$N_i (P(t) - P_{Ei}) = 0$$

$$N_i (P_0 + D t - P_{Ei}) = 0$$

$$t = \frac{N_i (P_0 - P_{Ei})}{-N_i D}$$

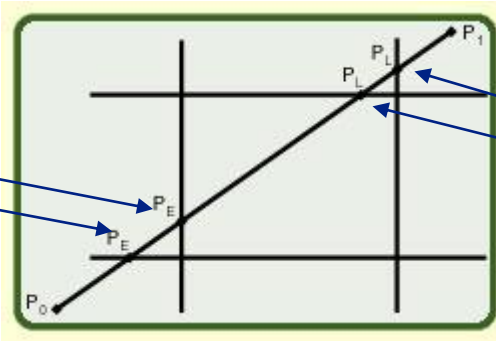
Ha $N_i D$ $\begin{cases} < 0, & \text{akkor belép a félsíkba,} \\ = 0, & \text{akkor párhuzamos a félsík élével,} \\ > 0, & \text{akkor kilép a félsíkból.} \end{cases}$



Parametrikus szakasz vágó algoritmus

- Meghatározható az egyenesnek a téglalap 4 egyenesével való 4 metszéspontja (4 db t érték)
- Melyik két t a megfelelő?

Belépő
pontok



Kilépő
pontok

- Legyen

$$t_E = \max \{0, \max\{t_{PE}\}\}$$

$$t_L = \min \{1, \min\{t_{PL}\}\}$$





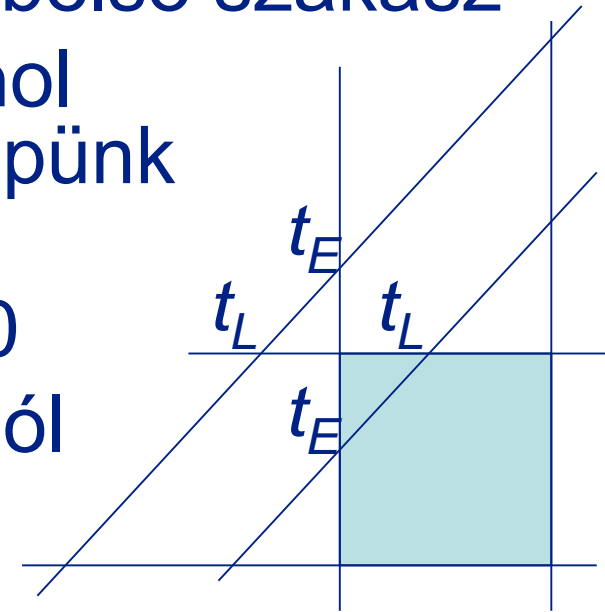
Parametrikus szakasz vágó algoritmus

- Ha $t_E > t_L$, akkor nincs belső metszés
- Ha $t_E, t_L \in [0, 1]$, akkor ez belső szakasz
- különben P_E olyan pont, ahol P_0 -ból P_1 -felé haladva belépünk egy belső félsíkba, ekkor

$$N_i (P_1 - P_0) < 0$$

- és P_L olyan pont, ahol P_0 -ból P_1 -felé haladva kilépünk egy belső félsíkből, ekkor

$$N_i (P_1 - P_0) > 0$$



Parametrikus számítás

él _i vágás	N_i	P_{Ei}	$P_0 - P_{Ei}$	$t = \frac{N_i \cdot (P_0 - P_{Ei})}{-N_i \cdot D}$
bal $x=x_{min}$	$(-1, 0)$	(x_{min}, y)	$(x_0 - x_{min}, y_0 - y)$	$\frac{-(x_0 - x_{min})}{(x_1 - x_0)}$
jobb $x=x_{max}$	$(1, 0)$	(x_{max}, y)	$(x_0 - x_{max}, y_0 - y)$	$\frac{(x_0 - x_{max})}{-(x_1 - x_0)}$
lent $y=y_{min}$	$(0, -1)$	(x, y_{min})	$(x_0 - x, y_0 - y_{min})$	$\frac{-(y_0 - y_{min})}{(y_1 - y_0)}$
fent $y=y_{max}$	$(0, 1)$	(x, y_{max})	$(x_0 - x, y_0 - y_{max})$	$\frac{(y_0 - y_{max})}{-(y_1 - y_0)}$

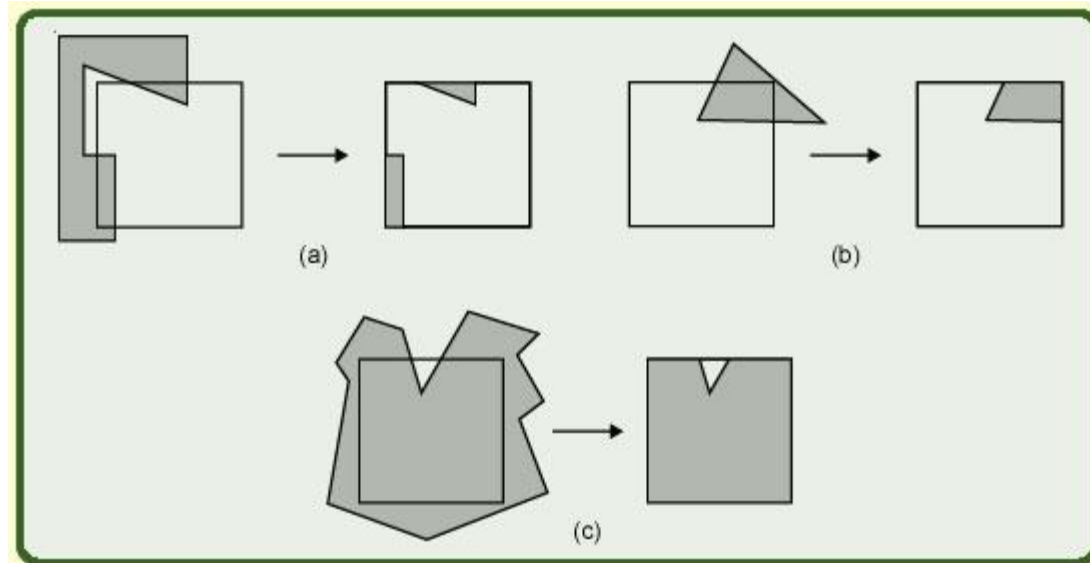
Parametrikus szakasz vágó algoritmus

```
begin
  Ni kiszámítása, PEi kiválasztása;
  for szakaszokra
    if P1 = P0 then pont vágása;
    else begin
      tE = 0; tL = 1; D = P1-P0;
      for élekkel való metszéspontokra
        if Ni*D <> 0 then begin
          t kiszámítása. Ni*D <0: PE, >0: PL;
          if PE then tE = max(tE,t);
          if PL then tL = min(tL,t)
        end;
      if tE > tL then nincs metszéspont
      else P(tE) és P(tL) metszéspont
    end
  end
```



Poligonok vágása

- Sok eset lehet:

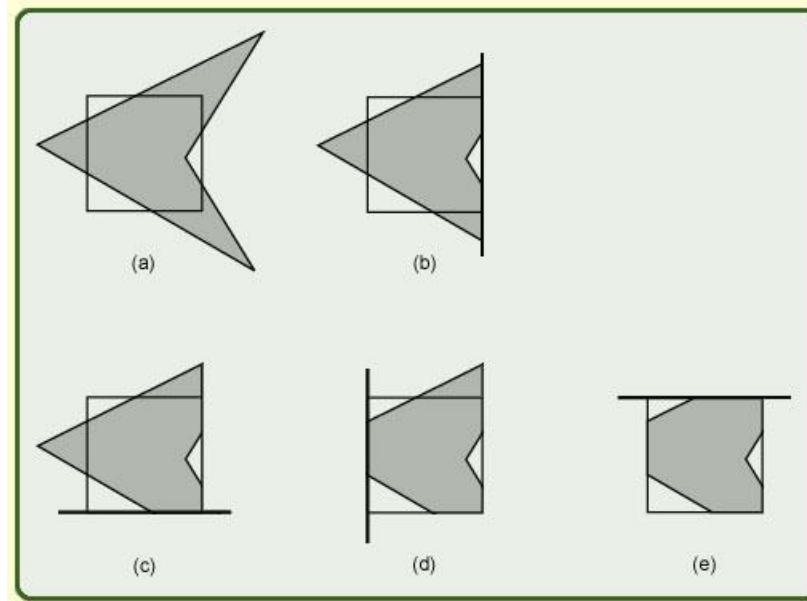


- Általában minden éllel vágni kell



Sutherland-Hodgman-féle poligon-vágás

Vágjunk egyenként az összes éllel



(V_1, V_2, \dots, V_n)
csúcspontok

algorithmus

$(V'_1, V'_2, \dots, V'_m)$
új csúcspontok



12. LÁTHATÓSÁG, TAKARÁS

Látható felszín meghatározása

- Adott 3D tárgyak egy halmaza és egy projekció specifikációja
- Mely vonalak és felületek lesznek láthatók?
- Melyek lesznek takarva?
- Nehéz feladat (időigényes)



1. megközelítés

```
for minden képpontra do begin
    határozzuk meg azt a tárgyat,
    amelyet a nézőpontból a képponton
    keresztül húzott egyenes leghamarabb
    metsz
    rajzoljuk ki a képpontot a megfelelő
    színben
end
```

- A szükséges idő: $O(np)$
- n : a tárgyak száma
- p : a képpontok száma

2. megközelítés

```
for minden tárgyra do begin
    határozzuk meg a tárgynak azokat a
    részeit, amelyek nincsenek
    takarásban saját maga vagy más
    tárgyak miatt
    a kiválasztott részeket rajzoljuk ki
    a megfelelő színben
end
```



- A szükséges idő: $O(n^2)$
- n : a tárgyak száma



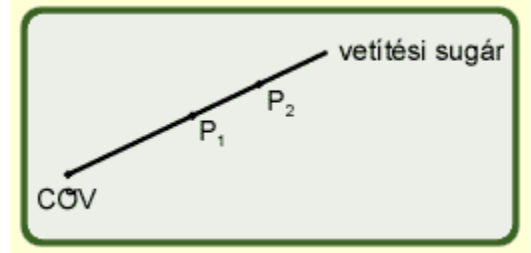
A látható felszín meghatározására szolgáló általános algoritmusok

- A tárgyak takarják-e egymást?
- Mely tárgy látható?
- Általánosan: nehéz probléma

Pontok láthatósága

$$P_1 = (x_1, y_1, z_1) \text{ és } P_2 = (x_2, y_2, z_2)$$

- Takarja-e egyik a másikat?
- Ha ugyanazon a vetítési sugáron vannak, akkor a közelebbi takarja a másikat, különben nem



Mélységbeli összehasonlítás

- Helye: a normalizálási transzformáció után, ekkor
 - párhuzamos vetítésnél:
a vetítési sugarak párhuzamosak a z-tengellyel, ekkor P_1 és P_2 ugyanazon a vetítési sugáron van, ha
 - perspektív vetítésnél:
a vetítési sugarak COV-ből indulnak ki, ekkor P_1 és P_2 ugyanazon a vetítési sugáron van, ha

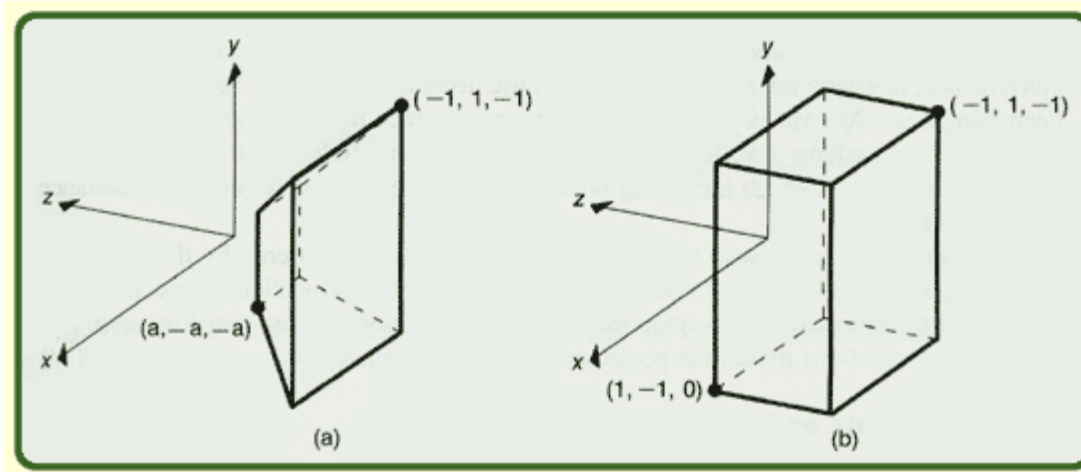
$$x_1 = x_2 \text{ és } y_1 = y_2$$

$$x_1 / z_1 = x_2 / z_2 \text{ és } y_1 / z_1 = y_2 / z_2$$



Kanonikus térfogat

- Perspektív vetítésnél azt a transzformációt használjuk, amely a perspektív kanonikus térfogatot átviszi párhuzamos kanonikus térfogatba



Kanonikus térfogatba transzformáló mátrix

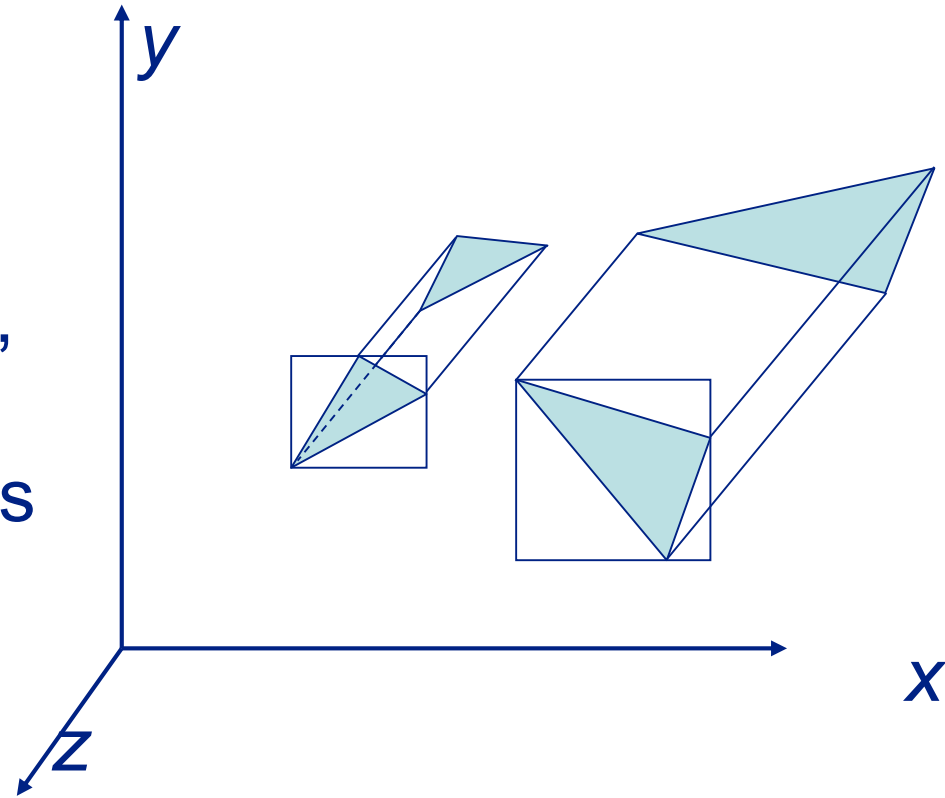
- Perspektív kanonikus térfogatot párhuzamos kanonikus térfogatba transzformáló mátrix

$$M = \begin{pmatrix} 1 & 0 & 0 & 0 \\ 0 & 1 & 0 & 0 \\ 0 & 0 & \frac{1}{1+z_{\min}} & \frac{-z_{\min}}{1+z_{\min}} \\ 0 & 0 & -1 & 0 \end{pmatrix}$$

- Ekkor a vetítési sugarak már párhuzamosak a z-tengellyel, így egyszerűbben végezhető a vágás

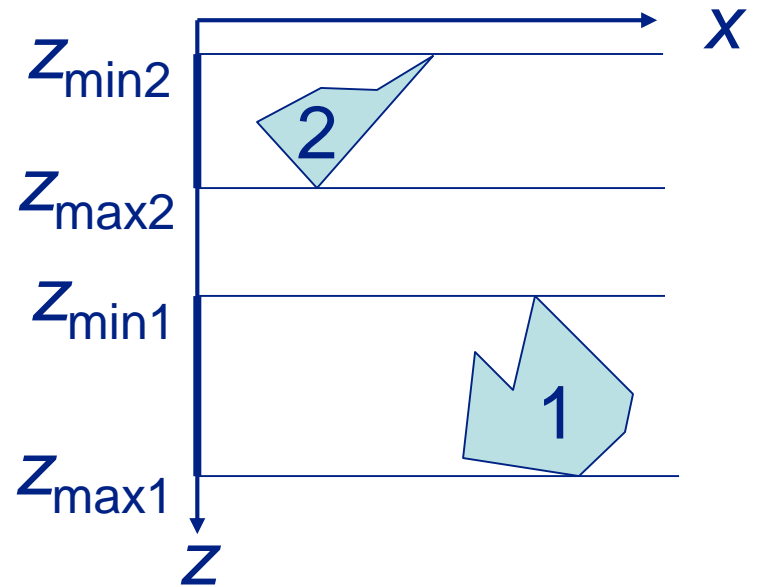
Határoló-téglalap teszt

- Ha a határoló téglalapok nem fedik egymást, akkor a vetületek sem fedik egymást, különben további vizsgálat szükséges



Min-max teszt

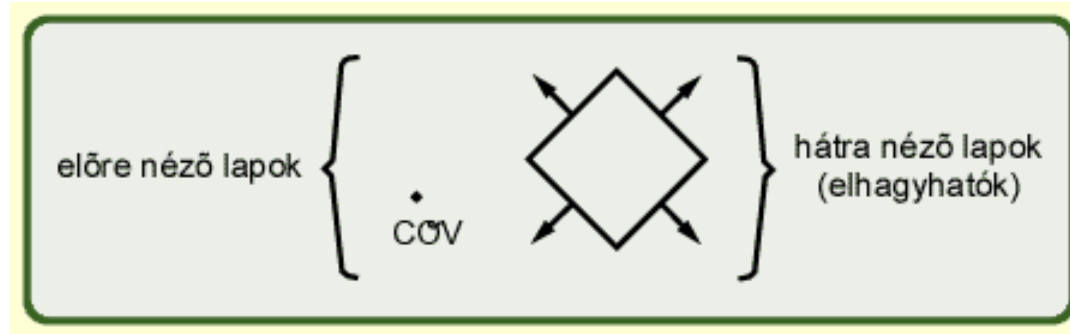
- 1-dimenziós kiterjedés (határoló intervallum)
- A kiterjedés minimális és maximális értékeinek összehasonlításával döntjük el a takarást
- A kiterjedés meghatározása: a tárgy (csúcs)pontjaihoz tartozó koordináták min. és max. értékeiből





Hátra néző lapok kiválogatása

- Tegyük fel, hogy a tárgy poligon határú síklapokkal határolt és adottak a síklapoknak a tárgyból kifelé mutató normálisai. Ekkor azok a lapok nem láthatók, amelyek normálisai a "megfigyelőtől ellentétes" irányba mutatnak



Hátra néző lapok kiválogatása

n : normális (n_x, n_y, n_z)

v : COV-ből a poligon tetszőleges pontjába mutat

Ha $n \cdot v < 0$ előre néz

> 0 hátra néz

$= 0$ csak az éle látszik

Speciálisan: Az (x,y) síkra történő ortografikus vetítés esetén

Ha $n_z < 0$ hátra néz

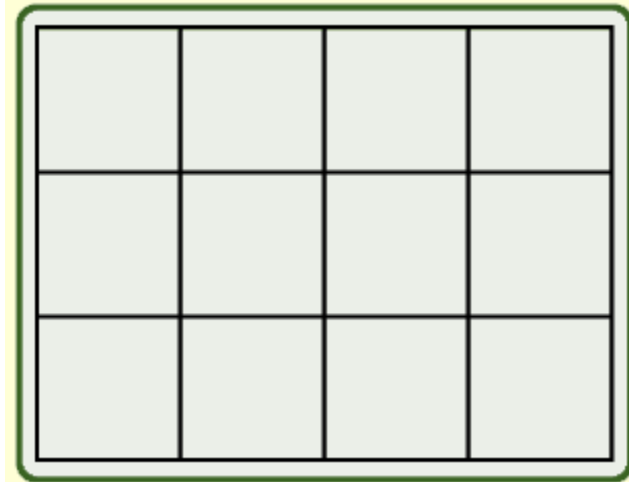
> 0 előre néz

$= 0$ csak az éle látszik



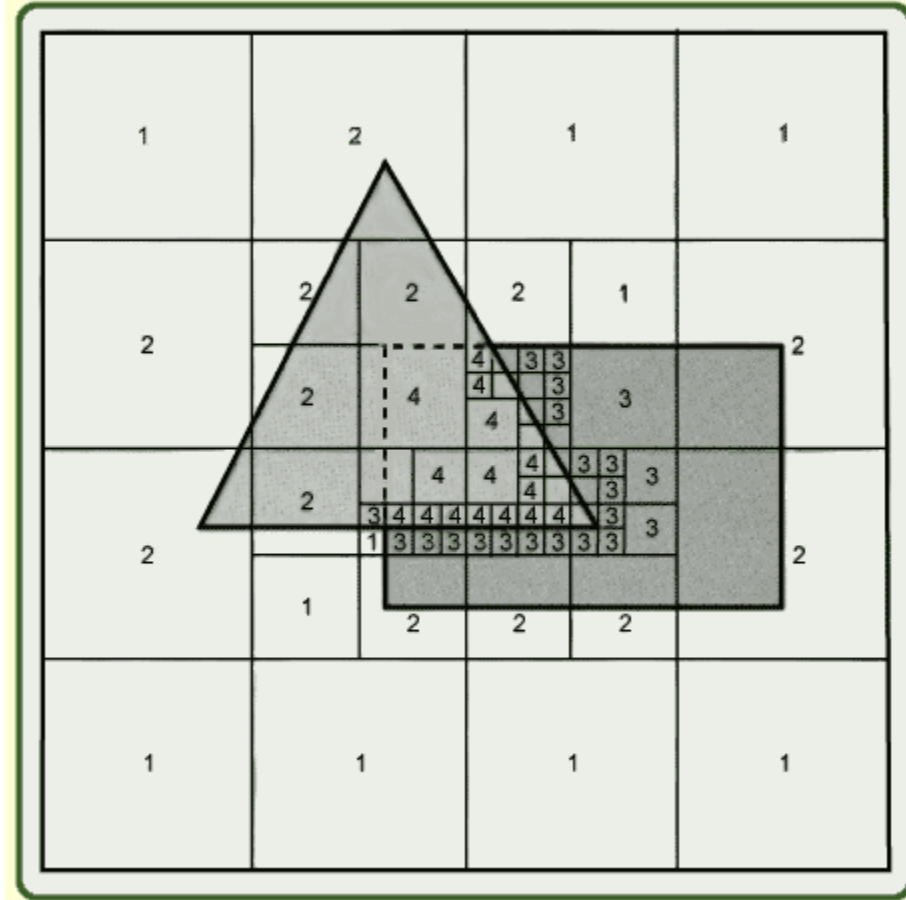
Térbeli partícionálás

- Észrevétel: nem minden tárgynak van minden vetítési sugárral metszéspontja (pl. távol vannak, más irány) → osszuk fel (partícionáljuk) a képernyőt
- Meghatározzuk, hogy mely tárgyak vetülete van benne a megfelelő részben (partícióban) és csak azokkal keresünk metszéspontokat



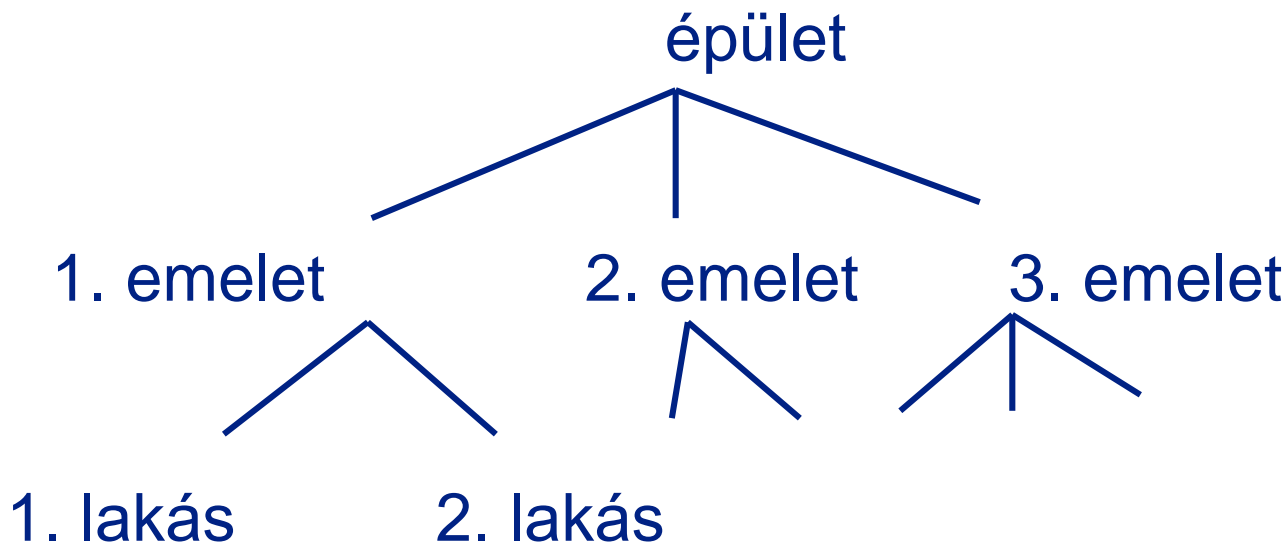
Térbeli partícionálás

- Ez jó módszer, ha a tárgyak vetületei egyenletesen oszlanak el a teljes képernyőn, különben különböző méretű partíciókat érdemes készíteni: kisebb partíciót ott, ahol több tárgy vetülete van



Hierarchikus struktúrák alkalmazása

pl.



- Ha a vetítési sugár nem metszi az épületet, akkor az emeleteit és az emeletek lakásait sem (tehát nem kell vizsgálni azokat)

Z-buffer vagy mélység-puffer algoritmus

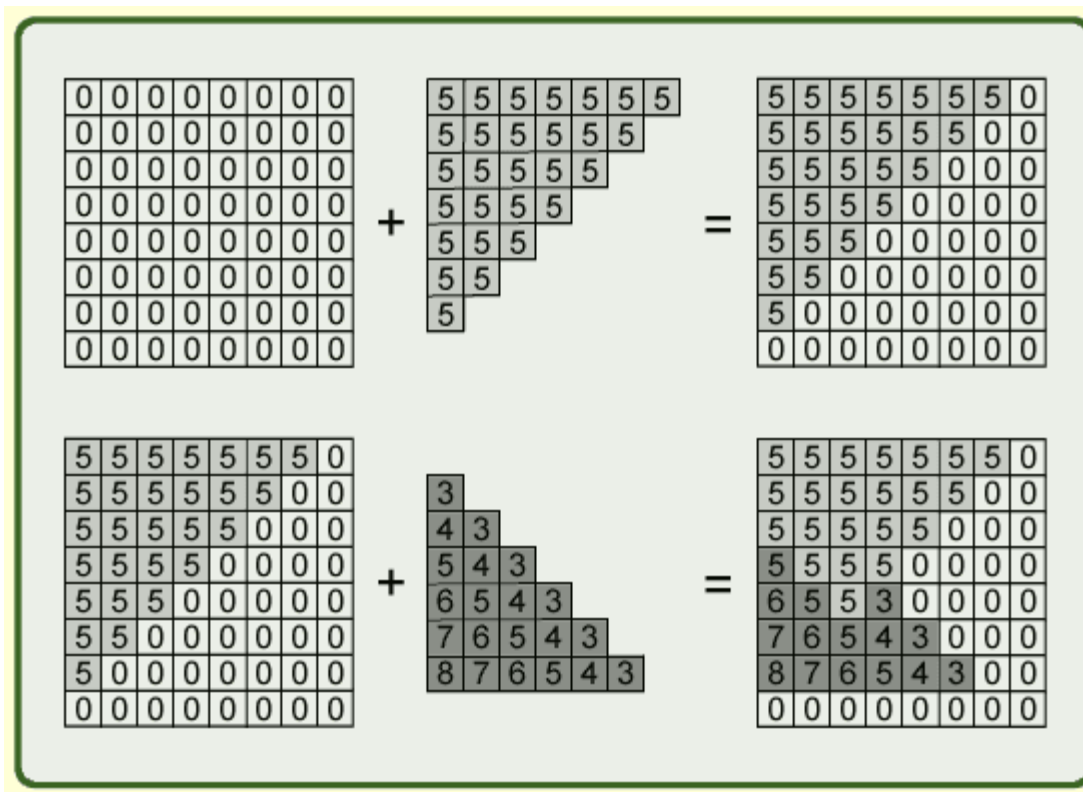
- Kép alapú
- F : kép-puffer (képpontok tárolására)
 - kezdeti értéke: háttérszín
- Z : mélység-puffer (minden pontban a megfelelő z érték)
 - kezdeti értéke: z-max (hátsó vágási sík)
- Pásztázás közben F-be és Z-be bekerül az új pont, ha nincs messzebb, mint az eddigi z érték





Mélység-puffer

- A hátsó vágási sík a $z = 0$



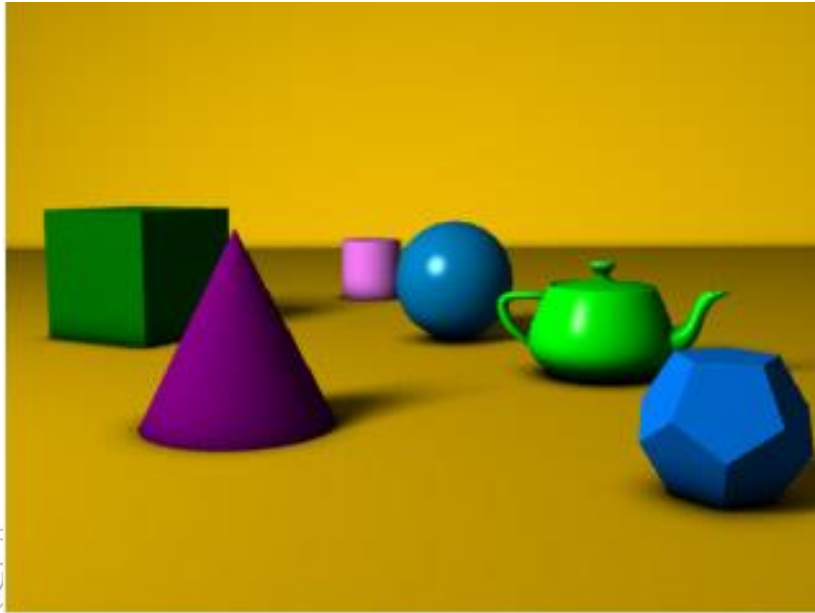
Tulajdonságok

- Nincs tárgyak rendezése, összehasonlítása, metszéspontok számítása
- Poligononként végezhető el, "poligonok összeadása"
- Nem csak poligonokra jó
- Nagy helyigény, de lehet sávonként haladni
- Könnyű implementálni
- Könnyű egy újabb tárgy képét hozzávenni és utána elvenni (maszkolás)
- Az értékek felhasználhatók terület és térfogat számításra



Z-buffer algoritmus

Szín puffer



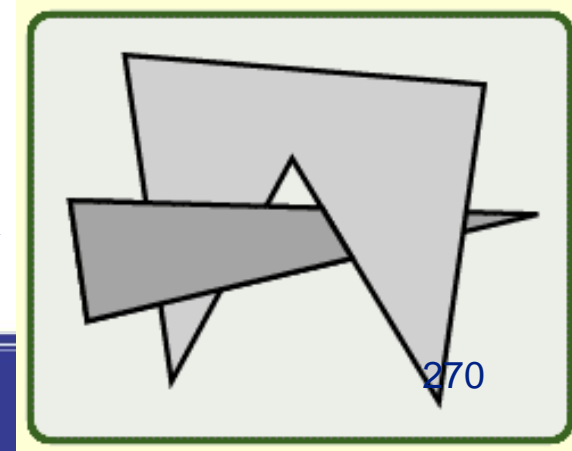
Mélység puffer





Lista-prioritás algoritmusok

- Meghatározzák a tárgyaknak azt a sorrendjét, ami a kép kirajzolásához kell
- Pl.: Ha a z értékekben nincs átfedés, akkor a tárgyakat növekvő z értékük szerint kell rendezni és utána távolról közelre haladva megjeleníteni
- Néha még akkor is lehet ilyen sorrendet megadni, ha a z értékekben van átfedés, de nem mindig
- Ilyenkor szétvágjuk a tárgyakat és a darabokat rendezzük sorba



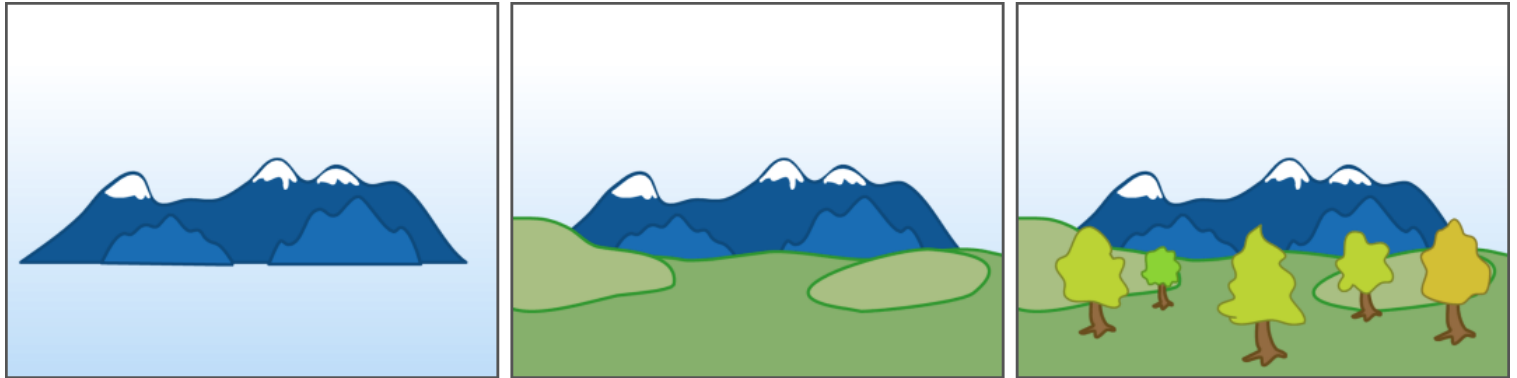
Mélység szerint rendező algoritmus

1. Rendezzük a poligonokat legtávolabbi z koordinátájuk szerint
2. Vágjuk szét az átfedő poligonokat (ha szükséges)
3. Pásztázzunk minden poligont hátulról előre haladva

• Ha a poligonok párhuzamos síkokban fekszenek, akkor a 2. lépés kimaradhat



Festő algoritmus



Mélység szerint rendező algoritmus

- Tegyük fel hogy a P poligon legtávolabbi z koordinátája szerint a lista végén van.
- Pásztázás előtt össze kell hasonlítani a lista azon Q elemeivel, amelyeknek z irányú kiterjedése átfedi P z irányú kiterjedését, és meg kell vizsgálni, hogy P átfedi-e Q -t?



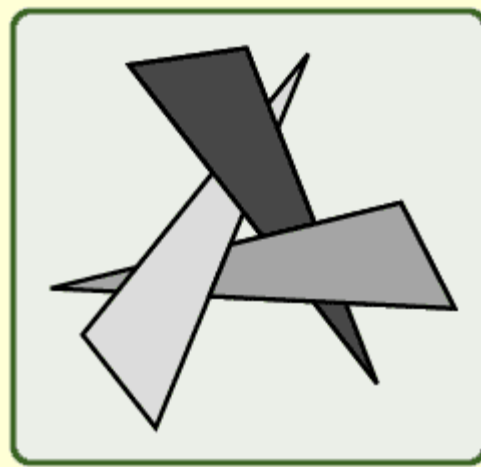
P átfedi-e Q-t?

1. ha P és Q x kiterjedése nem átfedő, akkor nem;
2. ha P és Q y kiterjedése nem átfedő, akkor nem;
3. ha COV-ból nézve P teljes terjedelmében Q síkjának a túlsó oldalán van, akkor nem;
4. ha COV-ból nézve Q teljes terjedelmében P síkjának az innenső oldalán van, akkor nem;
5. ha P és Q xy síkra való vetülete nem átfedő, akkor nem;
különben (hátha Q-t kell előbb rajzolni):
 - 3' ha COV-ból nézve Q teljes terjedelmében a P síkjának a túlsó oldalán van, akkor $P \leftrightarrow Q$ csere;
 - 4' ha COV-ból nézve P teljes terjedelmében a Q síkjának az innenső oldalán van, akkor $P \leftrightarrow Q$ csere;különben P-t vagy Q-t fel kell darabolni a másik síkjával majd feldarabolt helyett a darabokat kell beilleszteni a lista



Fedési hurkok

- Végtelen ciklust eredményezne, ezért megjelöljük azokat a poligonokat, amelyeket egyszer már a lista végére tettünk és ha újra előjönnek, akkor darabolunk



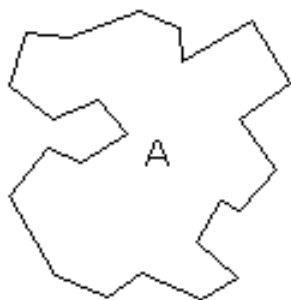
Bináris tér-partícionáló (BSP) fa algoritmus

- Ötlet: Ha van olyan sík, amely a tárgyakat (teljes egészükben) két féltérbe osztja, akkor a COV-t tartalmazó féltér tárgyait nem takarhatják el a másik féltér tárgyai
- BSP fa: Csomópontok - poligonok (darabjai)
 - bal oldalra: azok a poligonok, amelyek elöl vannak (később kell rajzolni)
 - jobb oldalra: azok a poligonok, amelyek hátul vannak (korábban kell rajzolni)
- A csomóponthoz tartozó poligon síkjával darabolhatjuk a többi poligont és azok darabjaival folytathatjuk a fát

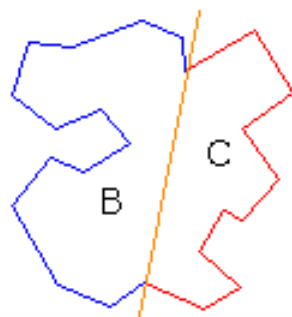


Bináris tér-partícionálás

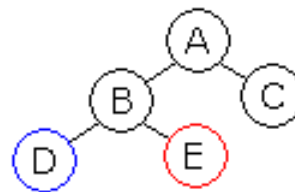
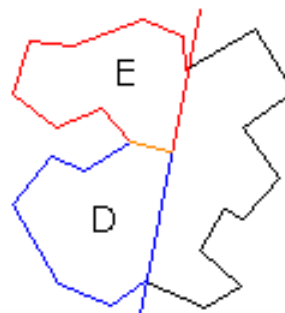
1.



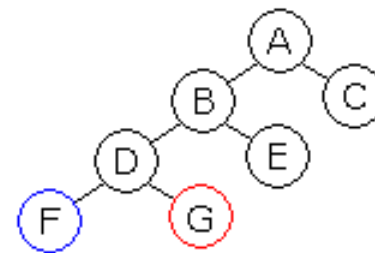
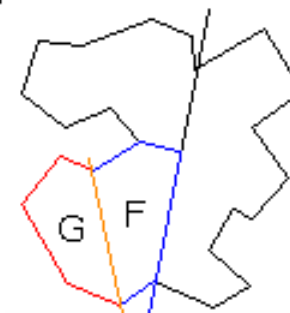
2.



3.

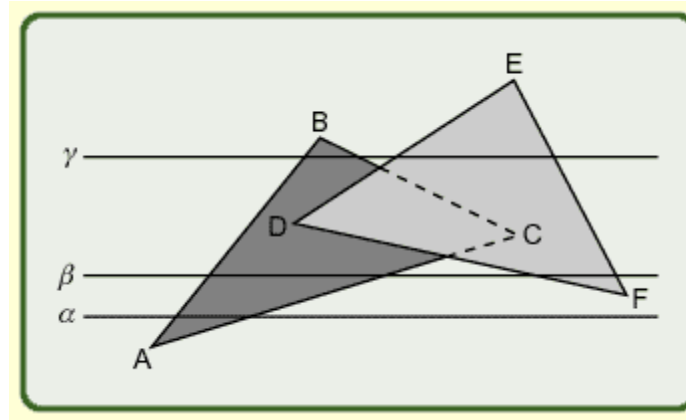


4.



Pásztázó vonal algoritmus

- Hasonló a poligonok kitöltését végző algoritmushoz
- Vízszintesen pásztázunk



- Most több poligon lehet

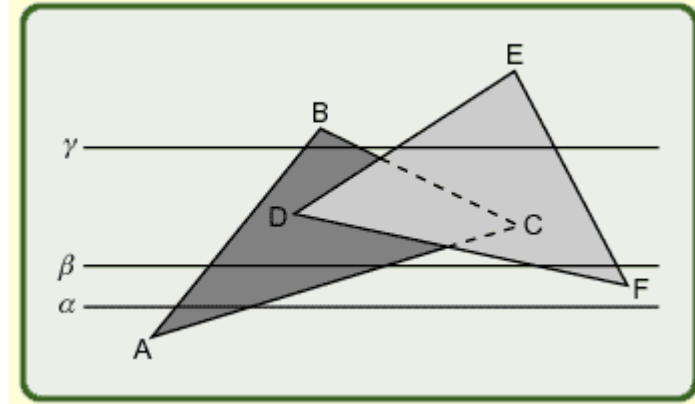
ÉT (élek táblázata)

- A poligonok nem vízszintes éleit tartalmazza az élek kisebbik y-koordinátája szerint növekvő, ezen belül az élek meredeksége szerint csökkenő sorrendbe rendezve
- Egy elem részei:
 - a kisebb y-koordinátájú csúcs pont x-koordinátája
 - a másik csúcs pont y-koordinátája
 - x növekménye: $\Delta x = 1/m$
 - poligon azonosító



PT (poligonok táblázata)

- Egy elem részei:
 - a sík egyenletének együtthatói:
 $Ax + By + Cz + D = 0$
 - színezési információ
 - ki-be jelző (kezdő érték: ki)
 - azonosító



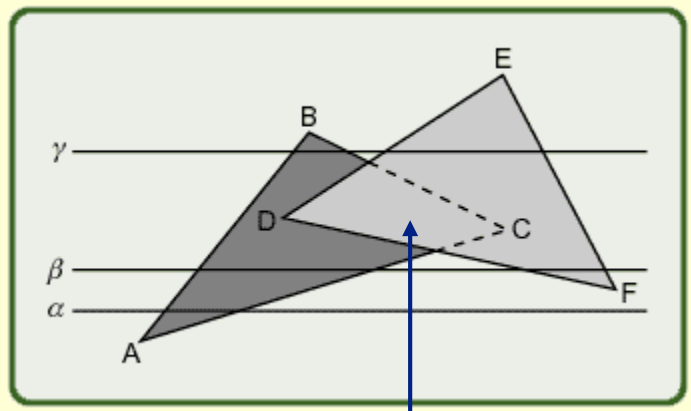
• ÉT: AB, AC, FD, FE, CB, DE

• PT: ABC, DEF

AÉT (aktív élek táblázata)

α : $\underbrace{AB, AC}_{ABC}$
 be ki
 β : $\underbrace{AB, AC}_{ABC}, \underbrace{FD, FE}_{DEF}$
 be ki be ki
 γ : $\underbrace{AB, DE, CB, FE}_{ABC}$
 be $\underbrace{\quad\quad\quad}_{ki}$
 $\underbrace{\quad\quad\quad}_{DEF}$
 be ki

- Balról jobbra, alulról felfelé haladva

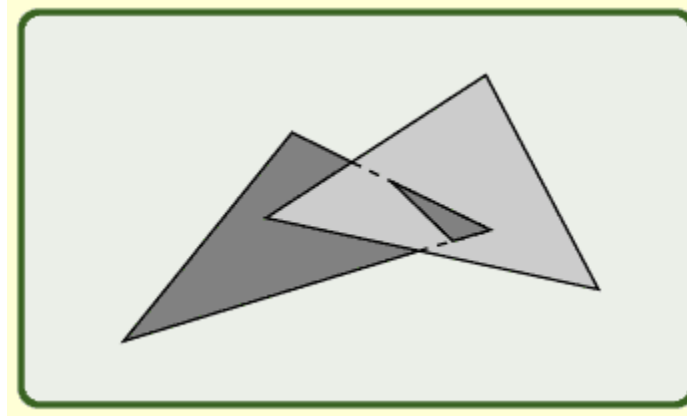


- A síkok egyenletéből dönthető el, hogy melyik van közelebb



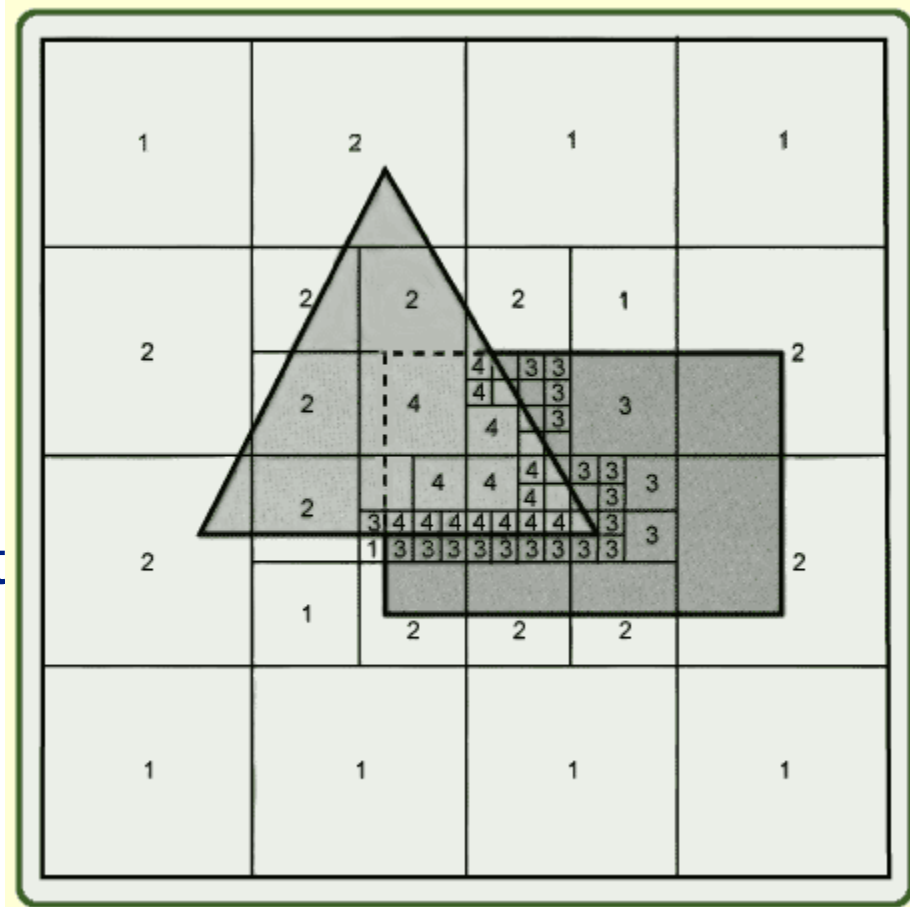
Gyorsítás

- Ha a poligonokat felvágjuk a metszeteik mentén, akkor nem kell minden pontban megvizsgálni a poligonok sorrendjét, elegendő csak akkor, ha egy "takaró" poligon véget ér

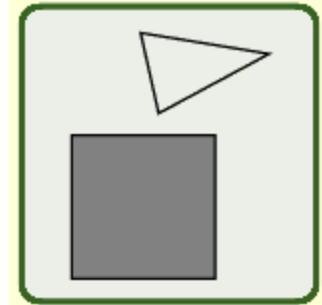
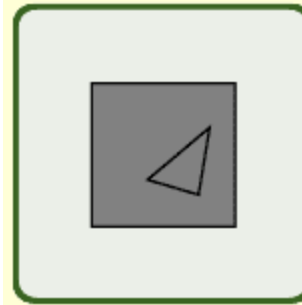
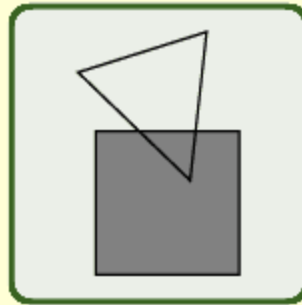
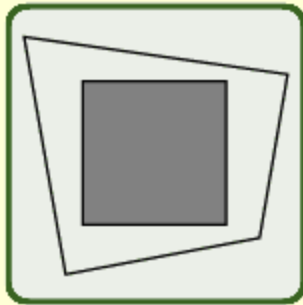


Terület-osztó algoritmus

- Ha egy területen könnyen eldönthető, hogy melyik poligon jeleníthető meg, akkor azt rajzoljuk ki, különben osszuk fel a területet, és alkalmazzuk az eljárást a rész területekre



Poligon és téglalap viszonya



Tartalmazó
poligon

Metsző
poligon

Tartalmazott
poligon

Idegen
poligon



Mikor dönthető el könnyen, hogy mi rajzolható?

- Minden poligon idegen a területtől (háttér)
- Egyetlen metsző vagy tartalmazott poligon (háttér + pásztázással poligon)
- Egyetlen tartalmazó poligon (rajz a poligon színével)
- Van olyan tartalmazó poligon, amelyik a többi előtt van



Látható élek meghatározása

- Tárgy-alapú módszerek
- Output: látható élek listája



Robert-féle algoritmus

- Síklapokkal határolt konvex testek éleire
 1. A hátrafelé néző lapok meghatározása
 2. A hátrafelé néző lapok közös élei elhagyhatók (azok nem láthatók)
 3. Minden megmaradt élt minden testtel összehasonlítunk (kiterjedés vizsgálattal sok test triviálisan kizárható)

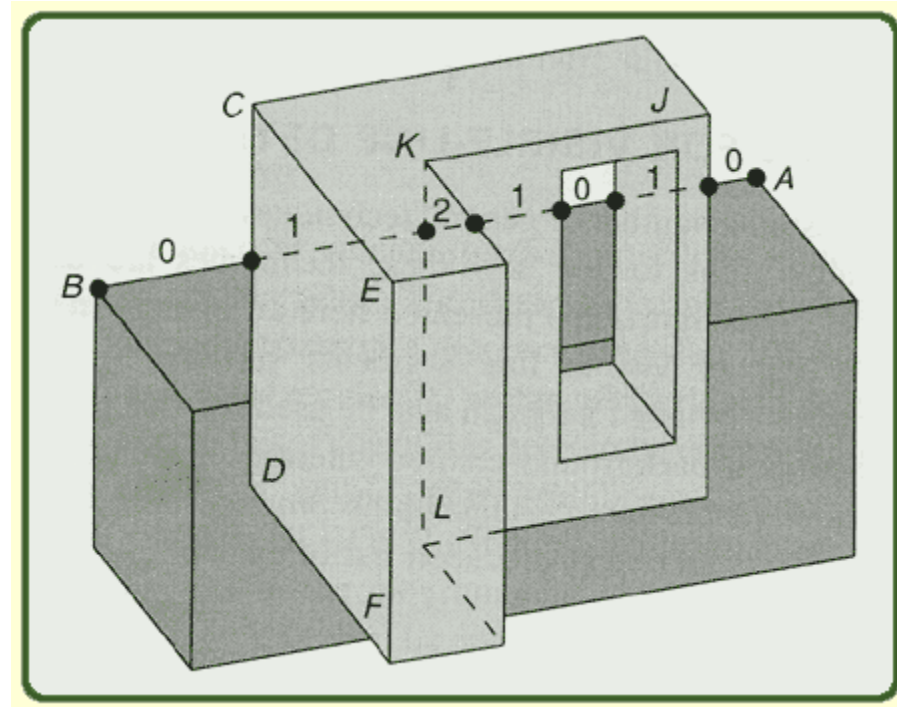
Esetek:

- Az élet egy test teljesen eltakarja
- Az élnek egy szakasza látszik a test mögül
- Az élnek két szakasza látszik a (konvex) test mögül



Appel-féle algoritmus

- Az élek pontjaihoz hozzárendel egy egész számot (kvantitatív láthatatlanság): a pontot takaró előre néző lapok száma
- A pont látható \leftrightarrow kvantitatív láthatatlanság = 0



Appel-féle algoritmus

- A kvantitatív láthatatlanság számítása:
 - ++, ha az él előre néző poligon mögé megy
 - , ha az él előre néző poligon mögül jön ki
- A kvantitatív láthatatlanság csak akkor változik, ha az él egy un. kontúr vonal mögött halad
- Kontúr vonal: előre és hátra néző lap közötti él



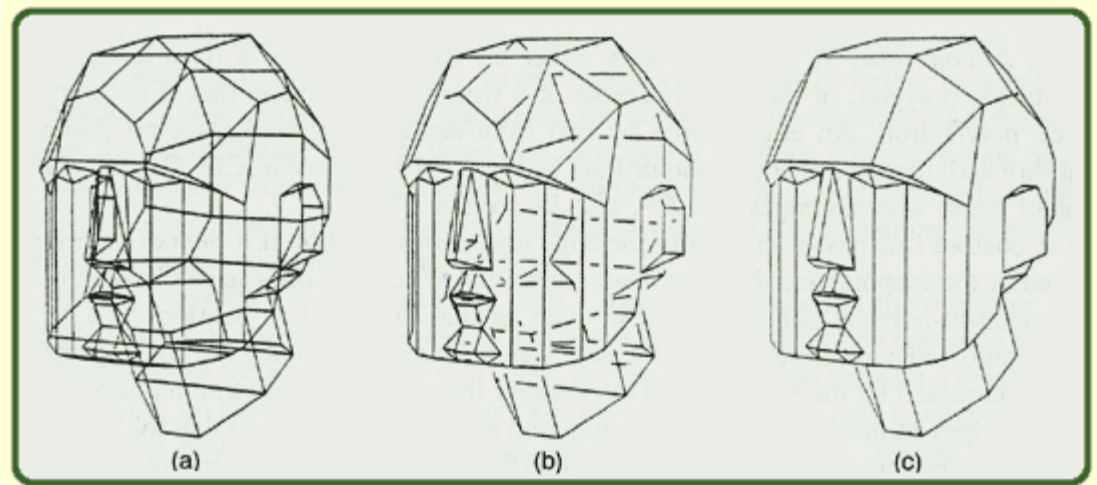
Appel-féle algoritmus

- Az algoritmus kétféle megvalósítása:
 1. Kiválasztunk egy csúcspontot, meghatározzuk a kvantitatív láthatatlanságát (direkt módszer)
 2. Haladjunk az éleken és közben módosítsuk a kvantitatív láthatatlansági értéket, 0 érték esetén rajzolunk



Megszakított vonalak

- A látható vonal algoritmusok arra is használhatók, hogy a nem látható vonalak szaggatottak, pontozottak, halványabbak vagy megszakítottak legyenek



- (b): mintha minden vonalnak lenne egy takaró sávja, ami eltakarja a mögötte lévő részeket

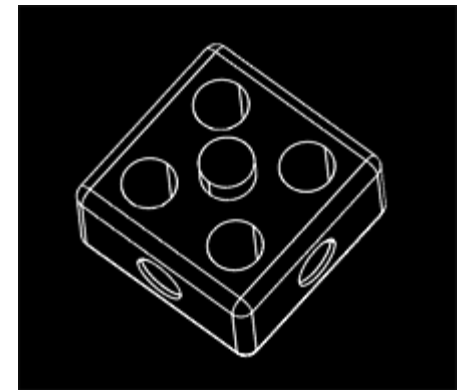
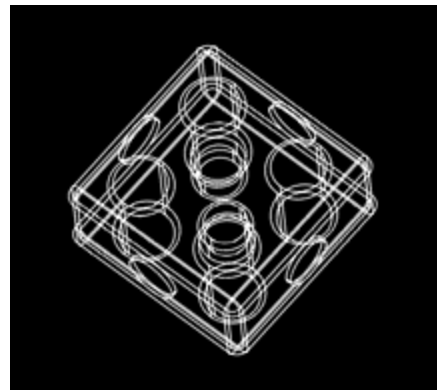
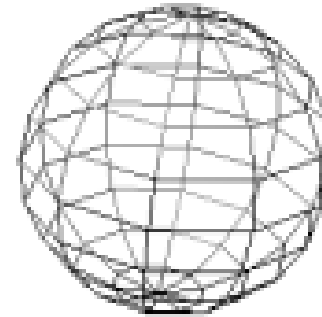
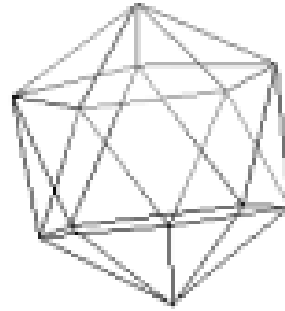
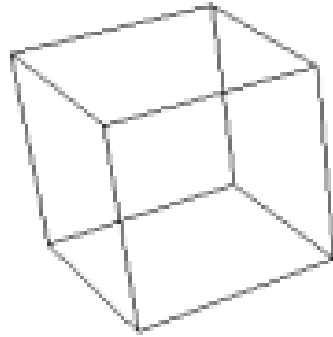




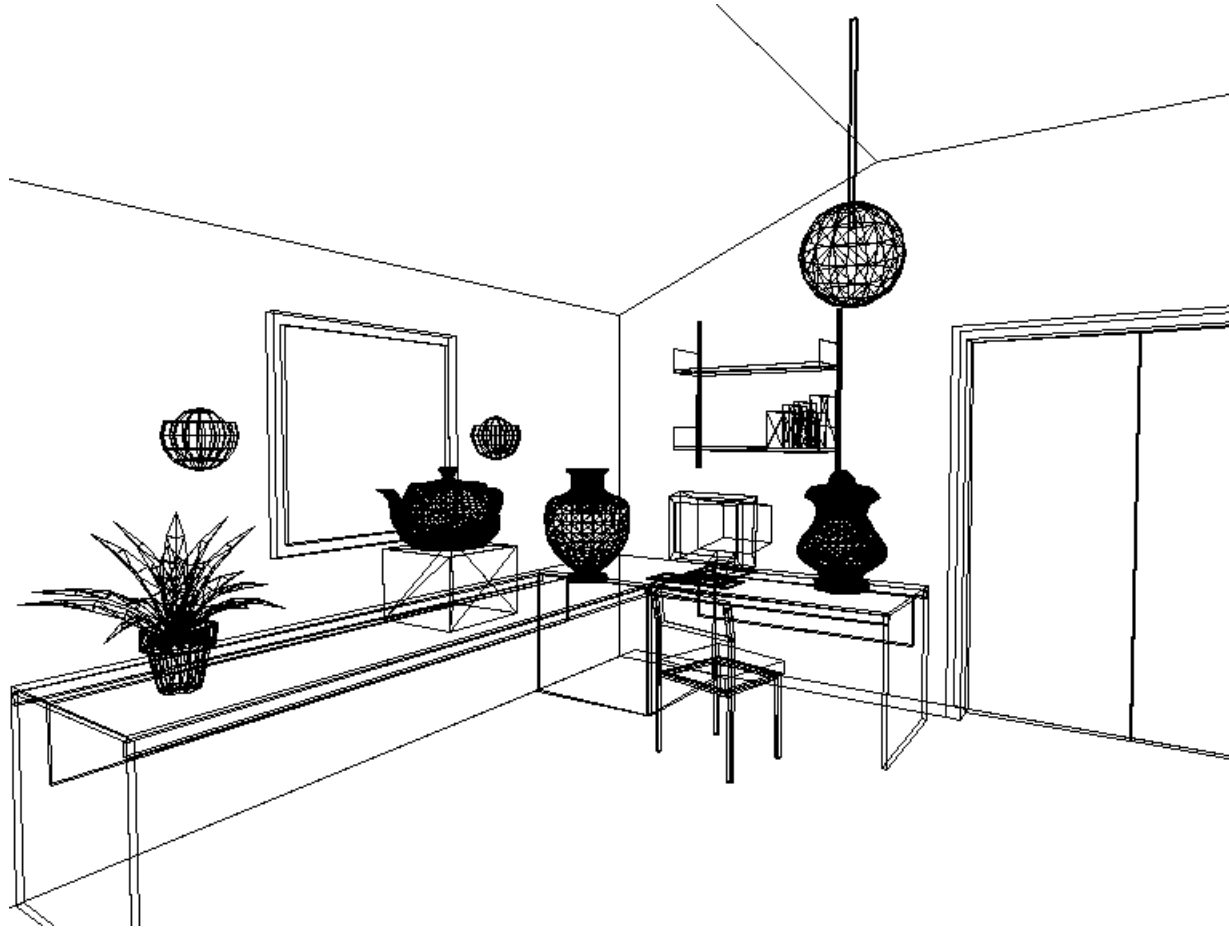
Megszakított vonalak

- A megszakított vonalak rajzolásához csak a metszéspontok környezetében kell módosítani az algoritmust
- Algoritmus:
 - Minden vonalhoz megkeressük az előtte levőket
 - Csak a látható szakaszokat őrizzük meg
 - Ha minden metszésponttal végeztük, akkor rajzolunk

Példák



Példák





Példák

